



**TABAKALANMA AŞINMASININ
SONLU ELEMANLAR
YÖNTEMİ İLE MODELLENMESİ**

YÜKSEK LİSANS TEZİ

Kubilay ASLANTAŞ

Danışman: Yard. Doç. Dr. Süleyman TAŞGETİREN

AĞUSTOS 2000

*TC YÜKSEK LİSANS TEZİ
DOKTORALISATUR MÜZESİ*

**TABAKALANMA AŞINMASININ SONLU ELEMANLAR
YÖNTEMİ İLE MODELLENMESİ**

Kubilay ASLANTAŞ

Yüksek Lisans Tezi

Makine Eğitimi Anabilim Dalı

Danışman: Yard. Doç. Dr. Süleyman TAŞGETİREN

98/112

Afyon

Afyon Kocatepe Üniversitesi Fen Bilimleri Enstitüsü

Ağustos 2000

YÜKSEK LİSANS TEZ ÖZETİ

TABAKALANMA AŞINMASININ SONLU ELEMANLAR YÖNTEMİ İLE MODELLENMESİ

Kubilay ASLANTAŞ

Makine Eğitimi Anabilim Dalı

Afyon Kocatepe Üniversitesi Fen Bilimleri Enstitüsü

Ağustos 2000

Danışman: Yard. Doç. Dr. Süleyman TAŞGETİREN

Makine elemanları genellikle birbirleriyle temas halinde çalışırlar. Temas eden yüzeyler birbirleri üzerinde hareket ederken, yüzeye ve yüzey altında normal ve teğetsel yüklerden dolayı bir takım gerilmeler oluşur. Yüzeye etkiyen normal ve teğetsel yüklerin devamlı olması, yüzey altında bir takım mikro boşlukların oluşmasına neden olur. Yüzeydeki kayma işlemi, oluşan bu boşluklar üzerinde sürekli bası ve çeki gerilmeleri meydana getireceğinden, bu boşluklar zamanla büyüyerek çatlak şeklini alır. Çatlak, kritik çatlak boyuna ulaştığı zaman yüzeye doğru bir yayılma eğilimi gösterir. Bunun sonucu olarak ta yüzeyden tabaka halinde kopmalar meydana gelir. Bu işleme tabakalanma aşınması denir.

Bu çalışmada, yüzey altında bulunan farklı uzunluktaki çatlakların yüzeye etkiyen normal ve teğetsel yükler sonucunda nasıl etkilendiği araştırılmıştır. Çeşitli sürtünme katsayıları ele alınarak K_I , K_{II} ve J integral değerindeki değişimler hesaplanmıştır. Bu amaçla sonlu elemanlar metodu kullanılarak bir model oluşturulmuştur. Programlama dili olarak FORTRAN ve BASIC'in kullanıldığı programlar geliştirilmiştir.

ABSTRACT

A FINITE ELEMENT MODEL FOR DELAMINATION WEAR

Kubilay ASLANTAŞ

Education of Machine Working Branch

Afyon Kocatepe University Science Institute

July 2000

Counsellor:Assistant Professor Süleyman TAŞGETİREN

Machine components are generally work in contact with each other. When contacting surfaces have a relative motion, applied normal and tangential forces cause some stresses on surface and subsurface. If these stresses are applied continuously several voids nucleates at some depth from the surface. The sliding effect on the surface applies compressive and shearing stresses to these voids to generate cracks. When the cracks reach a critical length, it penetrates to surface and breaks away from the surface. This is called delamination wear.

In this study, several cracks lengths and friction coefficient are considered. Behaviour of the crack is investigated under these variables. The stress intesity factors K_I and K_{II} and the J integral calculations are carried out for this purpose. The analysis is done by using the finite element method. Several computer programs are developed by using FORTRAN and BASIC languages.

İmza

Tez Danışmanı: Yrd. Doç. Dr. Süleymen Targetas 

Jüri Üyeleri:

Doç. Dr. Muzaffer Topcu 

Yrd. Doç. Dr. Ömer SÖYKAŞAP 

Kubilay ASLANTAŞ'ın Tabakalanma Aşınmasının Sonlu Elemanlar Yöntemi İle Modellenmesi başlıklı tezi ~~06.10.2000~~ tarihinde, yukarıdaki jüri tarafından Lisansüstü Eğitim Öğretim ve Sınav Yönetmeliğinin ilgili maddeleri uyarınca, Makine Eğitimi Anabilim dalında, Yüksek Lisans tezi olarak değerlendirilerek kabul edilmiştir.

Afyon Kocatepe Üniversitesi Fen Bilimleri Enstitüsü Yönetim Kurulunun ~~11.10.2000~~ tarih ve ~~11.06.~~ sayılı kararı ile onaylanmıştır.



Prof. Dr. Hidayet YAVUZ

Enstitü Müdürü

ÖNSÖZ

Bana bu çalışmamda her türlü desteğini esirgemeyen, hem bilimsel hem de kişisel yönlerini örnek aldığım ve onunla çalışmanın bir zevk olduğuna inandığım değerli hocam Yard. Doç. Dr. Süleyman TAŞGETİREN'e sonsuz teşekkürlerimi bir borç biliyorum.

Ayrıca bu çalışmam sırasında bana verdiği moral desteğine ve göstermiş olduğu sabır ve metanet için sevgili eşime minnettarım.



Kubilay Aslantaş

ÖZGEÇMİŞ

Kubilay ASLANTAŞ

Makine Eğitimi Anabilim Dalı
Yüksek Lisans

Eğitim

Lisans: 1997, Gazi Üniversitesi Teknik Eğitim Fakültesi Makine Eğitimi A.B.D. Talaşlı
Üretim Öğretmenliği

Lise: 1992, Gürün Endüstri Meslek Lisesi, Tesviye Bölümü

İş/Istihdam

1997- Araştırma Görevlisi. Afyon Kocatepe Üniversitesi Teknik Eğitim Fakültesi

Kişisel Bilgiler

Doğum Yeri ve Yılı: Sivas / 06 Kasım 1974 **Cinsiyet:** Erkek
Yabancı Dil: İngilizce

Yayınlar

- 1- TAŞGETİREN, S., ASLANTAŞ, K., "Tornada Kesme İçin Yeni Bir Sert Metal Uç Tutucusu Tasarımı", 3.GAP Mühendislik Kongresi, 2000, Urfa
- 2- ASLANTAŞ, K., "Bilgisayar Kontrollü Takım Tezgahlarının Programlanmasında CAD/CAM Yaklaşımı", Mamtek'99 , Makine Mal. ve İmalat Semp., 1999, Manisa
- 3- ASLANTAŞ, K., "Bir CAD/CAM Yazılım Programıyla CNC Parça Programının Üretilmesi", A.K.Ü Tek. Eğt. Fak., Çarşamba Seminerleri, 2000, Afyon
- 4- TAŞGETİREN, S., ASLANTAŞ, K., KURT, A., "Torna Kesme Kalemindeki Gerilmeler: Sürtünme Katsayısının Etkisi", Teknoloji, 1(4) Zonguldak, 2000

İÇİNDEKİLER

	<u>Sayfa</u>
ÖZET	ii
ABSTRACT	iii
TEZ JÜRİSİ VE ENSTİTÜ MÜDÜRLÜĞÜ ONAYI.....	iv
ÖNSÖZ	v
ÖZGEÇMİŞ	vi
TABLO ve ŞEKİL LİSTESİ.....	ix

BİRİNCİ BÖLÜM

I. TABAKALANMA AŞINMASI KAVRAMI.....	1
A) GİRİŞ.....	1
1. Önceki Çalışmalar.....	7
B) PROBLEMİN TANIMI.....	10

İKİNCİ BÖLÜM

I. GENEL KAVRAMLARIYLA AŞINMA.....	12
A) GİRİŞ.....	12
1. Yüzeyler Arasındaki Temas.....	12
a) Elastik Deformasyon.....	13
b) Plastik Deformasyon.....	15
B) KAYMA AŞINMASI.....	18
1. Kayma Aşınmasında Yükün ve Kayma Hızının Etkisi.....	18
2. Kayma Aşınmasında Meydana Gelen Gerilmeler.....	19

ÜÇÜNCÜ BÖLÜM

I. SONLU ELEMANLAR ANALİZİ.....	24
A) SONLU ELEMANLAR ANALİZİNE GİRİŞ.....	24
1. Sonlu Elemanlarının Gelişimi ve Kullanım Alanları.....	24
B) İKİ BOYUTLU PROBLEMLER.....	25

1. Şekil Değiştirme-Yer Değiştirme İlişkisi.....	27
2. Gerilme-Şekil Değiştirme İlişkisi.....	28
3. İzoparametrik Elemanlar.....	30
4. Çatlak Civarında Kullanılan Elemanlar.....	36
5. Eleman Rijitlik Matrisi.....	37
II. TEMAS GERİLMELERİ ANALİZİ.....	41
A) HERTZ TEORİSİ ve TEMAS GERİLMELERİ.....	41
III. KIRILMA MEKANIĞI ANALİZİ.....	45
A) KIRILMA MEKANIĞINE GİRİŞ.....	45
1. Çatlak Ucu Civarında Gerilme Dağılımı.....	46
2. J İntegralinin Hesabı.....	48
3. Gerilme Yığılma Faktörü (K_I , K_{II}) Hesabı.....	51

DÖRDÜNCÜ BÖLÜM

I. SONUÇLAR ve DEĞERLENDİRME.....	56
A) GİRİŞ.....	56
1. Sonlu Eleman Modelinin Oluşturulması.....	56
B) GERİLME ANALİZİ SONUÇLARI.....	59
1. Von-mises Akma Kriterine Göre Gerilme Analizi.....	64
2. Tresca (Max kayma gerilmesi) kriterine göre gerilme analizi.....	66
C) J İNTEGRALİ SONUÇLARI.....	68
1. Yükün Konumuna ve Sürtünme Katsayısına Göre J İntegrali Sonuçları.....	68
D) K_I ve K_{II} HESABI SONUÇLARI.....	74
SONUÇ ve DEĞERLENDİRME.....	81
KAYNAKLAR.....	83

ŞEKİL ve TABLO LİSTESİ

	<u>Sayfa</u>
Şekil 1.1 Kayan iki yüzey arasındaki temas noktaları.....	1
Şekil 1.2 Temas noktalarının indirgenmesi.....	2
Şekil 1.3 Kayma deformasyonu ile boşluk oluşumu.....	4
Şekil 1.4 Çizgisel yükleme neticesinde yüzey altında meydana gelen gerilme bölgesi.....	4
Şekil 1.5 Yüzey altı çatlak oluşum mekanizması.....	6
Şekil 2.1 Birbiri ile temas halinde olan iki yüzeyin temas noktalarının daha yakından görünüşü.....	13
Şekil 2.2 "r" yarıçaplı bir kürenin düzlem bir yüzeye uygulamış olduğu "W" yükü neticesinde meydana gelen elastik deformasyon.....	14
Şekil 2.3 Temas bölgesindeki normal gerilmelerin dağılımı.....	14
Şekil 2.4 Uygulanan yük ile temas alanı arasındaki ilişki.....	16
Şekil 2.5 Yükselti noktalarının uç kısımlarının plastik deformasyon sonucu kopması.....	17
Şekil 2.6 Sürütmeli kayma yüzeyi modeli.....	18
Şekil 2.7 Uygulanan normal yük ve kayma hızına bağlı olarak temas alanında meydana gelen ısı ve gerilmelerin değişimi.....	19
Şekil 2.8 Sürtünme katsayısı ve gerilme derinliği ilişkisi.....	20
Şekil 2.9 Sürtünme katsayısı ve Von-Mises gerilme ilişkisi.....	21
Şekil 2.10 Yükleme nedeniyle meydana gelen σ_1 , σ_2 asal gerilmeleri ve τ_{max} gerilmeleri.....	21
Şekil 2.11 Yükün konumu ile çatlağın zorlanma durumundaki değişimi.....	22
Şekil 3.1 İki boyutlu elastik kütle.....	26
Şekil 3.2 İki boyutlu düzgün bir elemanda meydana gelen şekil değiştirmeler.....	27
Şekil 3.3 Sekiz düğümlü izoparametrik elemanın doğal ve kartezyen koordinat sistemindeki durum.....	30
Şekil 3.4 Sekiz düğümlü dörtgen eleman için düğüm deplasmanları.....	31
Şekil 3.5 Doğal koordinatlarda sekiz düğümlü izoparametrik eleman.....	32

Şekil 3.6 Çatlık ucu civarında kullanılan çeyrek nokta düğümlü eleman.....	37
Şekil 3.7 Yüzey üzerindeki Hertz basınç dağılımı.....	42
Şekil 3.8 Çatlık yüzey hareketinin üç temel şekli.....	45
Şekil 3.9 Irwin'in çatlık ucundaki gerilmeleri belirlemek için kullandığı model.....	47
Şekil 3.10 Irwin'in analizde kullandığı gerilme bileşenleri için koordinat sistemi.....	48
Şekil 3.11 J integral hesabı için kullanılan tipik eğri.....	49
Şekil 3.12 K_{II} gerilme yığılma faktörünün çatlık yayılımı üzerine etkisi.....	52
Şekil 3.13 Bir yüzey altı çatlağı için çatlık yönlenmesinin şematik ifadesi.....	53
Şekil 3.14 Çatlık ucundaki lokal koordinatlar.....	54
Şekil 4.1 Modelin oluşturulmasında kullanılan plaka ve kayan cismin boyutları.....	56
Şekil 4.2 Plakanın sonlu eleman modeli.....	57
Şekil 4.3 $L/a = 1$ için plakanın yüzeyi altında bulunan çatlık şekli.....	58
Şekil 4.4 Eleman üzerine etkiyen toplam kuvvetin dağılım şekli.....	58
Şekil 4.5 Plaka üzerine etkiyen a) normal yük dağılımı b) teğetsel yük dağılımı....	59
Şekil 4.6 σ_x gerilmelerinin sürtünme katsayısına bağlı olarak dağılımı	59
Şekil 4.7 σ_x gerilmelerinin sürtünme katsayısına bağlı olarak x ekseni boyunca değişimi.....	60
Şekil 4.8 σ_y gerilmelerinin sürtünme katsayısına bağlı olarak dağılımı.....	61
Şekil 4.9 σ_y gerilmelerinin sürtünme katsayısına bağlı olarak x ekseni boyunca değişimi.....	61
Şekil 4.10 σ_y gerilmelerinin y ekseni boyunca değişimi.....	62
Şekil 4.11 τ_{xy} kayma gerilmelerinin sürtünme katsayısına bağlı olarak dağılımı....	63
Şekil 4.12 Yüzeyde meydana gelen τ_{xy} gerilmelerinin temas noktasının merkezinde sürtünme katsayısına bağlı olarak değişि.....	64
Şekil 4.13 Farklı sürtünme değerleri için Von-mises eşgerilme eğrilerinin dağılımı.....	65
Şekil 4.14 Temas noktasının merkezinde Von-Mises gerilmelerinin sürtünme değerine bağlı olarak değişimi.....	65

Şekil 4.15 Farklı sürtünme katsayıları için için Tresca max kayma gerilme eğrilerinin dağılımı.....	66
Şekil 4.16 Temas noktasının merkezinde meydana gelen max kayma gerilmelerinin sürtünmeye katsayısına bağlı olarak değişimi.....	67
Şekil 4.17 τ_{\max} kayma gerilmelerinin derinliğe bağlı olarak değişimi.....	68
Şekil 4.18 Çatlak boyu $L/a = 0.5$ için J integralinin yükün konumuna bağlı olarak değişimi.....	69
Şekil 4.19 Çatlak boyu $L/a = 1$ için J integralinin yükün konumuna bağlı olarak değişimi.....	70
Şekil 4.20 Çatlak boyu $L/a = 1.5$ için J integralinin yükün konumuna bağlı olarak değişimi.....	71
Şekil 4.21 Çatlak boyu $L/a = 2$ için J integralinin yükün konumuna bağlı olarak değişimi.....	72
Şekil 4.22 J integral değerinin çatlak boyuna bağlı olarak değişimi.....	73
Şekil 4.23 Çatlak boyu $L/a = 0.5$ ve $\mu = 0$ için K_I değerinin yükün konumuna bağlı olarak değişimi.....	74
Şekil 4.24 Çatlak boyu $L/a = 1$ ve $\mu = 0$ için K_I değerinin yükün konumuna bağlı olarak değişimi.....	75
Şekil 4.25 Çatlak boyu $L/a = 1.5$ ve $\mu = 0$ için K_I değerinin yükün konumuna bağlı olarak değişimi.....	75
Şekil 4.26 Çatlak boyu $L/a = 2$ ve $\mu = 0$ için K_I değerinin yükün konumuna bağlı olarak değişimi.....	76
Şekil 4.27 $L/a = 0.5$ çatlak boyu için K_{II} gerilme yığılma faktörünün yükün konumuna ve sürtünmeye bağlı olarak değişimi.....	77
Şekil 4.28 $L/a = 1$ çatlak boyu için K_{II} gerilme yığılma faktörünün yükün konumuna ve sürtünmeye bağlı olarak değişimi.....	78
Şekil 4.29 $L/a = 1.5$ çatlak boyu için K_{II} gerilme yığılma faktörünün yükün konumuna ve sürtünmeye bağlı olarak değişimi.....	79
Şekil 4.30 $L/a = 2$ çatlak boyu için K_{II} gerilme yığılma faktörünün yükün konumuna ve sürtünmeye bağlı olarak değişimi.....	80
Tablo 3.1 Şekil foksiyonlarının “r” ve “s” ye göre türevi	

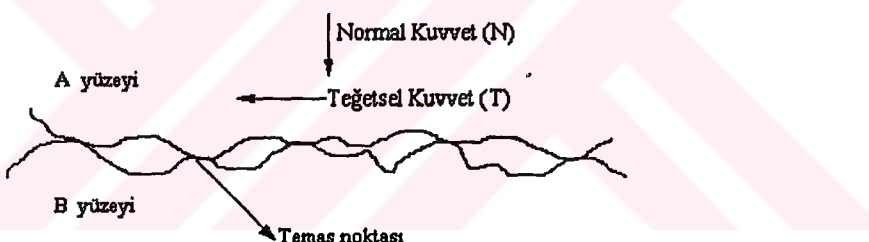
BİRİNCİ BÖLÜM

I.TABAKALANMA AŞINMASI KAVRAMI

A) GİRİŞ

Metallerin aşınması olayı oldukça karmaşık olmasının yanı sıra kayma şartlarına ve kayan malzemenin özelliklerine bağlıdır. Metal yüzeylerinin birbiri üzerindeki hareket mekanizmaları kendilerinden beklenen fonksiyonları yerine getirmesi açısından önemlidir. Bir yüzey diğer bir yüzey üzerinde hareket ederse aşınmanın meydana gelmesi kaçınılmazdır. Ayrıca bu aşınmanın yanı sıra her iki yüzeyin hemen altında bir takım gerilmelerin oluşması da söz konusudur¹.

Birbirleriyle temas halinde olan metal yüzeyleri biraz daha yakından incelediğinde çiplak gözle görüldüğü kadar düzgün bir yüzey olmadığı görülür (Şekil 1.1).

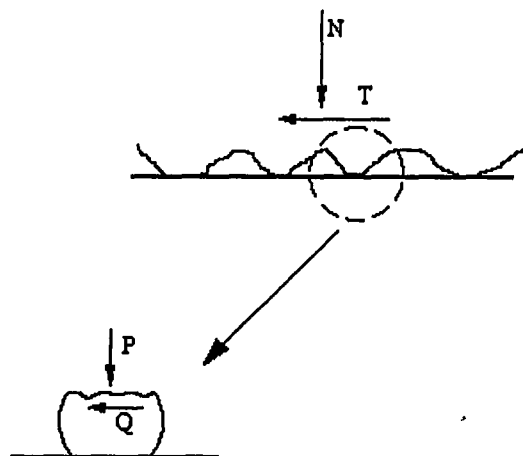


Şekil 1.1 Kayan iki yüzey arasındaki gerçek temas noktaları

Kayma esnasında temas noktaları birbiriyle etkileşimde bulunmakta veya kayma işlemi bu noktalar üzerinde gerçekleşmektedir. Bu tür kayma problemlerinde işlemi daha da basite indirmek için yüzeyin biri düzgün alınır ve diğer yüzeyden de sadece bir temas noktası dikkate alınır. Şekil 1.2 de pürüzlü olan yüzey üzerine gelen N ve T toplam

¹ I. HUTCHINGS., *Triboloji* (Great Britain, 1992), s.14

normal ve teğetsel kuvveti ifade ederken, P ve Q ise tek bir temas noktasına gelen normal ve teğetsel yükü ifade etmektedir².



Şekil 1.2 Temas noktalarının indirgenmesi

Tabakalanma aşınması birbiriyle temas halinde çalışan makine parçalarının çalışması esnasında gerek uygulanan yükün etkisiyle gerekse sürtünme kuvveti ve kayma hızının etkisiyle ortaya çıkar. Bu aşınma türünün ortaya çıkmasına neden olan temel unsurları aşağıdaki gibi sıralamak mümkündür³.

- Kaymanın devam etmesiyle yüzeyden itibaren sonlu aralıkta dislokasyon yığılması meydana gelecektir. Bu durum aynı zamanda boşlukların oluşumuna izin verecektir. Eğer malzeme sert ikinci faz tanecikleri içeriyorsa, bu boşluk oluşumunu artıracaktır. Boşluklar, metal içerisinde büyük oranda ikinci faz tanecikleri bulunduğu zaman sert tanecikler etrafındaki matrisin plastik akmasıyla oluşur.
- Oluşan bu boşluklar metalin akmasıyla birleşecektir. Sonuçta çatlakların yüzeye paralel hale gelmesine neden olur.

² N. JAHANMIR, N. P. SUH, "Mechanics of subsurface void nucleation in delamination wear," *Wear*, 44(1) 17-38(1977)

³ N. P. SUH, "The Delamination Theory of Wear," *Wear*, 25(2) 111-124(1973)

- Çatlak kritik uzunluğa ulaştığı zaman (malzemeye bağlı olarak) yüzeyle çatlak arasında malzeme bir kabuk şeklinde kopar.
- Sonuç olarak kopan parçacığın şekli çatlak uzunluğuna ve malzemenin iç şekil değiştirme özelliğine bağlı olarak değişir.

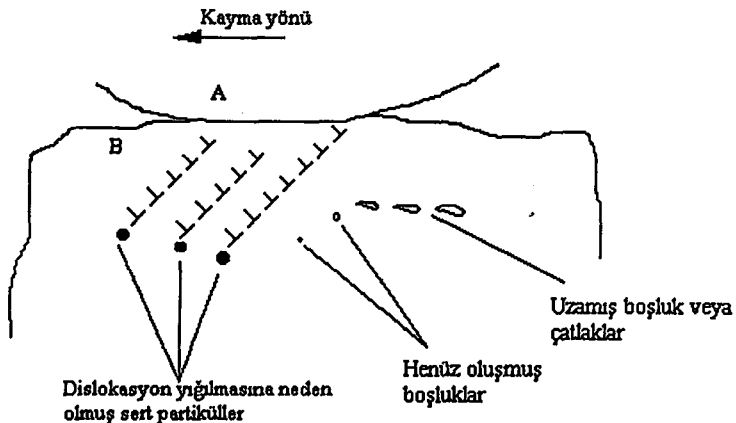
Yüzey altı katmanlarında dislokasyon yoğunluğuoluştuğu için farklı mekanizma ve farklı sayıda çatlak ve boşluk oluşumu meydana gelebilir. Uygulanan yükle meydana gelen gezici dislokasyonların hareketi sert tanecikler tarafından engelleneceği için boşluk oluşum oranını metal içerisinde bulunan bu sert taneciklerin varlığı artıtabilir.

Bu sert partiküller matrisin kohezif dayanımından daha kuvvetli olduğu zaman çatlak ve boşluklar bu dislokasyon gerilmeleri altında oluşabilecektir. Yığılan dislokasyon gerilmeleri altında bu sert tanecikler parçalandığı zaman yüzey altında küçük çatlaklar da oluşabilir. Sert partiküller etrafındaki matrisin plastik akması ve matris tanecikli ara yüzeyin dekozyonuya meydana gelen plastik deformasyon süresince boşluklar meydana gelebilir.

Yüzey altında meydana gelen bu çatlak ve boşluklar üç farklı mekanizma ile birbirleri arasında bağ kurabilirler veya birleşirler. Bu mekanizmalar;

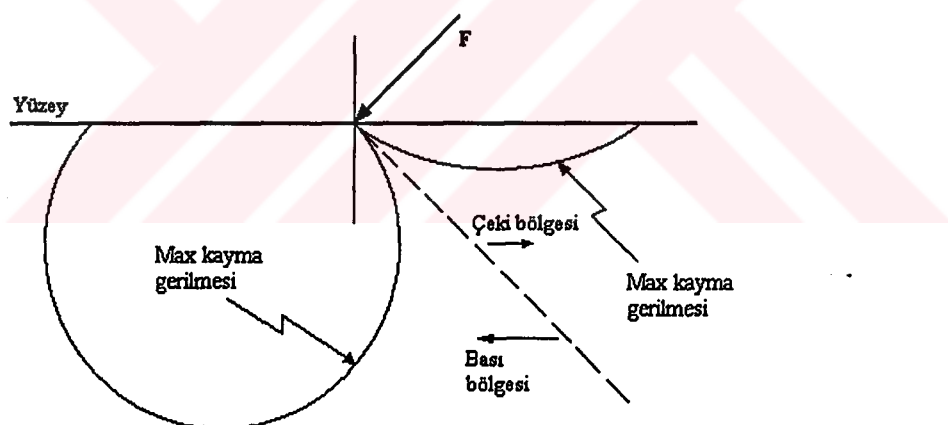
- Boşlukların büyümesi
- Çatlak yayılımı
- Boşluklar arasındaki metalin plastik akma deformasyonu

dur. Şekil 1.3 te kayma deformasyonu sonucunda meydana gelen boşluk oluşumu mekanizması gösterilmiştir.



Şekil 1.3 Kayma deformasyonu ile boşluk oluşumu

Şekil 1.3 te verildiği gibi bir yüzey diğer yüzey üzerinde kayarken yüzey altında bir takım gerilmeler meydana gelir. Meydana gelen bu gerilme alanı düzlem şekilde değiştirme için bir doğru boyunca çizgisel yükleme olduğu kabul edilirse yüzey altında meydana gelen gerilme bölgesi şekil 1.4 te gösterildiği gibi olur⁴.



Şekil 1.4 Çizgisel yükleme neticesinde yüzey altında meydana gelen gerilme bölgesi

⁴ SUH, a.g.e., s. 114.

Bu tür bir temas için Tresca akma kriteri uygulandığında plastik bölge bir çizgi halinde olacaktır. Bununla beraber şekil 1.4 te görüldüğü gibi kesik çizginin sol tarafındaki gerilme bölgesi bası gerilme bölgesi iken sağ tarafındaki gerilme bölgesi ise çeki gerilme bölgesidir. Kesik çizgi ile gösterilen bölgede gerilme değeri sıfırdır. Bu çizgi uygulanan F kuvvetine diktir⁵.

Yapılan çalışmalar göstermiştir ki kesik çizginin sağ tarafındaki bölge elastiktir ve çeki gerilmeleri ile karşı karşıyadır. Kesik çizginin sol tarafındaki bölge ise plastiktir ve bası gerilmeleri ile karşı karşıyadır⁶.

Ayrıca plastik bölgedeki çatlak ucu bası gerilmelerine maruz kalırken elastik bölgedeki çatlak ucu ise çeki gerilmelerine maruz kalmaktadır.

Meydana gelen çatlağın yayılma hızı toplam çatlak uzunluğuna bakılmaksızın her zaman sabit alınır. Çünkü sadece çeki bölgesindeki çatlak gerilme konsantrasyonuna ve çatlak ucunun açılmasına katkıda bulunmaktadır.

Yapılan analizler gerilme yükselme faktörleri yüzeyin hemen altında sonlu mesafelerde maksimum seviyeye ulaştığını göstermiştir. Elde edilen verilere göre çatlaklar bu bölgelerde diğer bölgelere nazaran daha hızlı yayılmaktadır. Artan sürtünme kuvveti ile çatlağın olduğu derinlik artacak, doğal olarak ta tabaka halinde kalkan partiküllerin kalınlığı da artacaktır ki bunun sonucu olarak ta aşınma oranı artacaktır⁷.

Çatlak yayılımı yüzeye dik olmasından ziyade yüzeye paralel olarak gerçekleşmektedir. Bunun birinci nedeni yüzeyde bulunan kusur veya hatalar kayan yüzeylerin altında ve önündeki kesme hareketi altında kolaylıkla kapanır. Ayrıca yüzeye paralel olan normal

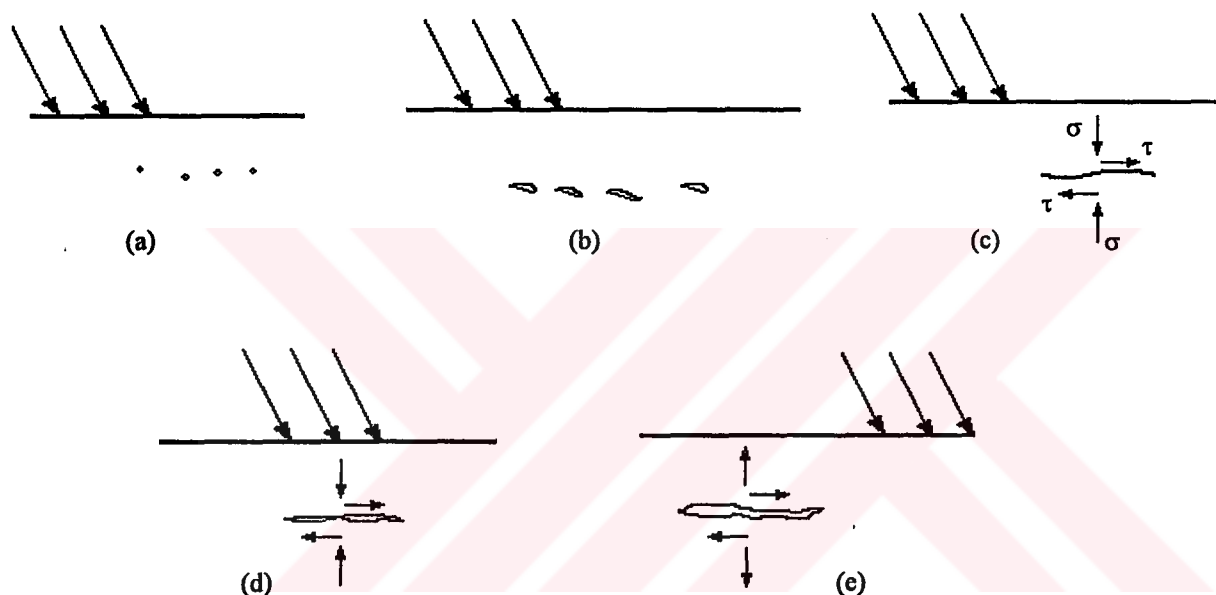
⁵N. P. SUH, "An Overview of The Delamination Theory of Wear," *Wear*, 44(1) 1-16(1973)

⁶ H. S. AHN, B. J. ROYLANCE, "Stress Behaviour of Surface-Coated Materials in Concentrated Sliding Contact," *Surface and Coating Technology*, 41(1990) 1-15(1988)

⁷ AHN, ROYLANCE, a.g.e., s.7.

gerilme bileşeni yüzeyin hemen altında çekmeden basmaya dönüşür. Bu da yüzey çatınlarının derinlemesine büyümelerini engeller.

Bu durumda yüzeyin hemen altında bulunan yüzeye paralel çatınlar sürtünen elemanın her geçişinde basma ve çekmeden oluşan tekrarlı bir yüklemeye maruz kalır ki buda yüzeyden kısa bir mesafe uzaklığında olan çatınların yayılımına neden olur⁸. Şekil 1.5 te yüzeyin hemen altında meydana gelmiş olan boşlukların bir süre sonra birleşip nasıl yüzeye paralel bir çatınlık şeklini aldığı şematik olarak gösterilmiştir.



Şekil 1.5 Yüzey altı çatınlık oluşum mekanizması a)Mikro boşluk oluşumu, b)Boşlukların büyümesi, c)Boşlukların birleşmesi, d)Çatınlık oluşumu, e)Çatınlığın büyümesi

Şekil 1.5 te görüldüğü üzere temas noktaları yüzey üzerinde yapmış olduğu kayma hareketinin neticesi olarak yüzeyin hemen altında boşluklar oluşmaya başlamıştır(Şekil 1.5a). Oluşan bu boşluklar yüzey üzerindeki kayma hareketinin devam etmesi ile daha da büyümüş ve birbirlerine yaklaşmıştır(Şekil 1.5b). Bu boşluklar bir süre sonra birbirleri ile birleşmeye başlamış ve uç noktaları çok keskin çatınlık şeklini

⁸ AHN, ROYLANCE, a.g.e., s.10

almıştır(Şekil 1.5 d-e). Bu aşamadan sonra bu çatlak diğer çatlaklar ile birleşir ve yüzeye ulaşır ki böylelikle malzemenin bu kısmı koparak ayrılır.

1. Önceki çalışmalar

Tabakalanma aşınması ilgili yapılan çalışmalar son otuz yılda kendini göstermeye başlamıştır. Sonlu elemanlar metodunun da bu alanda kullanılmaya başlanmasıyla birlikte bir çalışma alanı olarak popülerliği artmıştır.

Tabakalanma aşınması tanımı ilk defa Nam P.Suh tarafından ortaya konmuştur⁹. Suh bu çalışmada tabakalanma aşınmasının oluşma nedenlerini, yüzey altı çatlak oluşumuna neden teşkil eden unsurları, sert ikinci faz taneciklerinin aşınmadaki rollerini ortaya koymuştur. Daha sonra Suh ve Fleming tarafından ortaya konulan bir çalışmada; Tabakalanma aşınmasında çatlak yayılımının matematiksel ifadesi ve yüzey altında meydana gelen gerilmeler üzerinde durmuşlardır¹⁰. Bundan başka Jahanmir ve Suh tarafından yapılan diğer bir çalışmada da tabakalanma aşınmasında yüzey altında boşluk oluşumunun nedenleri ve sonuçları irdelenmiştir. Çalışmada yüzey altında meydana gelen σ_x , σ_y ve τ_{xy} gerilmelerinin analizi yapılmış ve bu gerilmelere ait gerilme eğrileri elde edilmiştir¹¹. Suh diğer bir çalışmasında ise iki yüzey arasındaki aşınmayı etkileyen faktörler olarak kayma hızını, yüzeye uygulanan normal ve teğetsel yükün etkisini ve yağlanmış yüzeylerdeki kayma hareketini ele almıştır¹².

Kaplanmış yüzeylere etkiyen normal ve teğetsel yük kombinasyonu sonucu kaplamada ve kapunan malzemede meydana gelen gerilmelerin davranışları Ahn ve Roylance tarafından ele alınmıştır¹³. Teğetsel ve normal yüklerle maruz kalmış ve elastik kaplanmış bir yüzeydeki temas gerilmelerini sonlu elemanlar yöntemi kullanarak

⁹ SUH, a.g.e., s. 5

¹⁰ SUH, a.g.e., s. 6

¹¹ JAHANMIR, SUH, a.g.e., s.36

¹² SUH, a.g.e., s. 9

¹³ AHN, ROYLANCE, a.g.e., s.13

Djabella ve Arnell tarafından gerçekleştirılmıştır. Çalışmada farklı sürtünme değerleri ve farklı kaplama kalınlıkları için gerilme analizi yapılmıştır. Yüzey altında meydana gelen gerilme dağılımı Von-mises akma kriterine göre araştırılmıştır¹⁴.

Yine kaplanan malzeme ile kaplama arasında var olan bir arayüzey çatığının hareketli bası yükleri altında ne gibi bir davranış göstereceği Lee, Jinn ve Earmme tarafından araştırılmıştır. Aynı çalışmada sürtünme değerine, kaplama kalınlığına ve çatlak boyuna bağlı olarak gerilme yüksılma faktörü hesaplanmış ve her iki çatlak ucu için G, enerji salıverme oranı hesaplanarak çatığın büyümeye eğiliminde olup olmadığı araştırılmıştır¹⁵.

Marshek ve Chen tarafından ortaya konan bir çalışmada birbiri üzerinde kayan cisimler için basınç-aşınma ilişkisi araştırılmış ve yüzeyler arasında aşınma dağılımı boyutsuz parametlerle belirlenmiştir¹⁶.

Chau-Cho Yu ve Keer artık gerilmelerin tren raylarında meydana gelen yorulma çatlak oluşumu üzerindeki etkisini sonlu elemanlar metodu ile analiz etmişlerdir. Yüzey altında meydana gelen gerilme değerlerini hesaplayarak, muhtemel çatlak oluşum bölgelerini belirlemiştir¹⁷. Ham, Rubin, Hahn ve Bhargava iki boyutlu yuvarlanmalı kayma temas problemlerinde elasto-plastik gerilme analizi yapmışlardır. Çalışmada yuvarlanmalı kayma sonucu yüzey altında meydana gelen gerilme ve şekil değiştirmeler araştırılmış, elde edilen sonuçlar daha önce yapılmış başka bir çalışma ile karşılaştırılmıştır¹⁸.

¹⁴H. DJABELLA, R. D. ARNELL, "Finite Element Analysis of Contact Stress in Elastic Double Layer System Under Normal Load," *Thin Solid Films*, cilt no 223, sayı no 1, (1993), s. 98-108.

¹⁵K. S. LEE, J. T. JINN, Y. Y. EARMME, "Finite Element Analysis of a Subsurface Crack on the Interface of a Coated Material Under a Moving Compressive Load," *Wear*, cilt no 155, sayı no 1, (1992), s. 117, 136

¹⁶K. M. MARSHEK, H. H. CHEN, "Discretization Pressure-Wear Theory for Bodies in Sliding Contact," *Journal of Tribology*, cilt no 111, (1989), s. 95-100

¹⁷Y. YCHAU-CHO, L. M. KEER, R. K. STEELE, "Three-Dimensional Residual Stress Effects on the Fatigue Crack Initiation in Rail," *Journal of Tribology*, cilt no 119, (1997), s. 660-666

¹⁸G. HAM, C. A. RUBIN, G. T. HAHN, "Elasto-Plastic Finite Element Analysis of Repeated, Two Dimensional Rollin-Sliding Contacts," *Journal of Tribology*, cilt no 110, (January 1988), s.44-49

Elsharkawy ve Hamrock yağlanmış olan yüzeylerde meydana gelen max basınç ve gerilmelerin analizini gerçekleştirmiştir. Max basınç ve gerilme değerlerini temas noktasından ve yüzeyden uzaklığın bir fonksiyonu olarak boyutsuz parametrelerle saptamışlardır¹⁹.

Cheng, Cheng ve Keer temas yorulması altında çatlak oluşumunun analizi üzerinde çalışmışlar ve elde ettikleri verilerle yüzeyde ve yüzey altındaki Von-mises gerilmeleriyle sürtünme katsayısı arasında bir ilişki kurmaya çalışmışlardır²⁰. Bailey ve R. S. Sayles yüzey prüzlülüğünün ve kayma sürtünmesinin temas gerilmeleri üzerindeki etkisi üzerine yaptıkları çalışmada farklı yüzey pürüzlülüğüne ve sürtünme değerlerine sahip yüzeyler için yüzey altında meydana gelen gerilme dağılımını araştırmışlardır. Ayrıca farklı sürtünme değerleri için max kayma gerilmelerinin derinlikle değişimi araştırılmıştır²¹.

Dally ve Chen elastik olarak deform olmuş malzemelerin yüzey altında çatlak yayılımının analizini araştırmışlar. Çalışmanın deneysel boyutunda çatlak ucu civarındaki gerilme dağılımı fotoelastik yöntemle tayin edilmiş ve elde edilen veriler analitik yöntemle yapılan çözümle karşılaştırılmıştır. Ayrıca K_I ve K_{II} değerleri hesaplanarak çatlağın hangi yöne doğru büyümeye eğilimi gösterdiği tespit edilmeye çalışılmıştır²². Salehizadeh ve Saka hareketli çizgisel temaslarda çatlak yayılımı ile ilgili çalışmasında; yüzeyin belli bir derinliğinde bulunan bir çatlağın yükleme sonucunda nasıl etkilendiğini araştırılmıştır. Bunun yanısıra K_I ve K_{II} değerlerinin x ekseni boyunca değişimini boyutsuz parametlerle belirlemiştir.

¹⁹A. A. ELSHARKAWY, B. J. HAMROCK, "Subsurface Stresses in Micro-EHL Line Contact," *Journal of Tribology*, cilt no 113, (July 1989), s. 645-655

²⁰ W. CHENG, H. S. CHENG, T. MURA, L. M. KEER, "Micromechanics Modelling of Crack Initiation Under Contact Fatigue," *ASME Paper*, cilt no 93-Trib, (1993), s. 1-7

²¹ D. M. BAILEY, R. S. SAYLES, "Effect of Roughness and Sliding Friction on Contact Stresses," *Journal of Tribology*, cilt no 113,(October 1991), s. 729-738

²²J. M. DALLY, Y. M. CHEN, S. JAHANMIR, "Analysis of Subsurface Crack Propagation and Implications for Wear of Elastically Deforming Materials," *Wear*, cilt no 141, (1990), s. 95-114

Elde ettikleri verilerde çat�ak boyunun yüzeye uygulanan basınc nedeniyle değişimini sürdürme değerine bağlı olarak araştırmıştır²³. Dubourg, Godet ve Villechaise yüzey altında bulunan iki çat�ağın yüzeye uygulanan yükle etkilendiğini araştırmışlardır. Uygulanan yükün etkisiyle yüzey altında meydana gelen gerilme dağılımı saptanmış ve K_I ve K_{II} değerlerinin x ekseni boyunca değişimi boyutsuz parametlerle belirlenmiştir. Ayrıca uygulanan yükün konumuna göre K_I ve K_{II} deki değişimler grafikle ifade edilmiştir²⁴.

S. Taşgetiren yüzey üzerine etkiyen hareketli normal yükün etkisiyle yüzeyin belli derinliklerinde var olan çat�ak şekilli delik etrafındaki gerilmeleri araştırmıştır. Çat�ağın ve uygulanan yükün konumuna göre meydana gelen gerilme ve şekil değiştirmelcr boyutsuz parametrelerle belirlenmiştir. Ayrıca çat�ak şekilli delik civarında meydana gelen gerilme dağılımı Von-mises akma kriterine göre araştırılmıştır²⁵.

B) PROBLEMİN TANIMI

Bu çalışmada, elastik davranış gösteren bir levhanın yan yüzeyinde diğer bir yüzeyin kayması durumunda yüzeyden belli bir derinlikte bulunan çat�ağın davranışını lineer elastik kırılma mekaniği yaklaşımı çerçevesinde araştırılmıştır. Sistemin bilgisayarda yazılmış FORTRAN tabanlı bir programla modeli oluşturulmuştur.

Bu çalışmada beş farklı aşama bulunmaktadır.

1. Modelin bilgisayarda oluşturulması ve verilerin bilgisayara girilmesi.

²³ H. SALEHIZADEH, N. SAKA, "Crack Propagation in Rolling Line Contact," *Journal of Tribology*, cilt no 114, (October 1992), s. 690-697

²⁴ M. C. DUBOURG, M. GODET, B. VILLECHAISE, "Analysis of Multiple Fatigue Cracks-PartII:Results," *Journal of Tribology*, cilt no 114, (July 1992), s. 462-468

²⁵ Süleyman TAŞGETİREN, "Stresses Around a Subsurface Crack Like Hole Under Moving Normal Load," *A.K.Ü Fen Bilimleri Dergisi*, cilt no 1, sayı no 2, (1999), s. 119-130

2. Muhtemel çatlak oluşuma bölgelerinin tespit edilmesi.
3. Meydana gelen gerilmelerin ve şekil değiştirmelerin, uygulanan yükün büyüklüğünç ve çatlağın konumuna göre değişiminin boyutsuz parametrelerle belirlenmesi.
4. Çeşitli boylardaki çatlak için farklı sürtünme katsayılarında çatlağın her iki ucu için J integrali hesabı yapılarak, çatlağın büyümeye eğiliminde olup olmadığıının araştırılması.
5. Çatlak yüzeyindeki deplasman değerlerinden faydalananarak açılma modu olan K_I ve kayma modu olan K_{II} gerilme yükselme faktörlerinin hesaplanması ile çatlağın büyümeye doğrultusunun belirlenmesi.

İKİNCİ BÖLÜM

I. GENEL KAVRAMLARIYLA AŞINMA

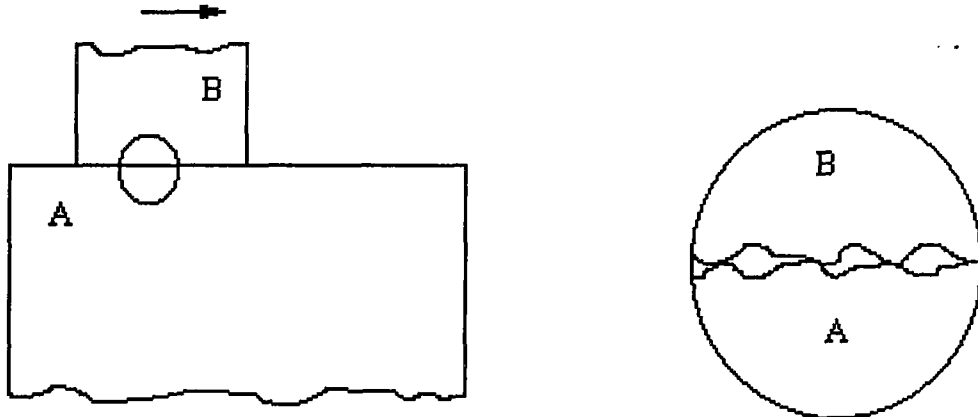
A) GİRİŞ

Metal yüzeylerin birbiri üzerindeki hareket mekanizmaları kendilerinden beklenen fonksiyonları yerine getirmesi açısından önemlidir. Her ne zaman bir yüzey diğer bir yüzeyin üzerinde hareket ederse aşınma meydana gelir ve aşınma neticesinde oluşan zarar, ya bir yüzeyde yada her iki yüzeyde meydana gelir. Aşınma bir çok durumda zararlıdır ve kaçınılmaya çalışılır. Aşınma aynı zamanda birbiriyle temas halinde çalışan yüzeylerde aradaki boşluğun artmasına ve mekanizma hassasiyetinin bozulmasına neden olur.

Düzen taraftan, birbirleriyle temas halinde çalışan yüzeylerde sürtünmeyi sıfır indirmek imkansızdır. Bu nedenle de kayma sırasında yüzeydeki sürtünmeden dolayı meydana gelen teğetsel yükler de kaçınılmaz olmaktadır.

1. Yüzeyler Arasındaki Temas

Paralel iki yüzey yavaşça birbirine yaklaştırıldığında sadece birkaç noktada temas meydana gelecektir. Normal yük artırıldığında yüzeyler birbirine daha da yaklaşacaklar ve dolayısıyla da yüzeyler üzerinde daha çok sayıda nokta birbiri ile temas halinde olacaktır.



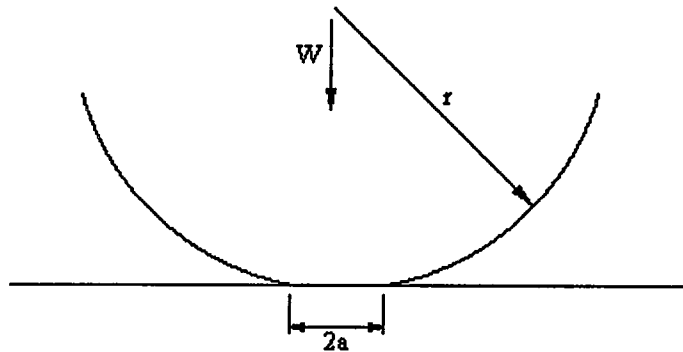
Şekil 2.1 Birbiri ile temas halinde olan iki yüzeyin temas noktalarının daha yakından görünüşü

Temas noktaları yüzeylerin birbirine dokunduğu noktalarda meydana gelir. Ayrıca yüzey üzerindeki normal yükü ve yüzeyler arasındaki sürtünmeden meydana gelecek sürtünme kuvvetini bu temas noktaları taşırlar. Şayet bir yüzeyden diğerine elektriksel akım verilecek olsa akım bu temas noktalarından geçecektir. Yüzeylerin birbiri üzerinde bu şekilde kayması sonucu yüzeylerde iki türlü deformasyon meydana gelir.

a) Elastik Deformasyon

Bu deformasyon türünde birbiri üzerinde kayan yüzeyler arasında herhangi bir şekil değişikliği veya yüzeylerin herhangi birinde kalıcı hasar meydana gelmemektedir. Her iki yüzeyinde elastik olduğu kabul edilir. Bir küre ile bir düzlem yüzeyi ele alacak olursak şekil 2.2 de görülen elastik malzemeden yapılmış bir küre üzerine "W" normal yükü uygulandığında "a" yarıçapı büyüklüğünde bir temas yüzeyi meydana gelecektir²⁶. Bu durum 1881 yılında Hertz tarafından ortaya atılan bir ifadeyle modellenmiştir.

²⁶ HUTCHINGS, a.g.e, s. 15.

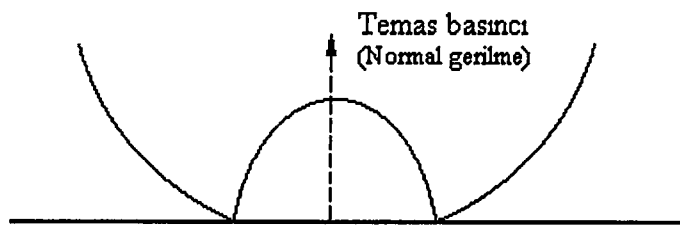


Şekil 2.2 "r" yarıçaplı bir kürenin düzlem bir yüzeye uygulamış olduğu "W" yükü neticesinde meydana gelen elastik deformasyonu

Temas noktasında meydana gelen "a" yarıçapı uygulanan yükün büyüklüğü ile doğru yüzeyin elastikiyet modülü ile ters orantılıdır. Yani küre üzerine etkiyen yük ne kadar arttırılırsa temas uzunluğu da o oranda artacaktır.

Böyle bir durum için deformasyon tamamen elastiktir ve temas alanı $W^{2/3}$ ile doğru orantılıdır. Anma basıncı kuvveti (Normal gerilme) P_m temas alanının üzerindedir ve $W/\pi a^2$ ye eşittir.

Temas bölgesindeki alanda meydana gelen gerilmeler uniform değildir ve meydana gelen max gerilme merkezdedir. En az gerilme veya sıfır gerilme kenar bölgelerde oluşur. Normal gerilmelerin dağılımı şekil 2.3 teki gibi olur.



Şekil 2.3 Temas bölgesindeki normal gerilmelerin dağılımı

Max gerilme temas dairesinin merkezindedir ve asıl basınç kuvvetinden $3/2$ oranında daha büyüktür.

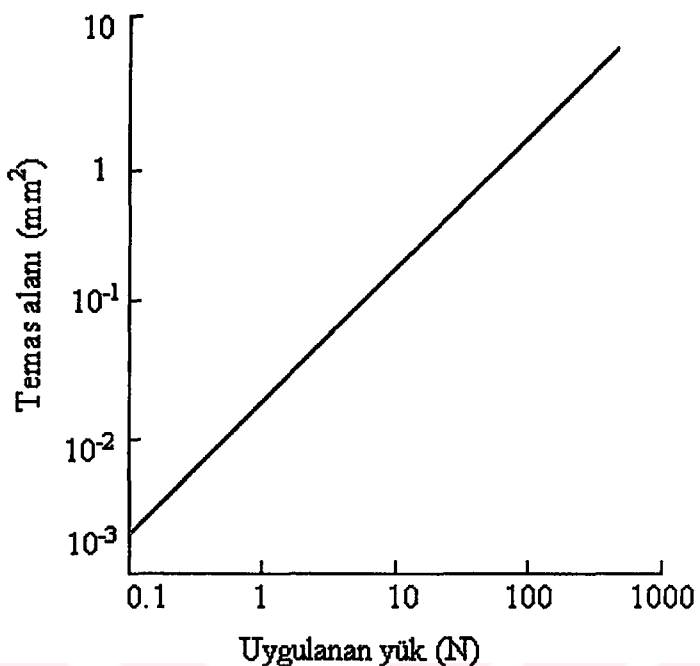
b) Plastik Deformasyon

Küre ile düzlem yüzey arasındaki normal yük arttırdığı zaman temas halinde olan elemanların birinde veya her ikisinde de plastik deformasyon meydana gelebilir. Bu durum iki farklı şekilde düşünülerek daha da basit hale getirilebilir. Birincisi; küre rıjıt kabul edilir ve düzlemde meydana gelen plastik şekil değişikliği hesaplanabilir. İkincisi; düzlem yüzey rıjıt kabul edilir ve kürede meydana gelen plastik şekil değişikliği elde edilebilir.

Hertz yapmış olduğu analizler sonucunda şunu ortaya koymuştur; düzlem yüzey üzerinde hareket eden kürenin altında meydana gelen max kayma gerilmesi yaklaşık 0.78α (α daha önce de ifade edildiği gibi temas dairesinin yarıçapıdır) derinliğinde meydana gelmektedir. Akma gerilmesi kritik değerine ulaşıldığından plastik akma ilk olarak bu noktada başlar. Şayet Tresca kriteri uygulanabilirse malzemenin akma gerilmesinin R_e olduğu yerde kayma etkisinde akma $R_e/2$ de meydana gelecektir. Poison oranı yaklaşık 0.3 olan bir malzeme için max kayma gerilmesi, kürenin yüzeye temasta bulunduğu noktadan 0.78α derinliğinde olur. Kayma gerilme değeri ise asıl temas basıncında 0.31 kez daha büyük olur²⁷. Normal yük arttırdığı zaman plastik deformasyonun alanı da genişleyecektir.

Plastik deformasyonda temas alanı da önemli bir unsurdur. Temas alanının artması deformе olan yüzeyin artmasına bağlıdır. Temas alanın artması da uygulanan yükle ilişkilidir. Greenwood ve Williamson'un ortaya koydukları çalışmalar neticesinde uygulanan yükle temas alanı arasında aşağıdaki gibi bir ilişki bulmuşlardır.

²⁷ K. L. JOHNSON, *Contact Mechanics*, (Cambridge University Press, London, 1985), s. 202-206



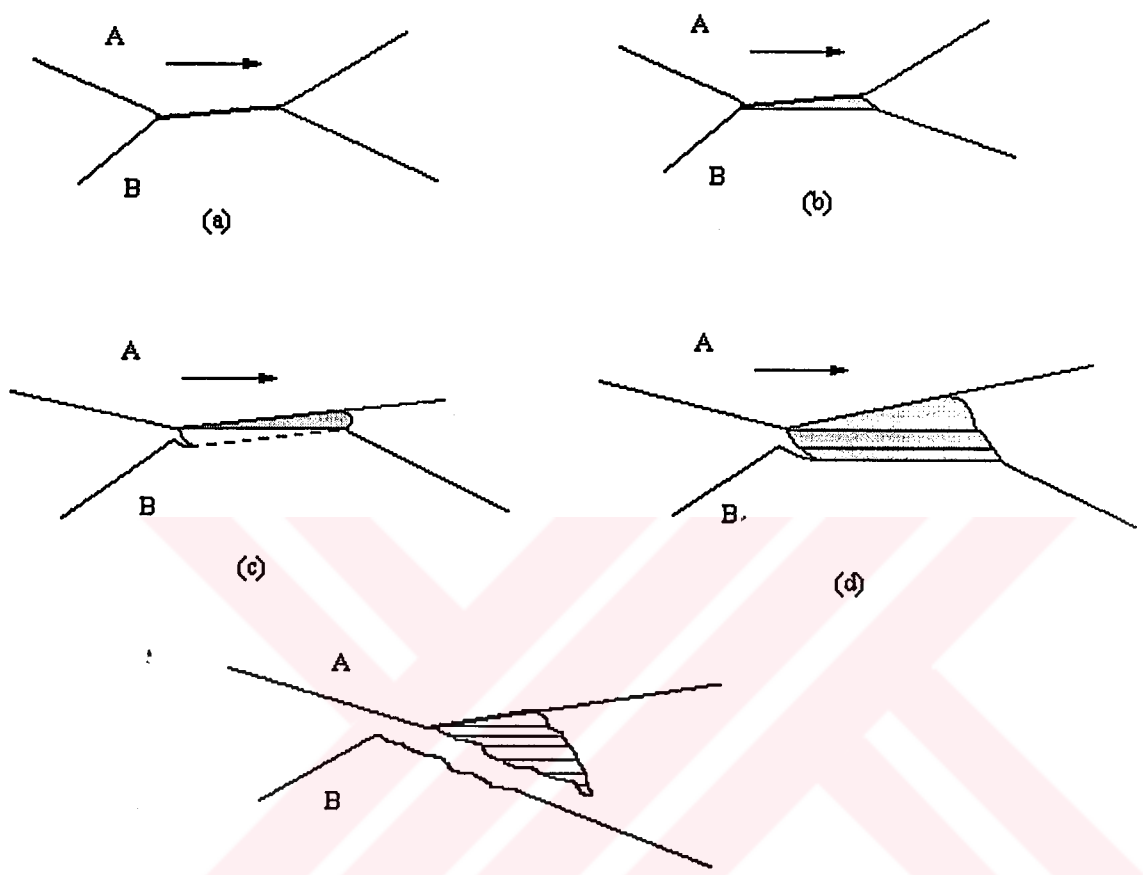
Şekil 2.4 Uygulanan yük ile temas alanı arasındaki ilişki.

HUTCHINGS, a.g.e., s.93.

Greenwood ve Williamson tarafından elde edilen bu grafik tamamıyla elastik temas olarak düşünülmüş ve ilişki buradan yola çıkılarak elde edilmiştir. Fakat yinede bu teori temas noktalarındaki plastik akmanın başlangıcının tahmin edilebilmesine olanak tanımaktadır.

Plastik deformasyon da belirli bir durumda meydana gelen olayı tüm açıklığıyla ortaya koymak zordur. Fakat her iki yüzeydeki aşınma ve aşınan partiküller faydalı bazı bilgilerin elde edilmesinde yardımcı olabilir. Yüzeylerin birbiri üzerinde her defasında kaymaları neticesinde bir takım partiküllerin oluşması kaçınılmazdır ve bu partiküllerin şekillerini tanımlamak veya sınıflandırmak zordur.

Uygulanan normal yükle yüzeydeki yüksek noktaların (asperity) birbirleriyle teması sonucunda şekil 2.5 teki gibi daha yumuşak olan malzeme için yükselti noktalarının uç kısmı koparak partikül oluşumu meydana gelmektedir.



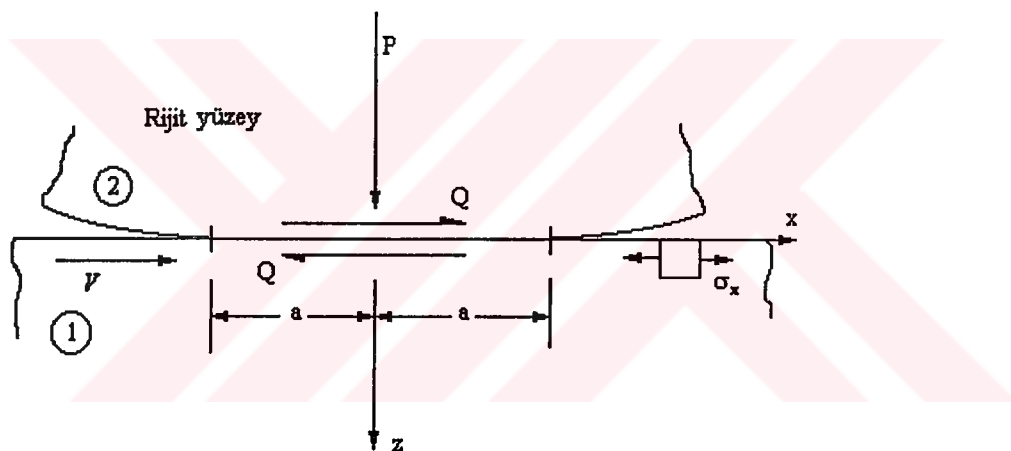
Şekil 2.5 Yükselti noktalarının uç kısımlarının plastik deformasyon sonucu kopması.

HUTCHINGS, a.g.e., s. 95.

Farklı yapı ve özelliklere sahip metallerin birbiri üzerindeki hareketi sonucu her iki metalin yüzeyinde bulunan yükseltiler birbirlerini koparıp yüzeyden uzaklaştırmaya çalışırlar. Eğer malzemenin biri yumuşak diğeri sert bir yapıya sahip ise şekil 2.5 te görüldüğü üzere sert olan yükselti yumuşak olan yükseltiyi koparıp uzaklaştırır. Kopan yükseltilerin büyüklüğü uygulanan yükle ve yüzeylerdeki sürtünme katsayısına bağlıdır.

B) KAYMA AŞINMASI

Kayma şartları altında aşınma; kayma mesafesine, kayma hızına, uygulanan yükle bağlıdır. Temas halindeki iki yüzey birbiri üzerinde kaydığını zaman bir yüzeyde veya her iki yüzeyde bozulmalar meydana geldiği daha önce ifade edilmiştir. Kayma esnasında normal yükün artırılması temas alanının büyümeye neden olur. Sürtünmesiz temaslarda temas gerilmeleri kayma hareketinden etkilenmezler. Fakat sürtünme olduğu durumlarda temas meydana gelebilecek sürtünme kuvveti hareketin ters yönünde olacaktır. Şekil 2.6 da biri rıjît diğeri ise sağdan sola kayma hareketi yapan bir temas durumu gösterilmektedir. V kayma hızı ve Q ise meydana gelen sürtünme kuvvetini temsil etmektedir.



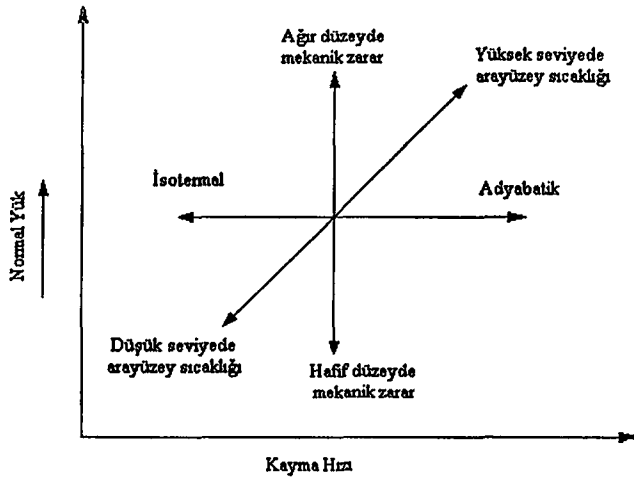
Şekil 2.6 Sürtünmeli kayma yüzeyi modeli

JOHNSON, K. L., a.g.e., s. 202.

1. Kayma Aşınmasında Yükün ve Kayma Hızının Etkisi

Kayma sistemiyle ifade edilen; meydana gelen aşınma oranı, uygulanan normal yük, kayma hızı ve yüzeylerde oluşan sıcaklıktır. Aslında tüm bu unsurların altında yatan temel unsurlar; mekanik gerilmeler, sıcaklık ve oksidasyon olgusudur. Bu üç faktörü birlikte göz önünde bulundurulduğunda, kayma aşınması olayının daha iyi anlaşılmasını

sağlayacaktır. Şekil 2.7 de normal yük ve kayma hızına bağlı olarak meydana gelen ısı ve gerilme değişimini gösteren grafik verilmiştir.



Şekil 2.7 Uygulanan normal yük ve kayma hızına bağlı olarak temas alanında meydana gelen ısı ve gerilmelerin değişimi.

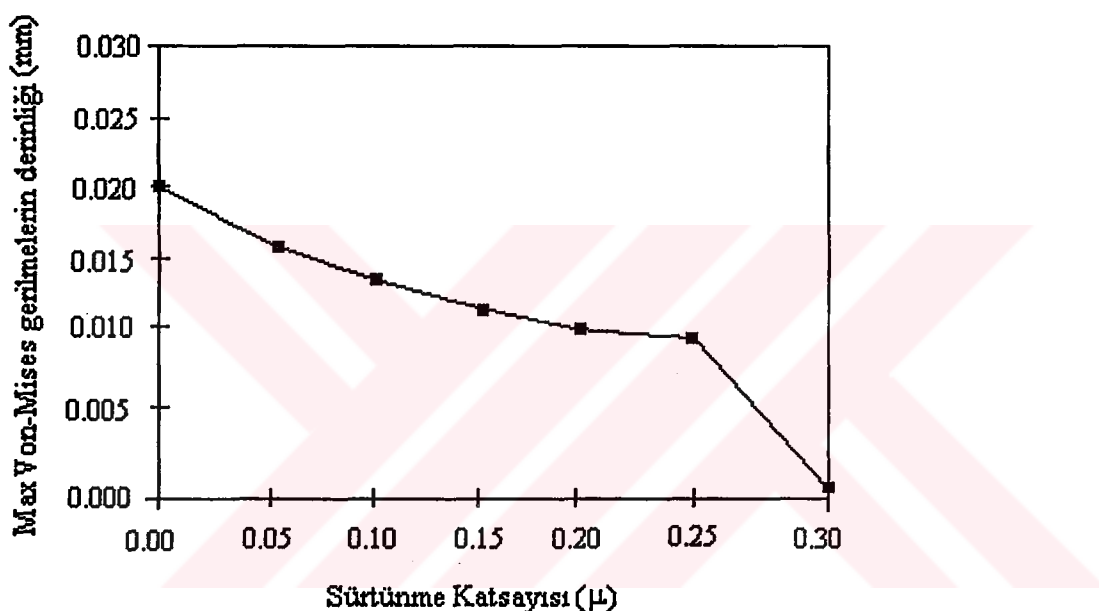
HUTCHINGS, a.g.e., s. 93.

Şekilde de görüldüğü üzere meydana gelen mekanik zarar yada yüzeydeki bozulma tamamıyla uygulanan yükle bağlantılıdır. Normal yük arttırıldığında yüzeyde meydana gelebilecek zarar da o oranda artacaktır. Ara yüzeye meydana gelecek olan ısı hem normal yükle hem de kayma hızıyla doğrudan orantılıdır.

2. Kayma Aşınmasında Meydana Gelen Gerilmeler

Kayma esnasında meydana gelen önemli mekanik gerilmeler; her kayan kütlenin yüzeyinde oluşan normal gerilmeler ve yüzeyin altında oluşan kayma gerilmeleridir. Plastik temas koşulları altında temas noktasındaki normal gerilmeler, daha yumuşak olan malzemeyi aşındırma eğiliminde olacaktır. Fakat yüzey çok düzgünse ve yükleme (normal yükleme) çok az ise elastik temas meydana gelecektir. Max kayma gerilmelerinin büyüklüğü ve konumu sürtünme katsayısına bağlıdır. Yaklaşık 0.3 ten

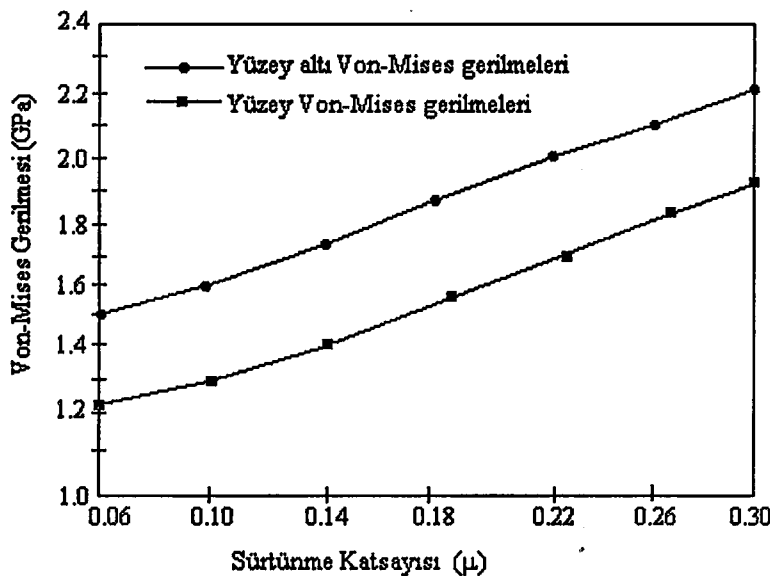
daha az olan sürtünme katsayısı (μ) değerleri için max kayma gerilmesi ve bununla beraber plastik akma yüzey altında meydana gelecektir ve yüzey üzerinde her kayma işlemi gerçekleştiğinde ise plastik şekil değiştirme küçük değerlerde kalacaktır. 0.3 ten daha büyük olan μ değerleri için max kayma gerilmesi yüzeyde meydana gelebilecek ve büyük kayma gerilmeleri oluşacaktır. Cheng ve Keer'in yapmış oldukları çalışmalar neticesinde sürtünme katsayısıyla meydana gelen gerilmelerin derinlikleri arasında bir ilişki kurulmaya çalışılmıştır.



Şekil 2.8 Sürtünme katsayısı ve gerilme derinliği ilişkisi.

CHENG, CHENG, MURA, KEER, a.g.e., s. 5.

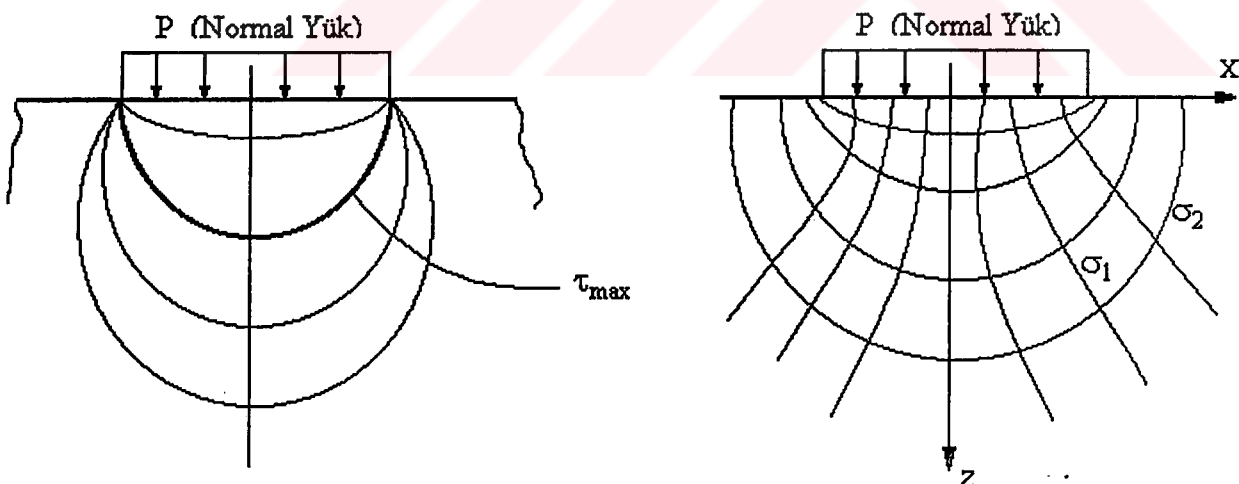
Kayma sırasında meydana gelen sürtünme kuvveti, yüzey altında ve yüzeyde meydana gelen gerilmeleri olumsuz yönde etkiler. Yine Cheng ve Keer'in yapmış oldukları aynı çalışma neticesinde kayma sırasında sürtünme katsayısının yüzeyde ve yüzey altında meydana gelen gerilmeleri ne yönde etkilediğini bir grafikle açıklamaya çalışmışlardır.



Şekil 2.9 Sürtünme katsayısı ve Von-Mises gerilme ilişkisi .

CHENG, CHENG, MURA, KEER, a.g.e., s. 5.

Sürtünme kuvvetinin ihmali edildiği veya olmadığı kayma durumlarında meydana gelen gerilme dağılım şekli aşağıdaki gibi olması beklenmektedir.

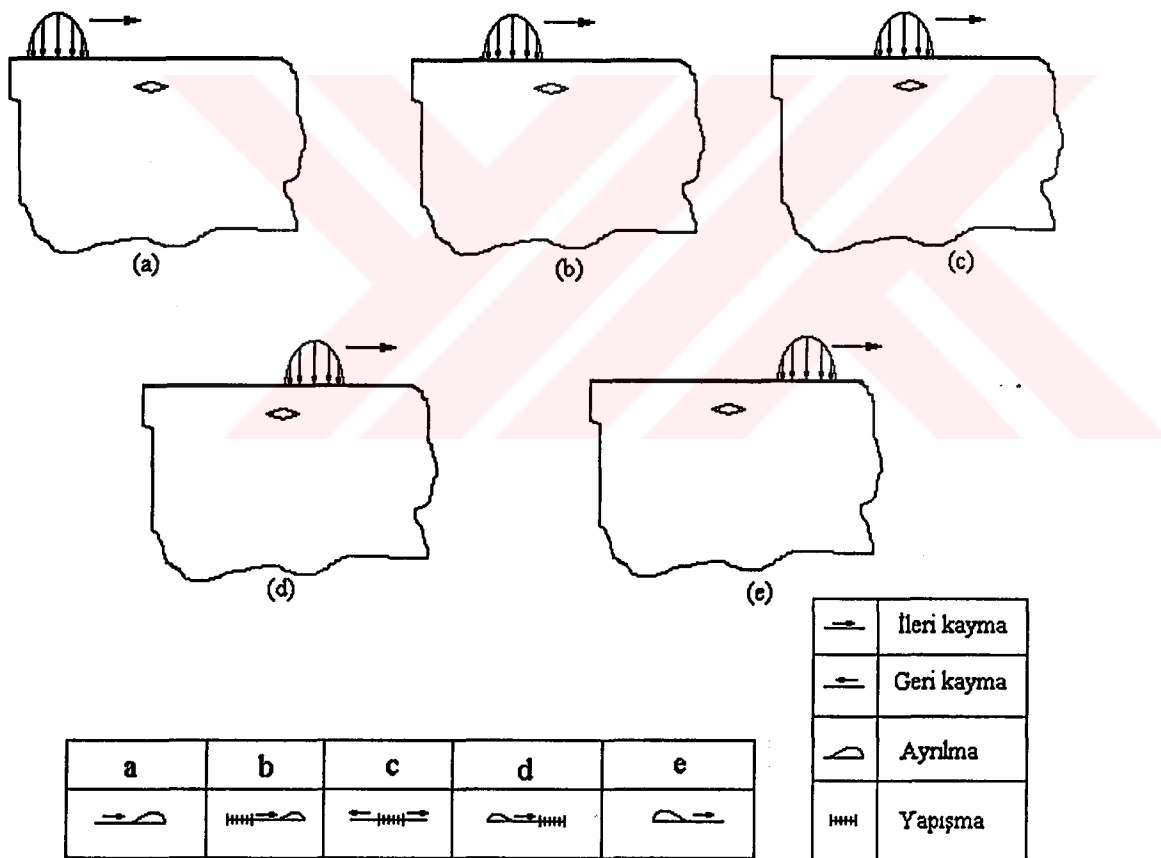


Şekil 2.10 Yükleme nedeniyle meydana gelen σ_1, σ_2 asal gerilmeleri ve τ_{\max} gerilmeleri.

JOHNSON, a.g.e. s. 23.

Fakat kayma işlemi süresince sürtünmeyi göz önüne alırsak meydana gelen gerilme eğrileri daha farklı olacaktır. Meydana gelen sürtünme kuvveti yüzey üzerinde bir teğetsel kuvvet görevini görecektir. Bunlar yüzeye çok yakın çat�akların daha da açılarak büyümelerinde de önemli rol oynamaktadır.

Sürtünmeli kayma işlemi yüzey altında çat�ak bulunduran makine elemanları için oldukça risk taşımaktadır. Böyle bir durumda yüzeydeki sürtünme ve yük azaltılmaya çalışılmalıdır. Kayma sırasında yüzey altında bulunan bir çat�ağın yüzeylerinde uygulanan normal ve teğetsel yüklerin etkisiyle çat�ak yüzeylerinde bir takım deplasman değişiklikleri meydana gelir. Lee, Jinn ve Earmme nin yapmış oldukları bir çalışmada yüzeye uygulanan teğetsel ve normal yük kombinasyonunun konumuna göre çat�ağın almış olduğu şekli, şekil 2.11 da verilmiştir.



Şekil 2.11 Yükün konumu ile çat�ağın zorlanma durumundaki değişimi

Şekil 2.11 dan çıkarılabilen sonuç; yük çatlağa yaklaştıkça çatlağın diğer ucu açılma eğilimi göstermektedir. Yani çatlak yüzeyleri birbirinden ayrılmaya zorlanmaktadır. Yine aynı şekilde yük çatlağının bulunduğu yüzey üzerinden uzaklaştığında bu kez çatlağın diğer ucu açılma zorlanmaktadır. Yük tam çatlak üzerindeyken çatlak yüzeylerini birbirine yaklaşıtmakta hatta yapıştırabilmektedir ve çatlağın uç kısım yüzeylerinin birbiri üzerinde kaymasına neden olmaktadır.

Yüzeydeki sürüünmeden dolayı meydana gelen teğetsel yüklerden dolayı kayma modu olarak bilinen K_{II} gerilme yıgilma faktörü, yükün şekil 2.11 de verilen a ve c konumlarında çatlak ucunun açılmasına neden olmaktadır. Bununla birlikte açılma modu olan K_I gerilme yıgilma faktörü böyle bir problemde çatlağın açılmasına hiçbir katkıda bulunmamaktadır. Aksine yükün c konumunda görüldüğü gibi çatlak yüzeylerinin kapanmasına neden olmaktadır.



ÜÇÜNCÜ BÖLÜM

I. SONLU ELEMANLAR ANALİZİ

A) SONLU ELEMANLAR ANALİZİNE GİRİŞ

Sonlu elemanlar metodu; karmaşık olan problemlerin daha basit alt problemlere ayrılarak her birinin kendi içinde çözülmesiyle tam çözümün bulunduğu bir çözüm şeklidir. Bir anlamda bilgisayar çözümüne uyarlanmış ve matris formda ifade edilen denklemlerin kullanıldığı bir sayısal tekniktir²⁸.

Metodun üç temel niteliği vardır: 1- Geometrik olarak karmaşık olan çözüm bölgesi sonlu elemanlar olarak adlandırılan geometrik basit alt bölgelere ayırr. 2- Her elemandaki sürekli fonksiyonlar cebirsel polinomların lineer kombinasyonu olarak tanımlanabileceğine kabul edilir. 3- Problemin çözümünde istenen değerlerin her eleman içinde sürekli olan tanım denklemlerinin düğüm noktalarındaki değerlerinin elde edilmesiyle problemin çözümü tamamlanmış olur²⁹.

1. Sonlu Elemanların Gelişimi ve Kullanım Alanları

Sonlu elemanlar yönteminin temeli uçakların yapısal analizindeki gelişmelere dayanmaktadır. Sonlu elemanlar terimi ilk defa 1960 yılında Clough tarafından kullanıldı. 1960'ların ilk yıllarda mühendisler bu yöntemi gerilme analizlerinde, akışkanlar mekaniğinde, ısı transferinde ve diğer alanlarda kullanmışlardır³⁰.

²⁸ B. NATH, Mühendisler için Sonlu Elemanlar Metodunun Temelleri, İngilizceden çeviren Durmuş Günay, s. 2, Sakarya(1993)

²⁹ NATH, a.g.e., s. 3.

³⁰ Muzaffer TOPÇU, Süleyman TAŞGETİREN, Mühendisler için Sonlu Elemanlar Metodu, PAÜ Mühendislik Fakültesi, s. 210 Denizli(1998)

Sonlu elemanlar metodunun kullanılması ve bilgisayarların sanayiye girmesiyle, bugüne kadar ancak pahalı deneysel yöntemlerle incelenebilen bir çok makine elemanın (motor blokları, pistonlar vs.) kolayca incelenmesi, hatta çizim esnasında mukavemet analizlerinin kısa bir sürede yapılarak optimum dizaynın gerçekleştirilmesi mümkün olabilmisti³¹.

Günümüzde bilgisayarların hızla gelişmesi daha hızlı ve kapasiteli bilgisayarların kullanılıyor olması, bu yöntemin mühendisler ve işletmeciler tarafından kullanımını arttırmıştır.

B) İKİ BOYUTLU PROBLEMLER

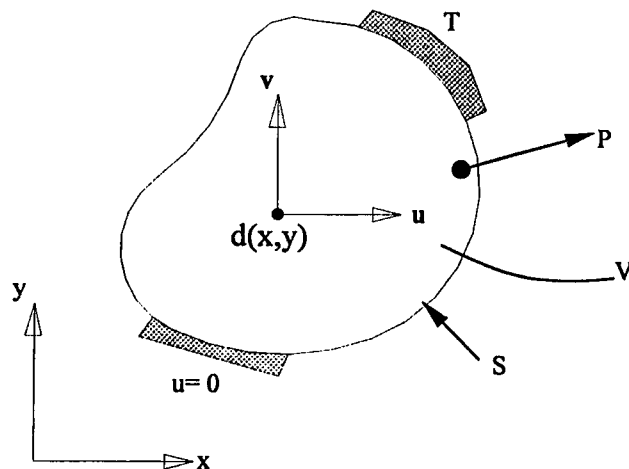
Sonlu elemanlar yönteminin temel prensibi; öncelikle bir elemana ait sistem özelliklerini içeren denklemlerin çıkartılıp tüm sistemi temsil edecek şekilde eleman denklemlerini birleştirerek sisteme ait lineer denklem takımının elde edilmesidir³². Şekil 3.1 de görüldüğü gibi V hacmine ve S yüzeyine sahip bir elemanı göz önüne alalım. Eleman x ve y koordinatları üzerine yerleştirilmiş ve belli bir yönde P kuvveti ile zorlanmaktadır. Sınır üzerinde her birim alana düşen kuvvet T dir ve yüzey kuvveti olarak ifade edilmektedir. Bu kuvvet altında kütte belli bir miktarda deformasyona maruz kalacaktır.

$$\{u\} = [u, v]^T \quad (3.1)$$

$\{u\}$ Yer değiştirme vektördür. u , v de deplasman vektörünün x, y bileşenidir. Her birim hacim' e düşen kuvvet, kütte kuvveti olarak alınır ve denklem (3.2) deki gibi ifade edilir.

³¹ TOPÇU, TAŞGETİREN, a.g.e., s. 1-2.

³² TOPÇU, TAŞGETİREN, a.g.e., s. 6-1.



Şekil 3.1. İki boyutlu elastik kütle

$$\{f\} = [f_x \ f_y]^T \quad (3.2)$$

Şekilde görülen T ifadesi yüzey kuvvetidir ve birim yüzey alanına düşen kuvvet olarak alınır. Yüzey kuvvetinin yüzey üzerindeki herhangi bir noktadaki bileşenleri aşağıdaki gibidir.

$$T = [T_x \ T_y]^T \quad (3.3)$$

Uygulanan yükün neticesinde elemanda meydana gelen gerilme $\{\sigma\}$ bileşenleri ise,

$$\{\sigma\} = [\sigma_x \ \sigma_y \ \tau_{xy}]^T \quad (3.4)$$

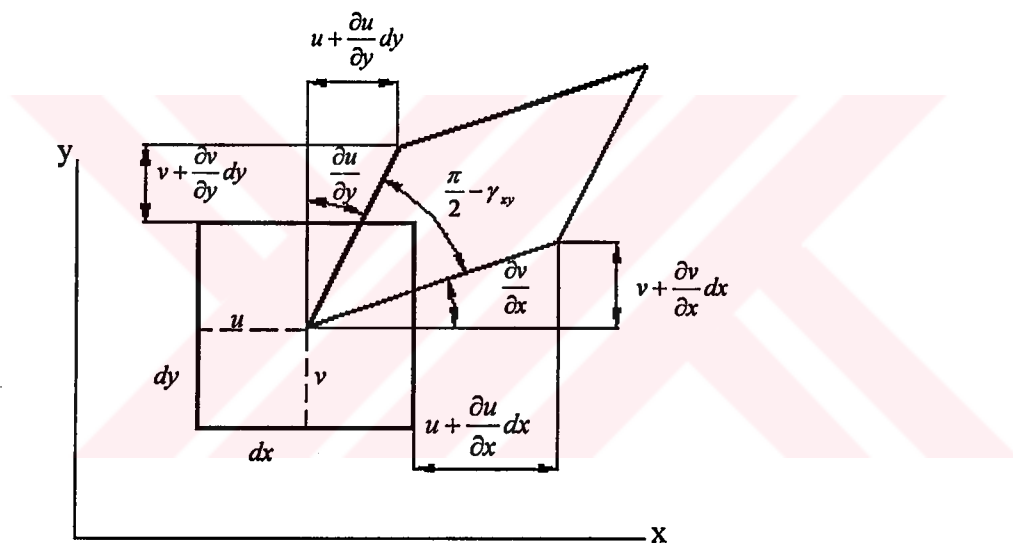
şeklindedir. Burada σ_x , σ_y normal gerilmeler, τ_{xy} ise kayma gerilmesidir.

İki boyutlu durumda şekil değiştirme bileşenleri ise aşağıdaki gibidir.

$$\{\varepsilon\} = [\varepsilon_x, \varepsilon_y, \gamma_{xy}]^T \quad (3.5)$$

1. Şekil Değiştirme – Yer Değiştirme İlişkisi

Şekil değiştirme ile yer değiştirme arasındaki ilişki için şekil 3.2 deki gibi iki boyutlu bir elemanın deform olmuş şeklini göz önünde bulundurursak aşağıdaki denklemi yazmamız mümkün olur.



Şekil 3.2 İki boyutlu düzgün bir elemanda meydana gelen şekil değiştirmeler

$$\{\varepsilon\} = \left[\frac{\partial u}{\partial x}, \frac{dv}{dy}, \frac{\partial u}{\partial y} + \frac{\partial v}{\partial x} \right] \quad (3.6)$$

Şekil değiştirme vektörünü matris formda ifadesi ise,

$$\{\varepsilon\} = [B]\{q\} \quad (3.7)$$

dir. Burada $[B]$ kullanılan sonlu eleman tipine bağlı olarak elde edilen interpolasyon (şekil değiştirme-deplasman) matrisi olup şekil fonksiyonlarının türevlerinden oluşur. Bu çalışmada kullanılan 8 düğümlü izoparametrik eleman için 3×16 boyutlarındadır. $\{q\}$ ise düğüm deplasman vektörü olup, şekil 3.4'te gösterilmiştir.

2. Gerilme-Şekil Değiştirme İlişkisi

Lineer elastik malzemeler için gerilme-şekil değiştirme ilişkisi genelleştirilmiş Hooke kanunundan gelmektedir. İzotropik malzemeler için Young modülü (elastisite modülü) E ve Poisson oranı ν dır. Bir kütle içerisindeki küp biçimindeki elemanı göz önüne alduğumuzda, Hooke kanunu;

$$\varepsilon_x = \frac{\sigma_x}{E} - \nu \frac{\sigma_y}{E} - \nu \frac{\sigma_z}{E} \quad \varepsilon_y = -\nu \frac{\sigma_x}{E} + \frac{\sigma_y}{E} - \nu \frac{\sigma_z}{E} \quad \varepsilon_z = -\nu \frac{\sigma_x}{E} - \nu \frac{\sigma_y}{E} + \frac{\sigma_z}{E} \quad (3.8)$$

olarak yazılır. Kayma modülü (rijitlik modülü),

$$G = \frac{E}{2(1+\nu)} \quad (3.9)$$

dür. Kayma modülünü Hooke kanununda yerine koyarsak, iki boyutlu durum için

$$\varepsilon_x + \varepsilon_y = \frac{(1-2\nu)}{E} (\sigma_x + \sigma_y) \quad (3.10)$$

olur.

Böylelikle gerilme ile şekil değiştirme arasındaki ilişki aşağıdaki şekli alır.

$$\{\sigma\} = [D]\{\varepsilon\} \quad (3.11)$$

D elastisite matrisi olup problemin düzlem şekil değiştirme ve düzlem gerilme olmasına göre değişir. Düzlem gerilme durumunda σ_z , τ_{xz} , τ_{yz} gerilme değerleri sıfırdır. Böylelikle Hooke kanunundan yola çıkılarak düzlem gerilme durumu için D elastisite matrisi aşağıdaki gibi elde edilir.

$$[D] = \frac{E}{1-\nu^2} \begin{bmatrix} 1 & \nu & 0 \\ \nu & 1 & 0 \\ 0 & 0 & \frac{1-\nu}{2} \end{bmatrix} \quad (3.12)$$

Burada $\{\sigma\}$ gerilme vektörü,

$$\{\sigma\} = \begin{bmatrix} \sigma_x \\ \sigma_y \\ \tau_{xy} \end{bmatrix} \quad (3.13)$$

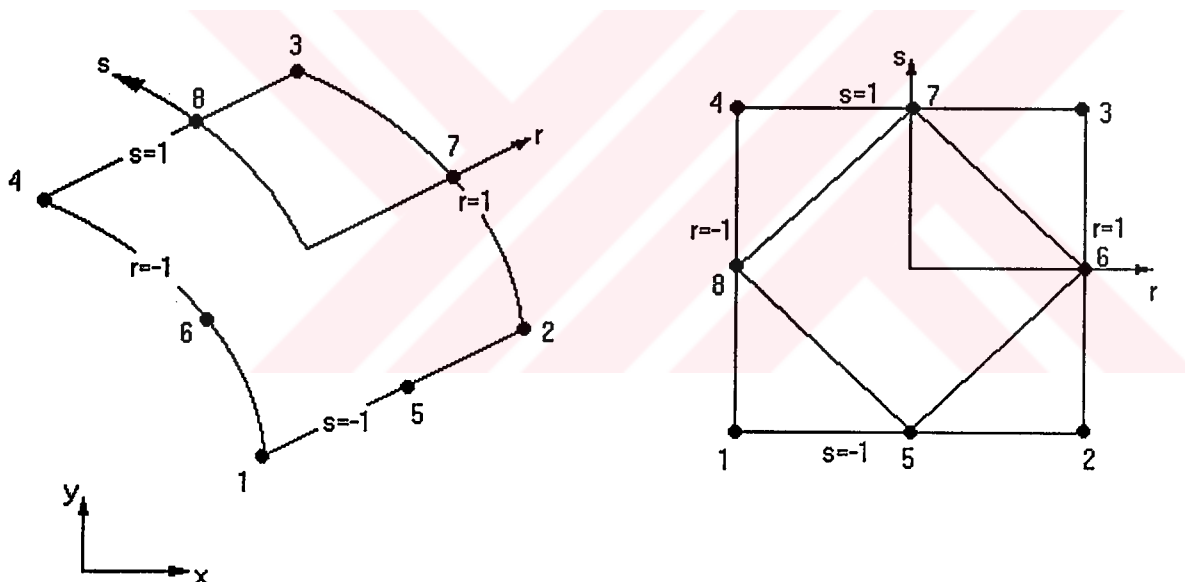
$\{\varepsilon\}$ şekil değiştirme vektörü,

$$\{\varepsilon\} = \begin{bmatrix} \varepsilon_x \\ \varepsilon_y \\ \gamma_{xy} \end{bmatrix} \quad (3.14)$$

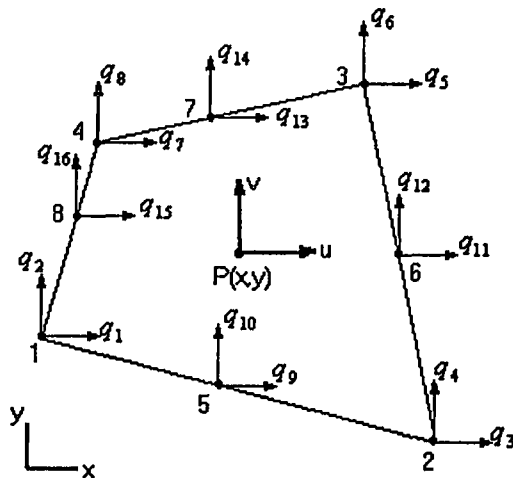
3. İzoparametrik Elemanlar

İzoparametrik elemanlar iki ve üç boyutlu problemlerin çözümünde geniş bir kullanım alanı bulmuş ve deneysel verilerle iyi bir uyum sağlayan sonuçlar elde edilmiş bir eleman türüdür. İzoparametrik elemanlar problemlere dört, sekiz ve dokuz düğümlü olmak üzere üç değişik şekilde uygulanmaktadır. Bu çalışmada sekiz düğümlü izoparametrik elemanlar kullanılarak çözüme gidilmiştir.

Sekiz düğümlü izoparametrik elemanlarda tüm düğümler eleman sınırlarında bulunmaktadır. Şekil 3.3'te de görüleceği gibi $r = 0$ $s = 0$ eksenleri üzerinde ikişer düğüm $r = \pm 1$ ve $s = \pm 1$ eksenleri üzerinde de üçer düğüm bulunmaktadır.



Şekil 3.3. Sekiz düğümlü izoparametrik elemanın doğal ve kartezyen koordinat sistemindeki durum



Şekil 3.4. Sekiz düğümlü dörtgen eleman için düğüm deplasmanları

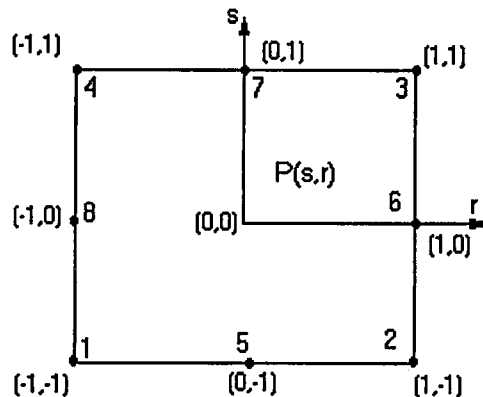
Yukarıdaki şekilde verilen sekiz düğümlü dörtgen eleman için düğüm deplasmanları vektörü;

$$\{\mathbf{q}\} = [q_1, q_2, q_3, q_4, q_5, q_6, q_7, q_8, q_9, q_{10}, q_{11}, q_{12}, q_{13}, q_{14}, q_{15}, q_{16}]^T \quad (3.15)$$

dir. Eleman içerisindeki herhangi bir P noktası için deplasman vektörü aşağıdaki gibidir.

$$\{\mathbf{u}\} = [u(x, y), v(x, y)]^T \quad (3.16)$$

Şekil fonksiyonları öncelikle doğal koordinatlardaki bir temel eleman üzerinde geliştirilir. Aşağıdaki şekilde temel eleman (r, s) doğal koordinatlarında düzgün bir kare olarak tanımlanmaktadır. Langrange sekiz düğümlü izoparametrik elemana göre şekil fonksiyonları $i = 1, 2, 3, 4, 5, 6, 7, 8$ şeklinde düğüm numaraları alır ve N_i şeklinde gösterilir.



Şekil 3.5 Doğal koordinatlarda sekiz düğümlü izoparametrik eleman

Her şekil fonksiyonun değeri tanımlı olduğu düğümde 1 diğer düğümlerde ise sıfırdır.

Yani 1. Düğümde N_1 değeri 1 ise diğer düğümlerde (2, 3, 4, 5, 6, 7, 8) N_1 değeri sıfırdır.

8 düğümlü izoparametrik elemanlar için şekil fonksiyonları.

$$N_1 = -1/4(1-r)(1-s)(1+r+s)$$

$$N_2 = -1/4(1+r)(1-s)(1-r+s)$$

$$N_3 = -1/4(1+r)(1+s)(1-r-s)$$

$$N_4 = -1/4(1-r)(1+s)(1+r-s)$$

$$N_5 = 1/2(1-r^2)(1-s)$$

$$N_6 = 1/2(1+r^2)(1-s^2)$$

$$N_7 = 1/2(1-r^2)(1+s)$$

$$N_8 = 1/2(1+r^2)(1-s^2)$$

şeklindedir³³.

³³ TOPÇU, TAŞGETİRİN, a.g.e., s. 6-36.

Bu şekil fonksiyonları kullanılarak eleman içerisindeki herhangi bir P noktasının yer değiştirmeleri (deplasmanları) elde edilir.

$$u = N_1 q_1 + N_2 q_3 + N_3 q_5 + N_4 q_7 + N_5 q_9 + N_6 q_{11} + N_7 q_{13} + N_8 q_{15} \quad (3.18)$$

$$v = N_1 q_2 + N_2 q_4 + N_3 q_6 + N_4 q_8 + N_5 q_{10} + N_6 q_{12} + N_7 q_{14} + N_8 q_{16} \quad (3.19)$$

Matris formunda ifade edilecek olursa;

$$\{u\} = [N] \{q\} \quad (3.20)$$

Yukarıdaki denklemde $[N]$ şekil fonksiyonları matrisi olup aşağıdaki gibi ifade edilir.

$$[N] = \begin{bmatrix} N_1 & 0 & N_2 & 0 & N_3 & 0 & N_4 & 0 & N_5 & 0 & N_6 & 0 & N_7 & 0 & N_8 & 0 \\ 0 & N_1 & 0 & N_2 & 0 & N_3 & 0 & N_4 & 0 & N_5 & 0 & N_6 & 0 & N_7 & 0 & N_8 \end{bmatrix} \quad (3.21)$$

Izoparametrik formülasyonda koordinatlar da aynı şekil fonksiyonları ile gösterilebildiğinden, eleman içerisindeki herhangi bir noktanın koordinatı;

$$x = N_1 x_1 + N_2 x_2 + N_3 x_3 + N_4 x_4 + N_5 x_5 + N_6 x_6 + N_7 x_7 + N_8 x_8 \quad (3.22)$$

$$y = N_1 y_1 + N_2 y_2 + N_3 y_3 + N_4 y_4 + N_5 y_5 + N_6 y_6 + N_7 y_7 + N_8 y_8 \quad (3.23)$$

şeklindedir.

Meydana gelen şekil değişiminin hesaplanabilmesi için r , s koordinatlarında verilen şekil fonksiyonlarının x , y koordinatlarındaki türevlerine ihtiyaç vardır. Bunun içinde herhangi bir $f = f[x(r,s), y(r,s)]$ fonksiyonu için

$$\frac{\partial f}{\partial r} = \frac{\partial f}{\partial x} \frac{\partial x}{\partial r} + \frac{\partial f}{\partial y} \frac{\partial y}{\partial r} \quad \frac{\partial f}{\partial s} = \frac{\partial f}{\partial x} \frac{\partial x}{\partial s} + \frac{\partial f}{\partial y} \frac{\partial y}{\partial s} \quad (3.24)$$

yazılır. Buradan,

$$\begin{Bmatrix} \frac{\partial f}{\partial r} \\ \frac{\partial f}{\partial s} \end{Bmatrix} = [J] \begin{Bmatrix} \frac{\partial f}{\partial x} \\ \frac{\partial f}{\partial y} \end{Bmatrix} \quad (3.25)$$

şeklinde elde edilir. Jakobiyen matrisi,

$$J = \begin{vmatrix} \frac{\partial x}{\partial r} & \frac{\partial y}{\partial r} \\ \frac{\partial x}{\partial s} & \frac{\partial y}{\partial s} \end{vmatrix} \quad (3.26)$$

şeklindedir. Jakobiyen matrisinin açık şekilde ifadesi,

$$J = \frac{1}{4} \begin{bmatrix} N_{1(r)}x_1 + N_{2(r)}x_2 + \dots + N_{8(r)}x_8 & N_{1(r)}y_1 + N_{2(r)}y_2 + \dots + N_{8(r)}y_8 \\ N_{1(s)}x_1 + N_{2(s)}x_2 + \dots + N_{8(s)}x_8 & N_{1(s)}y_1 + N_{2(s)}y_2 + \dots + N_{8(s)}y_8 \end{bmatrix} \quad (3.27)$$

olur.

İndisler şekil fonksiyonlarının kısmi türevlerini göstermektedir. Yani matrisin ilk satırındaki şekil fonksiyonlarının r 'ye göre türevi alınmış, ikinci satırındaki şekil fonksiyonlarının da s 'ye göre türev alınmıştır. Buradan

$$J = \begin{vmatrix} J_{11} & J_{12} \\ J_{21} & J_{22} \end{vmatrix} \quad (3.28)$$

yazılabilir. Denklem 3.24 dan f fonksiyonu yerine şekil fonksiyonu yazılırsa,

$$\begin{Bmatrix} \frac{\partial N}{\partial r} \\ \frac{\partial N}{\partial s} \end{Bmatrix} = J \begin{Bmatrix} \frac{\partial N}{\partial x} \\ \frac{\partial N}{\partial y} \end{Bmatrix} \quad (3.29)$$

olur. Şekil fonksiyonlarının x ve y 'ye göre türevi için bu eşitliğin tersi alınarak yeniden yazılırsa,

$$\begin{Bmatrix} \frac{\partial N}{\partial x} \\ \frac{\partial N}{\partial y} \end{Bmatrix} = J^{-1} \begin{Bmatrix} \frac{\partial N}{\partial r} \\ \frac{\partial N}{\partial s} \end{Bmatrix} \quad (3.30)$$

elde edilir. Yukarıda verilen denkleme göre 3.17 de verilen şekil fonksiyonlarının r 'ye ve s 'ye tablo 3.1 de verilmiştir.

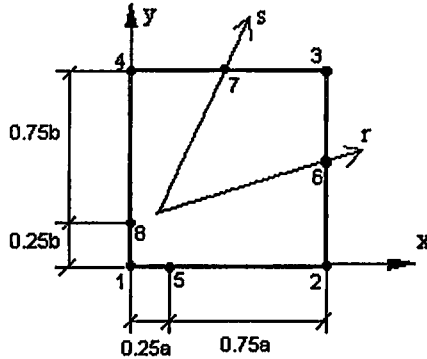
Tablo 3.1 Şekil fonksiyonlarının r ve s 'ye göre türevi

	$\frac{\partial N}{\partial r}$	$\frac{\partial N}{\partial s}$
N_1	$N_1 = -(s-1)(2r+s)/4$	$N_1 = -(r-1)(2s+r)/4$
N_2	$N_2 = -(s-1)(2r-s)/4$	$N_2 = -(r+1)(r-2s)/4$
N_3	$N_3 = (s+1)(2r+s)/4$	$N_3 = (r+1)(r+2s)/4$
N_4	$N_4 = (s+1)(2r-s)/4$	$N_4 = (r-1)(r-2s)/4$
N_5	$N_5 = r(s-1)$	$N_5 = (r^2 - 1)/2$
N_6	$N_6 = -(s^2 - 1)/2$	$N_6 = -s(r + 1)$
N_7	$N_7 = -r(s + 1)$	$N_7 = -(r^2 - 1)/2$
N_8	$N_8 = (s^2 - 1)/2$	$N_8 = s(r - 1)$

4. Çatlak Civarında Kullanılan Elemanlar

Problemin çözümü için oluşturulan sonlu eleman modelinde 8 düğümlü izoparametrik elemanlar kullanılmıştır. Bu tür elemanların seçilmesine temel teşkil eden unsur; modellenecek olan elemanın çatlak içeriyor olmasıdır.

Kırılma mekanığını içine alan problemlerin çözümü çatlak ucuyla temas halinde olan elemanlarda bazı değişikliklerin yapılmasını zorunlu kılmıştır. Böylelikle verilen gerilme dağılımına daha uygun şekil fonksiyonu elde edilebilmektedir. Çatlak ucu civarında kullanılan elemanlara çeyrek nokta düğümlü eleman denir(Şekil 3.6)



Şekil 3.6 Çatı ucu civarında kullanılan çeyrek nokta düğümlü eleman

5. Eleman Rijitlik Matrisi

İzoparametrik elemanlar için eleman rijitlik matrisi, elastik enerji ifadesinden hareketle elde edilebilir. Elastik enerji,

$$U = \int \frac{1}{2} \{\sigma\} \{\varepsilon\} dV \quad (3.31)$$

şeklindedir. Burada elastik enerji bir eleman için yazılırsa

$$U = \sum_e t_e \int \frac{1}{2} \{\sigma\} \{\varepsilon\} dA \quad (3.32)$$

olur. İzoparametrik elemanlarda şekil değiştirme-yer değiştirme ilişkisi (3.6) denklemi ile verilmiştir.

$$\{\varepsilon\} = \begin{Bmatrix} \varepsilon_x \\ \varepsilon_y \\ \varepsilon_{xy} \end{Bmatrix} = \begin{Bmatrix} \frac{\partial u}{\partial x} \\ \frac{\partial v}{\partial y} \\ \frac{\partial u}{\partial y} + \frac{\partial v}{\partial x} \end{Bmatrix} \quad (3.33)$$

3.24 ifadesinde $f=u$ olarak alınırsa,

$$\begin{Bmatrix} \frac{\partial u}{\partial x} \\ \frac{\partial u}{\partial y} \end{Bmatrix} = \frac{1}{\det J} \begin{bmatrix} J_{22} & -J_{12} \\ -J_{21} & J_{11} \end{bmatrix} \begin{Bmatrix} \frac{\partial u}{\partial r} \\ \frac{\partial u}{\partial s} \end{Bmatrix} \quad (3.34)$$

elde edilir. $f=v$ kabul edilirse,

$$\begin{Bmatrix} \frac{\partial v}{\partial x} \\ \frac{\partial v}{\partial y} \end{Bmatrix} = \frac{1}{\det J} \begin{bmatrix} J_{22} & -J_{12} \\ -J_{21} & J_{11} \end{bmatrix} \begin{Bmatrix} \frac{\partial v}{\partial r} \\ \frac{\partial v}{\partial s} \end{Bmatrix} \quad (3.35)$$

olur. Şekil değiştirme-yer değiştirme ilişkisine ait denklemle 3.34 ve 3.35 nolu eşitliklerinden,

$$\{\varepsilon\} = [A] \begin{Bmatrix} \frac{\partial u}{\partial r} \\ \frac{\partial u}{\partial s} \\ \frac{\partial v}{\partial r} \\ \frac{\partial v}{\partial s} \end{Bmatrix} \quad (3.36)$$

yazılır. Burada $[A]$,

$$[A] = \frac{1}{\det J} \begin{bmatrix} J_{22} & -J_{12} & 0 & 0 \\ 0 & 0 & -J_{21} & J_{21} \\ -J_{21} & J_{11} & J_{22} & -J_{12} \end{bmatrix} \quad (3.37)$$

dır. Yer değiştirmelerin şekil fonksiyonları cinsinden yazılışı denklem 3.16 ve 3.17 de gösterilmiştir. Bu denklemlerin yardımı ile

$$\begin{Bmatrix} \frac{\partial u}{\partial r} \\ \frac{\partial u}{\partial s} \\ \frac{\partial v}{\partial r} \\ \frac{\partial v}{\partial s} \end{Bmatrix} = [G]\{q\} \quad (3.38)$$

elde edilir. Yukarıdaki denklemde $[G]$ sekiz düğümlü izoparametrik elemanlar için (4×16) boyutunda şekil değiştirme interpolasyon matrisidir.

$$[G] = \begin{bmatrix} N_{1(r)} & 0 & N_{2(r)} & 0 & N_{3(r)} & 0 & N_{4(r)} & 0 \\ N_{1(s)} & 0 & N_{2(s)} & 0 & N_{3(s)} & 0 & N_{4(s)} & 0 \\ 0 & N_{1(r)} & 0 & N_{2(r)} & 0 & N_{3(r)} & 0 & N_{4(r)} \\ 0 & N_{1(s)} & 0 & N_{2(s)} & 0 & N_{3(s)} & 0 & N_{4(s)} \\ N_{5(r)} & 0 & N_{6(r)} & 0 & N_{7(r)} & 0 & N_{8(r)} & 0 \\ N_{5(s)} & 0 & N_{6(s)} & 0 & N_{7(s)} & 0 & N_{8(s)} & 0 \\ 0 & N_{5(r)} & 0 & N_{6(r)} & 0 & N_{7(r)} & 0 & N_{8(r)} \\ 0 & N_{5(s)} & 0 & N_{6(s)} & 0 & N_{7(s)} & 0 & N_{8(s)} \end{bmatrix} \quad (3.39)$$

Daha önce şekil değiştirme yer değiştirme ilişkisi $\{\varepsilon\} = [B]\{q\}$ olarak verilmişti. $[B]$ matrisi ise yukarıda verilmiş olan A matrisi ile G matrisinin çarpımına eşittir.

$$[B] = [A][G] \quad (3.40)$$

Gerilme ile şekil değiştirme arasında ilişki Hook yasası gereği $\{\sigma\} = [D]\{\varepsilon\}$ şeklindedir.

$$\{\varepsilon\} = [D][B]\{q\} \quad (3.41)$$

de kullanılarak şekil değiştirme enerjisi ifadesi,

$$U = \sum_e \frac{1}{2} \{q\}_e^T \left[t \int_{-1}^1 \int_{-1}^1 [B]^T [D][B] \det J dr ds \right] \{q\} \quad (3.42)$$

şeklinde yazılabilir. Bu da

$$U = \sum_e \frac{1}{2} \{q\}_e^T [k]_e \{q\} \quad (3.43)$$

olup eleman rüjütlik matrisi aşağıdaki gibi elde edilir.

$$[k]_e = t \int_{-1}^1 \int_{-1}^1 [B]^T [D][B] \det J dr ds \quad (3.44)$$

Eleman rüjütlik matrisi sekiz düğümlü izoparametrik elemanlar için (16x16) boyutlarında bir matristir.

II. TEMAS GERİLMELERİ ANALİZİ

A) HERTZ TEORİSİ ve TEMAS GERİLMELERİ

İlk defa 1882 yılında iki elastik cismin teması sonucu meydana gelen gerilmelerin analizi H. Hertz tarafından gerçekleştirilmiştir. Onun ortaya koymuş olduğu teori yıllarca temas mekanığının temellerini oluşturmuştur. Yaptığı çalışmalar ve gözlemler neticesinde ortaya attığı ilk hipotezi temas bölgesindeki basınç dağılımının eliptik şekilli olmasınaydı. Daha sonra yerel deplasmanları hesaplayabilmek için her iki cismindc elastik ve yarıı uzayda olduğunu ve yüzeyine uygulanan yükün eliptik şekilli olması gerektiği varsayımlına gitmiştir. Bu kabullerin ardından temas gerilmesi teorisi ortaya atıldı³⁴.

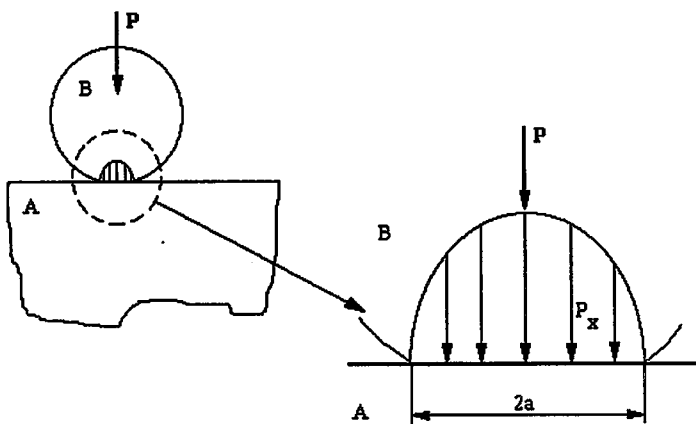
Hertz'in elastik temas teorisi aşağıda sıralanan bir takım kabuller altında ortaya konmuştur³⁵.

- i) Yüzeyler sürekli arzetsmelidir
- ii) Şekil değiştirme çok küçük olmalıdır
- iii) Her iki cisimde elastik ve yarıı uzayda olduğu kabul edilmeli
- iv) Yüzeyler sürtünmesiz olmalıdır.

Hertz'e göre temas bölgesindeki basınçın dağılımı temas bölgesinin merkezinde max değer alırken, temas noktasından uzaklaştıkça bu basınç değeri azalmakta ve tam kenarda sıfır olmaktadır. Şekil 3.7 da bir yüzey üzerindeki hertz basınç dağılımı gösterilmiştir.

³⁴ JOHNSON, a.g.e., s. 90.

³⁵ JOHNSON, a.g.e., s. 91.



Şekil 3.7 Yüzey üzerindeki Hertz basınç dağılımı

Şekil 3.7 da bir silindirin bir düzlem yüzey üzerine yaptığı basınç nedeniyle silindirle düzlem yüzey arasında meydana gelen temas uzunluğu $2a$ olarak kabul edilmektedir. Hertz'in elastik temas teorisine göre temas uzunluğunun yarısı,

$$a = \left(\frac{4PR}{\pi E} \right)^{1/2} \quad (3.45)$$

dir. P uygulanan toplam yük, R silindirin yarıçapı E elastikiyet modülüdür. Hertz teorisinde P yükünün dağılımının eliptik olduğu daha önce ifade edilmiştir. Toplam P yükünün eliptik bir biçimde yüzeye dağılımı için,

$$P(x) = \frac{P_0(a^2 - x^2)^{1/2}}{a} \quad (3.46)$$

eşitliği kullanılmıştır.

P_0 yüzeyde oluşan max temas basıncı, x temas alanının merkezinden uzaklık olmak üzere uygulanan yükün etkisiyle yüzeyde oluşan max basınç,

$$P_0 = \frac{2P}{\pi a} \quad (3.47)$$

şeklinde elde edilir. Kayma işlemi sırasında sürtünmeden dolayı yüzeyde oluşan teğetsel yük,

$$q(x) = \frac{2\mu P(a^2 - x^2)^{1/2}}{a^2 \pi} \quad (3.48)$$

dir. Sürtünme kanununa göre kayma işlemi sırasında normal yükle teğetsel yük arasındaki ilişki,

$$q(x) = \mu p(x) \quad (3.49)$$

olarak kabul edilmiştir. μ malzemenin ve temas bölgesinin ara yüzeyindeki fiziksel şartlara bağlı olarak belirlenen kinetik sürtünme katsayısıdır.

Normal ve teğetsel yüklerin etkisiyle temas yüzeyinde meydana gelen σ_x gerilmesi,

$$\sigma_x = -P_0 \left[\left[1 - \left(\frac{x}{a} \right)^2 \right]^{1/2} + \frac{2\mu x}{a} \right] \quad (3.50)$$

şeklinde hesaplanırken, σ_y gerilmesi,

$$\sigma_y = -2\mu P_0 \left[1 - \left(\frac{x}{a} \right)^2 \right]^{1/2} + \frac{\mu x}{a} \quad (3.51)$$

olmaktadır. ν poison oranı olarak alınmıştır. Yüzeyde meydana gelen τ_{xy} kayma gerilmeleri,

$$\tau_{xy} = \mu P_0 \left[1 - \left(\frac{x}{a} \right)^2 \right]^{1/2} \quad (3.52)$$

dir. Bu çalışmada yüzey altında meydana gelen gerilmelerin analizi hem Von-Mises akma kriterine göre hem de Tresca max kayma kriterine göre yapılmıştır. Von-Mises akma kriteri için asal gerilmeler,

$$\sigma_{1,2} = \frac{1}{2} (\sigma_x + \sigma_y) \pm \frac{1}{2} \sqrt{[(\sigma_x - \sigma_y)^2 + 4\tau_{xy}^2]} \quad (3.53)$$

şeklinde alınmıştır. Tresca max kayma gerilmesi de,

$$\tau_{max} = \frac{1}{2} (\sigma_1 - \sigma_2) \quad (3.54)$$

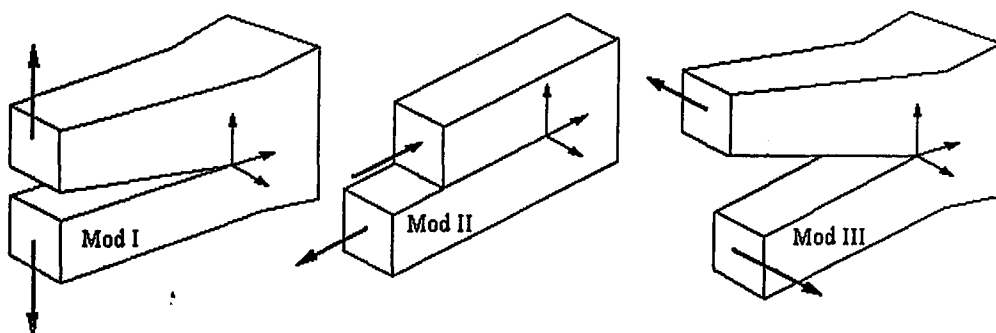
dir.

III. KIRILMA MEKANIĞI ANALİZİ

A) KIRILMA MEKANIĞINE GİRİŞ

Çalışma sıcaklığı, malzeme tokluğu, tasarım, kaynak, artık gerilmeler ve yorulma gibi bir çok faktör makine elemanlarında gevrek kırılmaya neden olabilir. Fakat yapılan çalışmalar göstermiştir ki, makine elemanlarının gevrek kırılmaya olan eğilimini üç önemli faktör etkilemektedir. Bunlar; malzeme tokluğu, çatlak boyu ve gerilme seviyesidir. Kırılma mekanığının temel prensibi; bir makine elemanı içerisinde var olan keskin çatlağın önündeki gerilme bölgesidir ki bu bölge gerilme yığılma faktörü olan K parametresi ile tanımlanabilir. Gerilme yığılma faktörü olarak adlandırılan K parametresi, nominal gerilme seviyesi (σ) ve çatlak boyu (a) ile doğrudan ilişkilidir³⁶.

Kırılma mekaniği iki farklı kategoriye ayrılmaktadır. Bunlar; Lineer Elastik Kırılma Mekaniği (LEFM) ve Elastik –Plastik Kırılma Mekaniği (EPFM) dir. Lineer elastik kırılma mekanığının teorisi günümüze kadar oldukça iyi bir şekilde ortaya konmuş ve elastik-plastik kırılma mekanığının temellerini teşkil etmiştir. Lineer elastik kırılma mekanığının temel amacı; çatlak veya çatlağa benzeyen süreksizlikler civarındaki gerilme durumu ile elemana uygulanan ortalama gerilme, çatlak büyülüğu, çatlağın geometrik durumu ve malzeme özellikleri arasında analitik bir ilişki kurulmasıdır.



Şekil 3.8 Çatlak yüzey hareketinin üç temel şekli

³⁶ Süleyman TAŞGETİRİN, "Thermomechanical Analysis of Bimaterials With an Interfacial Crack" Ph. D. Thesis, Dokuz Eylül Üniversitesi, İzmir(1997)

Elastik bir cisim içerisindeki var olan çatlağın gerilme analizini yapabilmek için çatlak yüzeylerinin birbirine göre hareketlerini içine alan üç farklı kırılma modu geliştirilmiştir (şekil 3.8).

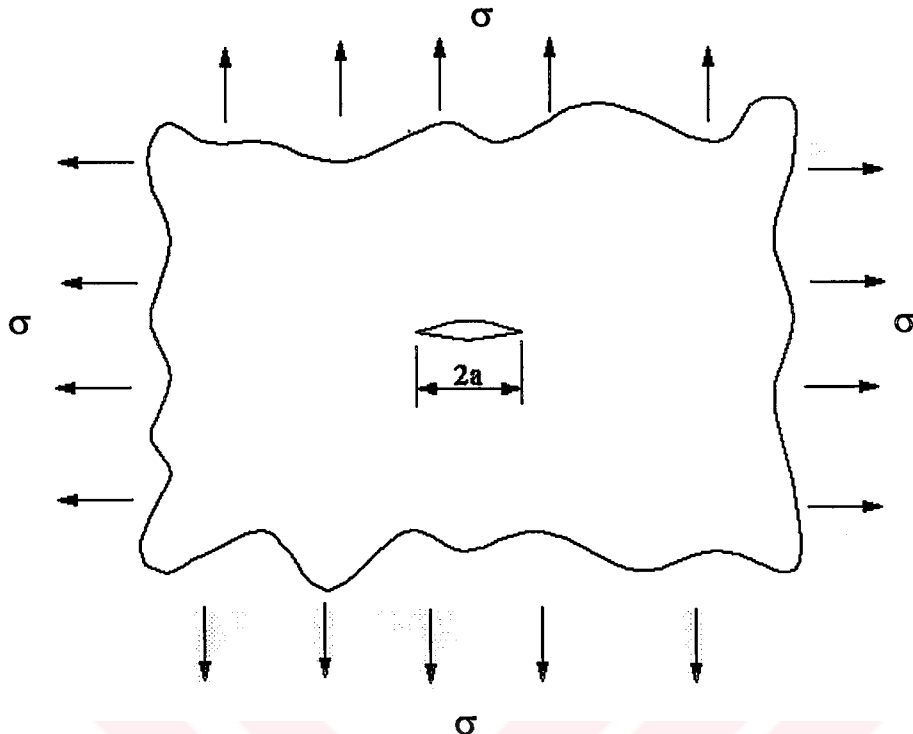
Mod I de deplasmanlar $x-y$ ve $x-z$ düzlemlerine göre simetrik olup açılma modu olarak adlandırılır. Çatlağın karşılıklı yüzeyleri birbirine ters yönde hareket ederler. Kayma modu olarak Mod II de ise deplasmanlar $z-y$ düzlemine göre simetrik, $x-z$ düzlemine göre ise vidasimetrisine sahiptir. Yüzeyler ters yönde yanlara doğru birbiri üzerinde kayarak hareket ederler. Mod III yırtılma modu olup her iki düzleme göre vidasimetrisine sahiptir. Yüzeyler çatlak ucu çizgisine paralel olarak hareket ederler. Her çatlak modu farklı bir gerilme alanına karşılık gelmektedir. Eleman üzerinde çatlak modları tek tek yada bu modların bir kombinasyonu olarak bulunurlar.

1. Çatlak Civarında Gerilme Dağılımı

Lineer elastik kırılma mekanlığında Griffith'in ortaya koyduğu teori, gerilmeye maruz kalan elastik bir plaka içerisinde çatlak bulunduğu taktirde, plakanın bu çatlaktan dolayı yüzey enerjisinin artmasıyla potansiyel enerjisinin azalması arasında dengeli bir ilişki olması gerektiğini ortaya koymustur³⁷. Fakat Griffith teorisi sisteme enerjiyi baz alması nedeniyle çatlak ucu civarındaki gerilmelerin dağılımı için esnek değildir. Buna alternatif olarak Irwin tarafından ortaya atılan teori daha uygundur. Irwin'in kullandığı model Griffith'in kullandığı modele benzemektedir³⁸. Yalnız Irwin'in teorisinde uygulanan yükler çift eksenlidir (şekil 3.9).

³⁷ Richard W. HERTZBERG *Deformation and Fracture Mechanics of Engineering Materials*, (U.S.A, 1976), s. 255.

³⁸ E. J. HEARN, *Mechanics of Materials*, (Pergamon Press, England, 1985), s. 873.



Şekil 3.9 Irwin'in çatlak ucundaki gerilmeleri belirlemek için kullandığı model

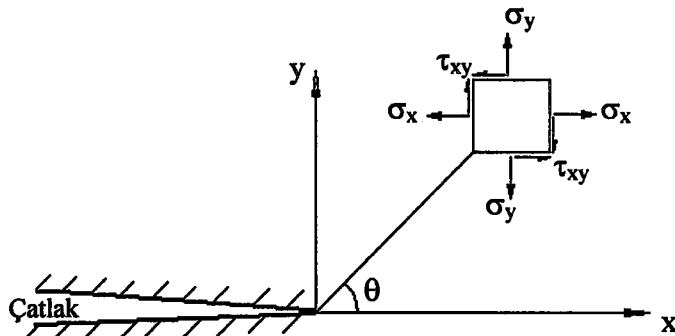
Irwin'in teorisine göre Şekil 3.10 da gösterilen çatlak ucu civarında eleman üzerinde meydana gelen gerilme bileşenleri,

$$\sigma_x = \frac{K}{\sqrt{2\pi r}} \cos \frac{\theta}{2} \left[1 - \sin \frac{\theta}{2} \sin \frac{3\theta}{2} \right] \quad (3.55)$$

$$\sigma_y = \frac{K}{\sqrt{2\pi r}} \cos \frac{\theta}{2} \left[1 + \sin \frac{\theta}{2} \sin \frac{3\theta}{2} \right] \quad (3.56)$$

$$\tau_{xy} = \frac{K}{\sqrt{2\pi r}} \left[\sin \frac{\theta}{2} \cos \frac{\theta}{2} \cos \frac{3\theta}{2} \right] \quad (3.57)$$

şeklindedir.



Şekil 3.10 Irwin'in analizde kullandığı gerilme bileşenleri için koordinat sistemi

2. *J* İntegralinin Hesabı

Çatlak ucunda büyük plastik bölge oluşumundan dolayı kırılma tokluğunun ölçülmesi oldukça zordur. Bu problemi yenme amacıyla *J* integrali metodu geliştirilmiştir³⁹.

İlk defa Rice tarafından ortaya konulan *J* integrali elasto-plastik bölge aralığında kırılma mekanığının temelini teşkil eder. Buna göre bütün özellikleri aynı fakat çatlak boyalarında küçük bir farklılık bulunan iki elemanın enerjileri arasındaki fark çatlak büyümesi için bir karşılaştırma parametresi olarak kullanılabilir⁴⁰.

J integrali nonlineer elastik bir malzeme için iki boyutlu şekil değiştirme alanında çizgisel bir integral olarak,

$$J = \int_{\Gamma} W dy - n_i \sigma_{ij} \frac{\partial u_i}{\partial x} ds \quad (3.58)$$

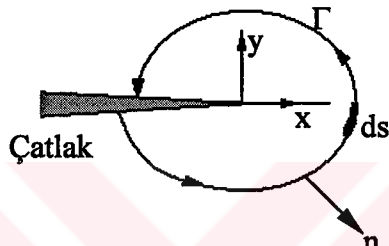
³⁹ Tevfik AKSOY, *Kırılma Mekanığı* (Dokuz Eylül Üniversitesi, Müh. Mim. Fakültesi Makine Mühendisliği, İzmir, 1984), s. 48.

⁴⁰ TOPÇU, TAŞGETİREN, a.g.e., s. 11-23

şeklinde tanımlanmaktadır. Burada Γ çatlağın alt yüzeyinden başlayıp üst yüzeyinde tamamlanan herhangi bir eğriyi göstermektedir. Şekil 3.11 da gösterildiği gibi n bu eğrinin normalinin birim vektörüdür. W ise şekil değiştirme enerjisi olup,

$$W = \int_0^{\epsilon} \sigma_{ij} d\varepsilon_{ij} \quad (3.59)$$

şeklindedir. u deplasmanları, ds de eğri üzerindeki bir diferansiyel elemanı göstermektedir.



Şekil 3.11 J integral hesabı için kullanılan tipik eğri

J integrali, benzer sınır koşullarına ve arttırlılmış farklı çatlak boyalarına sahip iki malzemenin arasındaki potansiyel enerji farkı olarak hesaplanır⁴¹. J integrali, sonlu elemanların kullanımında sayısal değerlendirme için oldukça uygun bir yöntemdir. Ayrıca nonlinear malzeme davranışları ve elasto-plastik kırılma mekanığı uygulamaları için de uygundur.

Bir sistemdeki toplam potansiyel enerji, matris formunda

$$\Pi_p = \frac{1}{2} \{u\}^T [K] \{u\} - \{u\}^T \{F\} \quad (3.60)$$

şeklinde yazılabilir.

⁴¹ TAŞGETİREN, a.g.e. s. 23

$\{u\}$ ve $\{u\}^T$ düğüm deplasman vektörü ve onun transpozu, $\{F\}$ düğümlere uygulanan kuvvet vektörü ve $[K]$ ise eleman rijitlik matrisidir. Düğüm deplasman $\{u\}$ değerleri için sonlu eleman denklemi,

$$\frac{\partial \Pi_p}{\partial \{u\}} = [K]\{q\} - \{F\} = 0 \quad (3.61)$$

şeklinde hesaplanır.

a boyundaki bir çatlak için potansiyel enerji salıverme oranı,

$$G = \frac{\partial \Pi_p}{\partial a} \quad (3.62)$$

G potansiyel enerji salıverme oranıdır ve lineer elastik durumunda J 'ye eşittir. 3.60 ta verilen potansiyel enerji ifadesinin türevi alınırsa,

$$J = -\frac{\partial \Pi_p}{\partial a} = -\frac{1}{2} \{u\}^T \frac{\partial [K]}{\partial a} \{u\} + \{u\}^T \frac{\partial \{F\}}{\partial a} - \frac{\partial \{u\}^T}{\partial a} [K]\{u\} - \{F\} \quad (3.63)$$

elde edilir. 3.61 te verilen eşitlikle birleştirildiğinde,

$$J = \frac{1}{2} \{u\}^T \frac{\partial [K]}{\partial a} \{u\} + \{u\}^T \frac{\partial \{F\}}{\partial a} \quad (3.64)$$

olur. Denklem 3.64 teki türevler sonlu farklar yöntemi ile ifade edildiğinde,

$$\frac{\partial [K]}{\partial a} = \frac{1}{\Delta a} ([K]_{a+\Delta a} - [K]_a) \quad (3.65)$$

Δa çatlak ucundaki küçük artış, $[K]_a$ ve $[K]_{a+\Delta a}$ ise a ve Δa boyalarındaki çatlaklar için eleman rijitlik matrisidir.

Genel olarak Virtüel Çatlak ilerlemesi olarak adlandırılan bu yöntem sonlu elemanlarla J integrali hesabı için oldukça basit bir yol ortaya koymaktadır. Metod şu şekilde uygulanmaktadır; öncelikle çatlaklı yapı deplasmanları $\{q\}$ elde edecek şekilde klasik yoldan çözülmekte, daha sonra çatlak boyuna küçük bir artım verilerek yeni bir çözüm elde edilmektedir. Çatlak ucuna karşılık gelen düğüm koordinatları çatlak boyunda küçük artışa sebeb olacak şekilde ilerletilmektedir. Bu durumda rijitliği değişen elemanlar yalnızca bu düğüme sahip olan elemanlar olmaktadır.

3. Gerilme Yığılma Faktörü (K_I , K_{II}) Hesabı

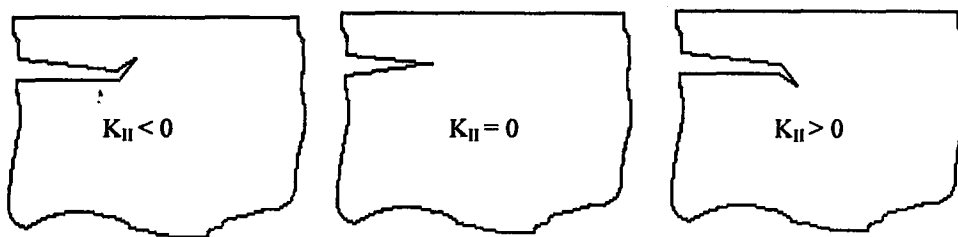
Şekil 3.10 da çatlak ucundaki bir elemanda meydana gelen gerilme bileşenleri verilmiştir. Bu gerilme bileşenlerinin hesaplanması 3.55, 3.56 ve 3.57 nolu eşitliklere bağlı olarak yapılmakta olduğu daha önce de belirtildi. Verilen bu eşitliklerin önemli bir özelliği de çatlak etrafındaki gerilme dağılımı sadece r ve θ ya bağlı olmasıdır. Çatlaklı bir elemanın diğer çatlaksız elemana göre farklı gerilme alanındaki K olarak adlandırılan gerilme yığılma faktöründe yatomaktadır⁴².

Gerilme yığılma faktörü genellikle çatlak uzunluğunun ve gerilmenin bir fonksiyonu olarak ifade edilir. Şekil 3.8 de verilen farklı kırılma modları için farklı gerilme yığılma faktörleri baz alınmış ve kırılma modunda olduğu gibi K_I , K_{II} ve K_{III} şeklinde numaralandırılmıştır.

Dally, ve Chen,⁴³ nin yapmış oldukları çalışma sonucunda yüzey altında bulunan çatlaklar, kayma modu olan K_{II} gerilme yığılma faktörüne bağlı olarak üç farklı şekilde yayılırlar (Şekil 3.12)

⁴² AKSOY, a.g.e., s. 48.

⁴³ DALLY, CHEN, JAHANMIR, a.g.e. s. 106

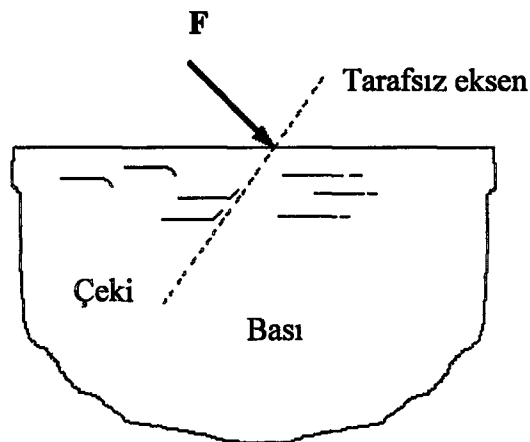


Şekil 3.12 K_{II} gerilme yiğilma faktörünün çatlak yayılımı üzerine etkisi

Erdoğan ve Sih⁴⁴ ortaya koydukları çalışmada malzeme içerisinde bulunan bir çatlak sadece K_I gerilme yiğilma faktörüne maruz kaldığında, çatlak kendi düzleminde büyümeye çalıştığını ileri sürmüşlerdir. K_{II} gerilme yiğilma modu için ise şekil 3.12 de görüldüğü gibi K_{II} pozitif değer alırsa çatlak yüzeyden uzaklaşarak büyümeye çalışırken, K_{II} nin negatif değer alması çatlağın yüzeye doğru büyümeye çalıştığını ortaya koymaktadır. K_{II} nin sıfıra eşit olduğu durumlarda ise çatlak kendi doğrultusunda bir yayılma eğilimi göstermektedir.

Yüzeye uygulanan yükün neticesinde yüzeyin altında bulunan çatlağın konumu, yayılması açısından çok önemlidir. Eğer çatlak veya çatlaklar, çeki bölgesinde yer alıyorsa yüzeyden uzaklaşarak büyümeye çalışmaktadır. Fakat çatlak ucu, şekil 3.13 de gösterildiği gibi tarafsız eksene çok yakınsa böyle bir durumda çatlak yüzeye doğru büyümeye eğilimi gösterecektir. Eğer çatlak veya çatlaklar, bası bölgesinde yer alıyorsa K_I modu negatif olduğu için çatlak açılma modıyla büyümeye eğilimi göstermeyecektir. Fakat kayma modu ile yüzeye paralel olarak büyüyebilir.

⁴⁴ ERDOĞAN, SIH, a.g.e., s. 519-520.



Şekil 3.13 Bir yüzey altı çatlağı için çatlak yönlenmesinin şematik ifadesi

Gerilme yiğilma faktörünün hesaplanması genellikle iki farklı yöntem kullanılmaktadır. Bunlar; çatlak ucunda meydana gelen gerilmelerden yola çıkılarak gerilme yiğilma faktörlerinin hesaplanması. Diğer ise çatlak yüzeyindeki deplasmanlardan faydalananlarak gerilme yiğilma faktörlerinin hesaplanmasıdır. İkinci yöntem en çok kullanılan ve daha doğru sonuçların elde edildiği bir yöntemdir. Birinci yönteme göre K_I ve K_{II} gerilme yiğilma faktörlerinin çatlak ucunda meydana gelen gerilmelere bağlı olarak ifadesi,

$$\sigma_x = \frac{K_I}{\sqrt{2\pi r}} \cos \frac{\theta}{2} \left(1 - \sin \frac{\theta}{2} \sin \frac{3\theta}{2} \right) - \frac{K_{II}}{\sqrt{2\pi r}} \sin \frac{\theta}{2} \left(2 + \cos \frac{\theta}{2} \cos \frac{3\theta}{2} \right) \quad (3.66)$$

$$\sigma_y = \frac{K_I}{\sqrt{2\pi r}} \cos \frac{\theta}{2} \left(1 + \sin \frac{\theta}{2} \sin \frac{3\theta}{2} \right) + \frac{K_{II}}{\sqrt{2\pi r}} \sin \frac{\theta}{2} \cos \frac{\theta}{2} \cos \frac{3\theta}{2} \quad (3.67)$$

$$\tau_{xy} = \frac{K_I}{\sqrt{2\pi r}} \sin \frac{\theta}{2} \cos \frac{\theta}{2} \cos \frac{3\theta}{2} + \frac{K_{II}}{\sqrt{2\pi r}} \cos \frac{\theta}{2} \left(1 - \sin \frac{\theta}{2} \sin \frac{3\theta}{2} \right) \quad (3.68)$$

şeklinde yazılabilir.

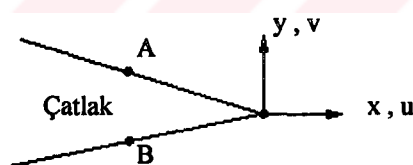
Çatlak yüzeyindeki deplasmanlardan yola çıkılarak K_I ve K_{II} gerilme yığılma faktörü ifadesi,

$$u = \frac{K_I \sqrt{2\pi r}}{8\pi G} \left[(2T - 1) \cos \frac{\theta}{2} - \cos \frac{3\theta}{2} \right] + \frac{K_{II} \sqrt{2\pi r}}{8\pi G} \left[(2T + 3) \sin \frac{\theta}{2} + \sin \frac{3\theta}{2} \right] \quad (3.69)$$

$$v = \frac{K_I \sqrt{2\pi r}}{8\pi G} \left[(2T + 1) \sin \frac{\theta}{2} - \sin \frac{3\theta}{2} \right] - \frac{K_{II} \sqrt{2\pi r}}{8\pi G} \left[(2T - 3) \cos \frac{\theta}{2} + \cos \frac{3\theta}{2} \right] \quad (3.70)$$

şeklinde yazılabilir.

Denklemde G kayma modülü T düzlem gerilme için $3-v/1+v$, düzlem şekil değiştirme için ise $3-4v$ alınmaktadır. u ve v şekil 3.14 te gösterildiği gibi çatlak yüzeyindeki düğüm deplasmanlarıdır.



Şekil 3.14 Çatlak ucundaki lokal koordinatlar

A ve B çatlak yüzeyinde ve çatlak ucuna en yakın düğümleri temsil ederken, v ; y eksenindeki deplasmanlara u ; x yönündeki deplasmanlara karşılık gelmektedir.

Denklem 3.69 ve 3.70'i yeniden düzenlediğimizde,

$$K_I = \frac{2\pi G \Delta v}{\sqrt{2\pi r} T} \quad (3.71)$$

$$K_{II} = \frac{2\pi G \Delta u}{\sqrt{2\pi r} (1 + T)} \quad (3.72)$$

şeklinde elde edilebilir. r ; A ve B düğüm noktalarının çatlak ucundan olan uzaklığdır. Bu uzaklık çatlak ucunda kullanılan eleman boyutlarına bağlı olarak değişebilmektedir. Δu ve Δv ise A ve B düğümlerindeki x ve y yönündeki deplasman farklarıdır.

DÖRDÜNCÜ BÖLÜM

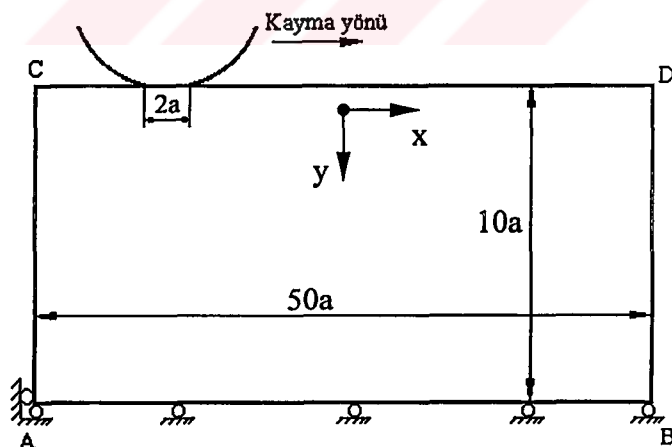
I. SONUÇLAR ve DEĞERLENDİRME

A) GİRİŞ

Bu çalışma iki temel kısmı ihtiva etmektedir. Bunlar Sonlu Elemanlar Analizi ve Elastik Temas Teorisidir. Sonlu elemanlar analiz tekniği kullanılarak, iki elastik yüzeyin teması sonucunda yüzey altında meydana gelen gerilmelerin analizi gerçekleştirilmiştir. Ayrıca yüzey altında var kabul edilen çatlak için J , K_I ve K_{II} hesabı yapılarak çatlağın hangi yöne doğru büyümeye eğilimi gösterdiği araştırılmıştır.

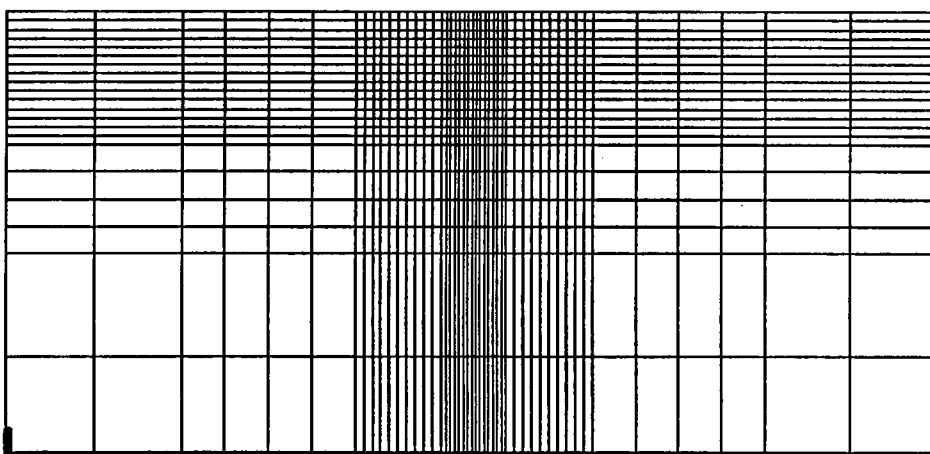
1. Sonlu Eleman Modelinin Oluşturulması

Problemin çözümü için oluşturulan sonlu eleman modeli için değişken olarak yükün konumu, çatlağın boyu ve yüzeydeki sürtünme katsayısı alınmıştır. Ayrıca modelin oluşturulmasında kullanılan plaka boyutları şekil 4.1 de verilmiştir.



Şekil 4.1 Modelin oluşturulmasında kullanılan plaka ve kayan cismin boyutları

Plaka AB noktaları arasında y ekseninde tutulmuş kabul edilirken, A noktasında ise hem x hemde y eksenlerinde tutulmuş olduğu kabul edilmiştir. Bu kabuller. ışığında oluşturulan sonlu eleman modeli şekil 4.2 de verilmiştir.

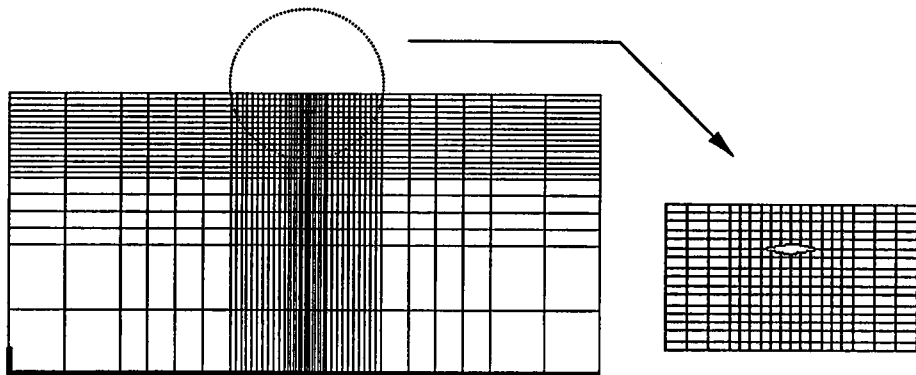


Şekil 4.2 Plakanın sonlu eleman modeli

Modelin oluşturulması esnasında daha doğru bir çözümün elde edilebilmesi için çatlağın bulunduğu bölge daha küçük elemanlara bölünmüştür.

Sonlu elemanlar modelinin temel özellikleri ve sınır şartları değiştirilmeden farklı çatlak boyları için farklı modeller oluşturulmuştur. Model toplam 3102 düğüm ve 987 elemandan oluşmaktadır.

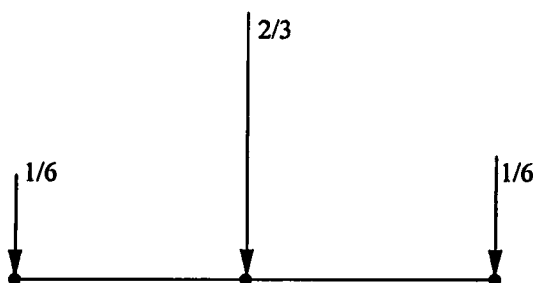
Bu çalışmada seçilen çatlak boyları plaka üzerinde kayan cismin 2a genişliğiyle boyutsuzlaştırılmıştır. Çatlak boyu L olarak kabul edilmiş ve problemin çözümünde ele alınan çatlak boyları $L/a = 0.5, 1, 1.5$ ve 2 olarak alınmıştır. Çatlağın yüzeyden derinliği değiştirilmemiş ve max kayma gerilmelerinin meydana geldiği $0.78a$ derinliğinde alınmıştır. Şekil 4.3 te $L/a=1$ için çatlağın şekli ve çatlak civarındaki eleman dağılımı verilmiştir.



Şekil 4.3 $L/a = 1$ için plakanın yüzeyi altında bulunan elips biçimli çatlak

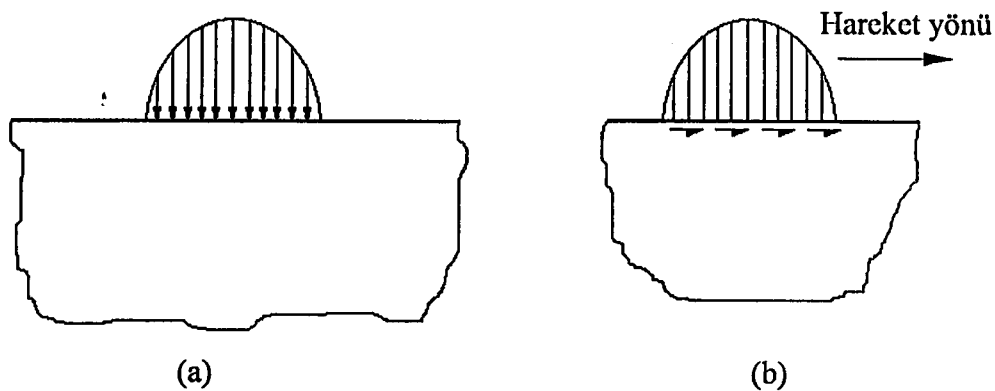
Daha önceki bölümlerde de ifade edildiği gibi kayma esnasında yüzeylerde normal ve teğetsel yükler meydana gelir. Problemin çözümünde tek tip yük uygulamasına gidilmiş farklı yükler için çözüm yapılmamıştır. Temas yüzeyinde istenilen temas uzunluğunun '(2a) elde edilebilmesi için uygulanacak olan toplam yük Hertz teorisine göre denklem 3.45 ve 3.47'ye bağlı olarak hesaplanmıştır. Buna göre temas bölgesinde meydana gelen max basınç değeri 2400N/mm^2 olarak elde edilmiştir.

Sonlu eleman modeli oluşturulan plaka üzerine etkiyen normal ve teğetsel yüklerin dağılımı şekil 4.5 da verilmiştir. Her elemana etkiyen toplam normal ve teğetsel yükün 3.46 ve 3.48 de verilen eşitliklerden faydalanılarak dağıtıımı yapılmıştır. Ayrıca kullanılan eleman tipinin 8 düğümlü izoparametrik eleman olması nedeniyle tek bir eleman üzerine etkiyen kuvvetin dağılım şekli ise şekil 4.4 te verilmiştir.



Şekil 4.4 Eleman üzerine etkiyen toplam kuvvetin dağılım şekli

Teğetsel kuvvetlerin büyüklükleri Hertz teorisine göre normal kuvvetle teğetsel kuvvet arasındaki ilişki göz önüne alınarak belirlenmiş ve farklı sürtünme katsayıları için farklı teğetsel kuvvetler alınmıştır.

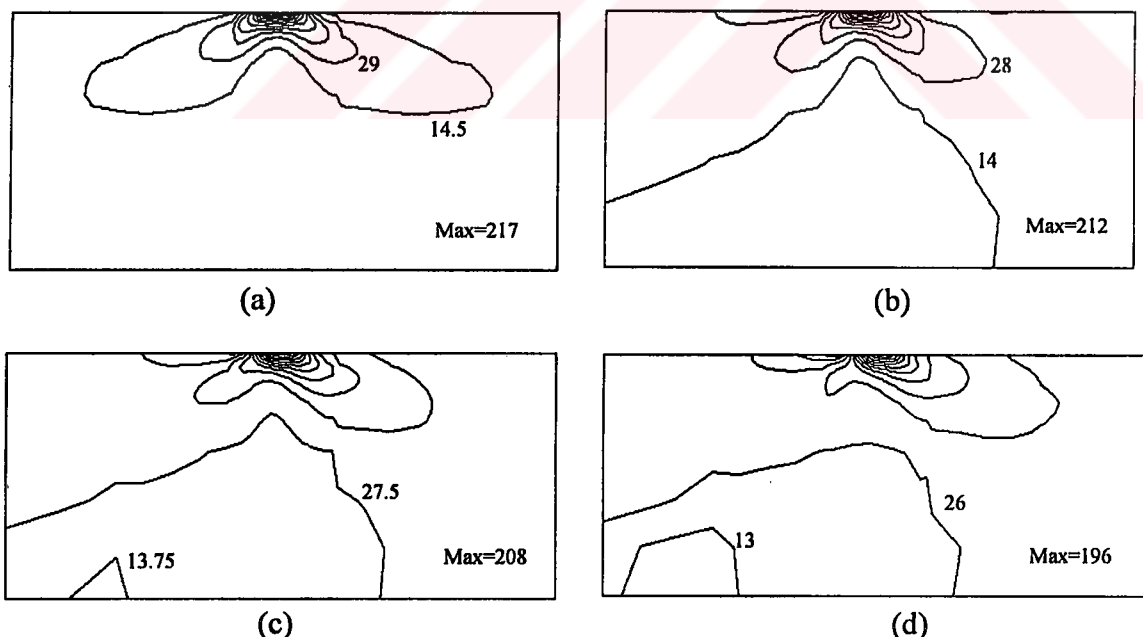


Şekil 4.5 Plaka üzerine etkiyen a) normal yük dağılımı, b) teğetsel yük dağılımı

B) GERİLME ANALİZİ SONUÇLARI

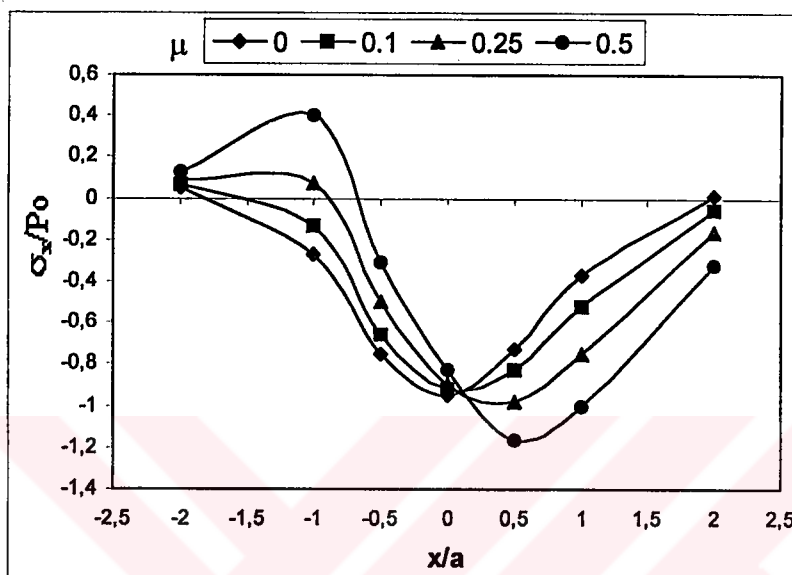
Yüzeye etkiyen normal ve teğetsel yüklerin bir sonucu olarak yüzey altında meydana gelen σ_x , σ_y ve τ_{xy} gerilme değerleri elde edilmiştir. Ayrıca yine bu yüklerin bir sonucu olarak meydana gelen gerilme değerleri Von-mises ve Tresca akma kriterine göre de araştırılmıştır.

Analiz sonucunda plakada meydana gelen σ_x gerilmelerinin sürtünme katsayılarına bağlı olarak dağılımı şekil 4.6 de verilmiştir.



Şekil 4.6 σ_x gerilmelerinin sürtünme katsayısına bağlı olarak dağılımı
(a) $\mu=0$, (b) $\mu=0.1$, (c) $\mu=0.25$, (d) $\mu=0.5$

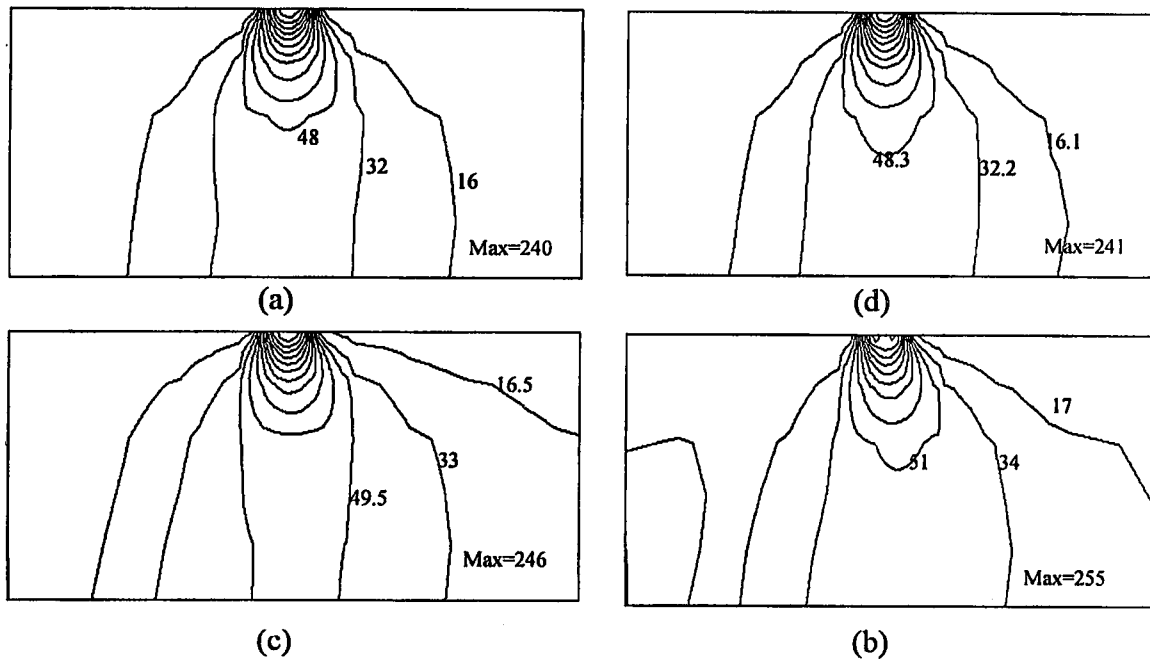
Yüzeydeki sürtünme katsayısının artmasıyla birlikte σ_x gerilmeleri de oldukça değişmekte. Şekil 4.6 de verilen a, b, c ve d durumları için gerilme eğrilerinin her bir çizgisi sırasıyla 14.5, 14, 13.75 ve 13 N/mm² lik gerilme değerlerine karşılık gelmektedir. Şekil 4.7 de σ_x gerilmesinin yüzeyde ($y = 0$) x ekseni boyunca değişimi sürtünme katsayısına bağlı olarak verilmiştir.



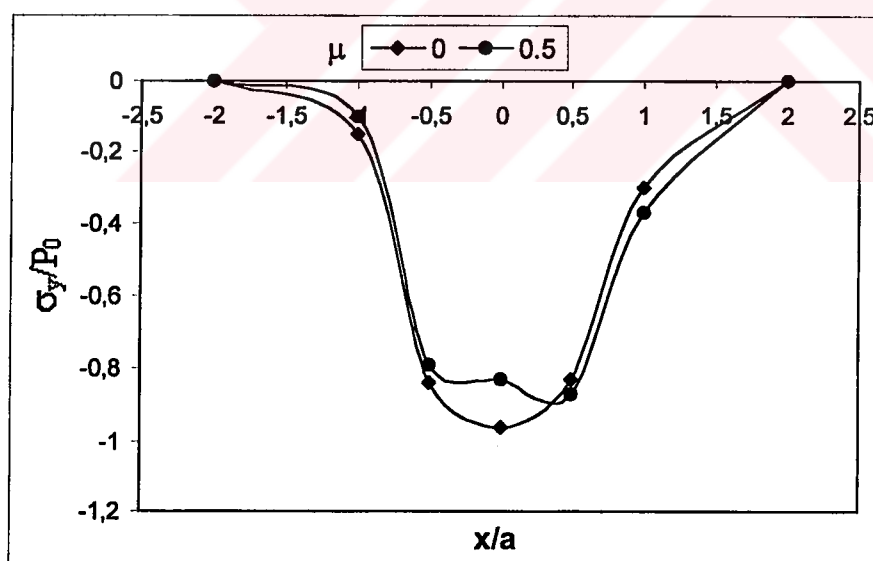
Şekil 4.7 σ_x gerilmelerinin sürtünme katsayısına bağlı olarak x ekseni boyunca değişimi

Gördüğümüzde sürtünmesiz yüzeylerde $\max \sigma_x$ gerilmeleri temas noktası merkezinde ($x/a = 0$) meydana gelmektedir. Yüzeydeki sürtünme katsayısı artırıldığında $\max \sigma_x$ gerilmeleri temas noktası merkezinin sağına kaymaktadır yani bir anlamda plaka üzerinde kayan cismin önünde kalmaktadır. Bu da yüzeye etkiyen teğetsel kuvvetin etkisiyle kayan cismin gerisinden temas noktasının merkezine ($x/a = 0$) kadar meydana gelen gerilmeler çeki gerilmeleri şeklini alırlar, temas noktasının merkezinden kayan cismin önüne kadar bası gerilmeleri şeklini almaktadır.

Hatırlanacağı üzere ilk bölümde şekil 1.4 te ifade edilmek istenen unsur; kayan cismin gerisinde ve yüzey altında çeki gerilmeleri oluşurken kayan cismin önünde ise bası gerilmelerinin baskın olduğu idi. Böylelikle yapılan analizle de bu doğrulanmış olmaktadır.



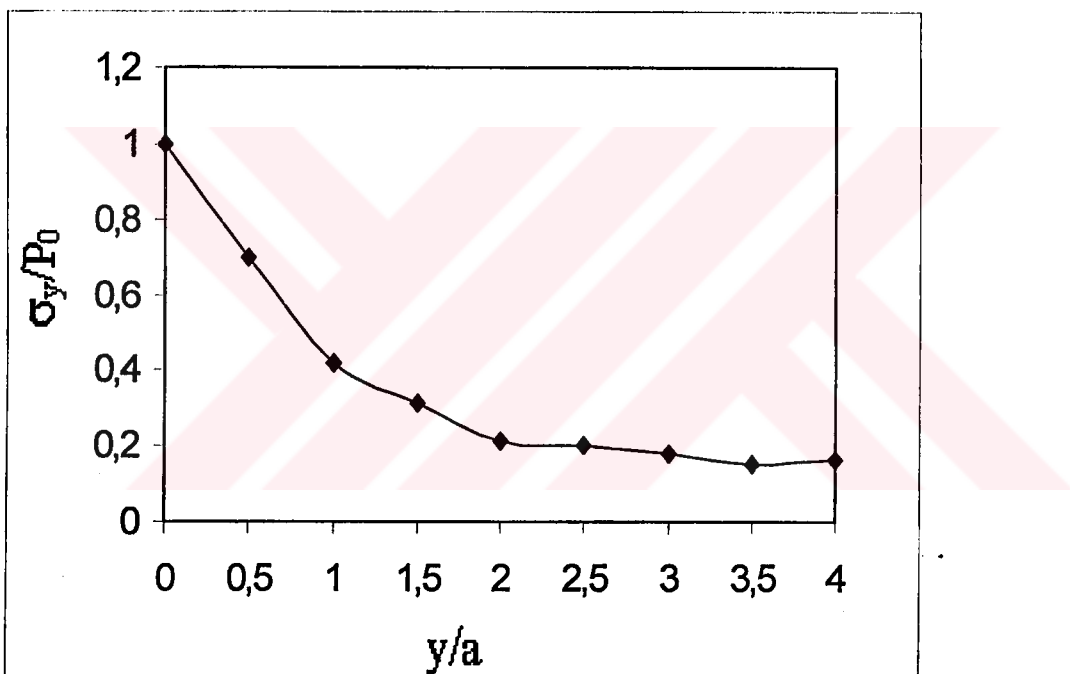
Şekil 4.8 σ_y gerilmelerinin sürtünme katsayısına bağlı olarak dağılımı (a) $\mu=0$, (b) $\mu=0.1$, (c) $\mu=0.25$, (d) $\mu=0.5$



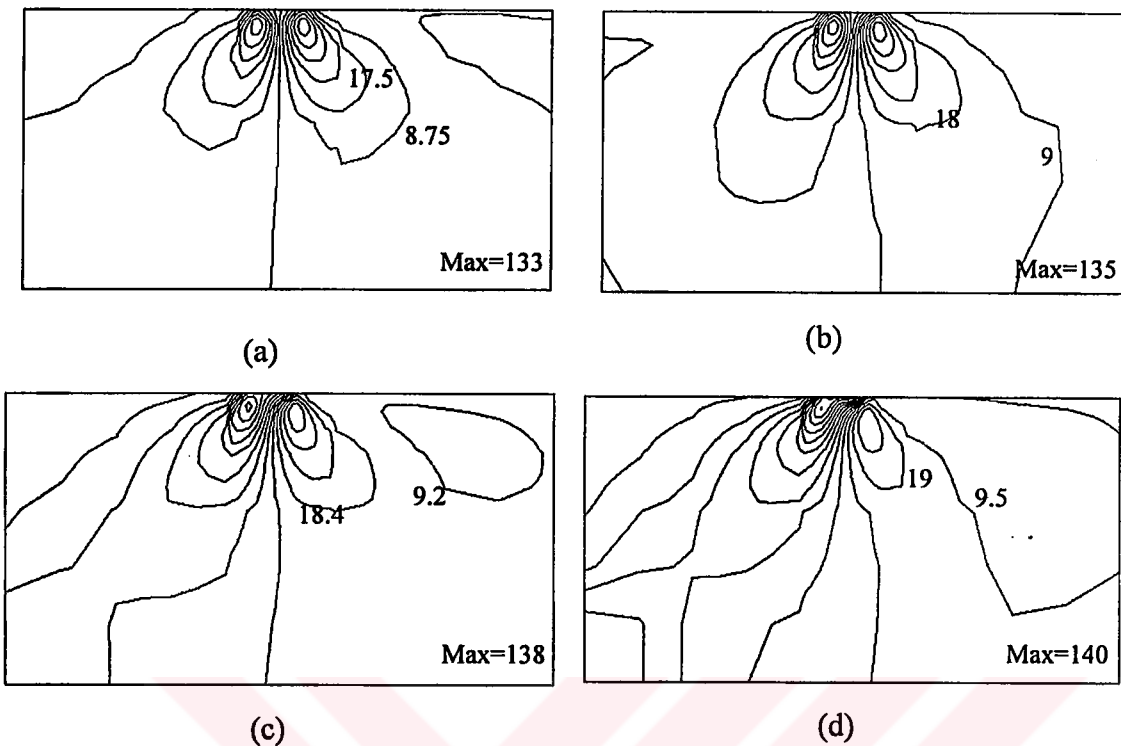
Şekil 4.9 σ_y gerilmelerinin yüzeyde ($y = 0$) sürtünme katsayısına bağlı olarak x ekseni boyunca değişimi

Yapılan analizler sonucunda σ_y gerilmeleri sürtünme katsayısının artmasıyla büyük bir değişiklik göstermemektedir. Şekil 4.9 da yüzeyde meydana gelen σ_y gerilmeleri için $\mu = 0$ ve $\mu = 0.5$ sürtünme değerlerinde x ekseni boyunca değişimini verilmiştir. Yüzeyde oluşan max gerilme değeri sürtünmesiz temas noktasındaki $\max P_0$ basıncı ile aynı değeri almaktadır. Buna karşın sürtünme değeri arttıkça temas noktasının merkezindeki σ_y gerilmeleri $\max P_0$ basınç değerinin altına düşmektedir.

σ_y gerilmeleri yüzeyde max değere ulaşırken, yüzeyden derinlere inildikçe bu değer azalma göstermektedir (şekil 4.10).



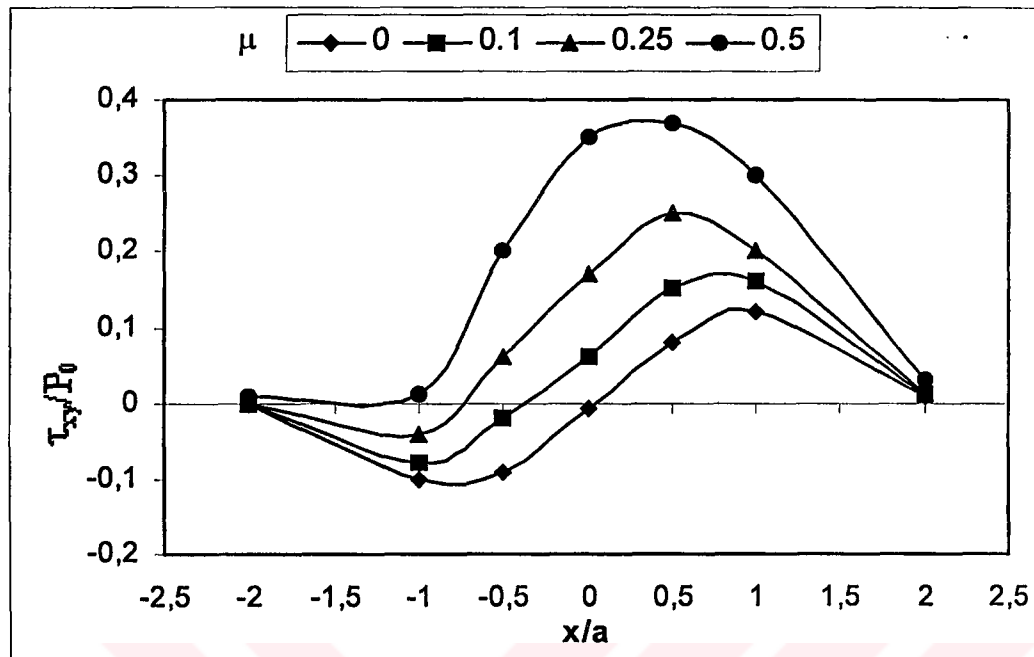
Şekil 4.10 σ_y gerilmelerinin y ekseni boyunca değişimi



Şekil 4.11 τ_{xy} kayma gerilmelerinin sürtünme katsayısına bağlı olarak dağılımı (a) $\mu=0$, (b) $\mu=0.1$, (c) $\mu=0.25$, (d) $\mu=0.5$

Gerilme dağılımında a, b, c ve d sürtünme durumları için sırasıyla her bir çizgi 8.75N/mm^2 , 9N/mm^2 , 9.2N/mm^2 ve 9.5N/mm^2 ye karşılık gelmektedir.

Yüzeydeki sürtünme katsayılarının arttırılması τ_{xy} kayma gerilmelerinin de artmasına zemin teşkil etmektedir. Şekil 4.12 te de yüzeyde meydana gelen τ_{xy} kayma gerilmelerinin sürtünmeye bağlı olarak x ekseni boyunca değişimi verilmiştir.

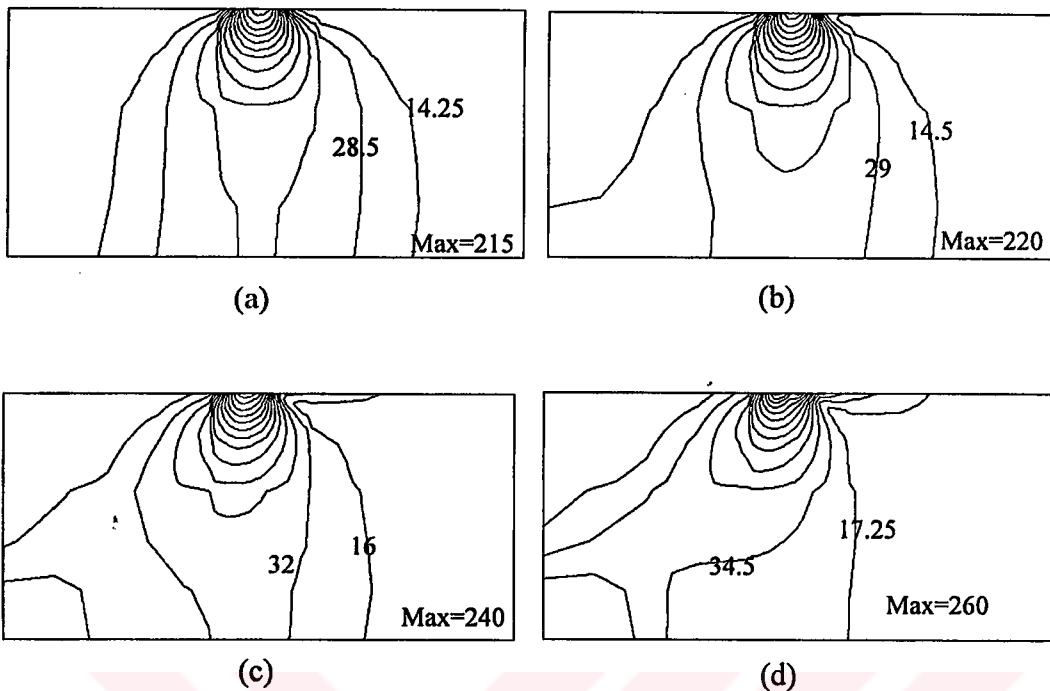


Şekil 4.12 Yüzeyde meydana gelen τ_{xy} gerilmelerinin temas noktasının merkezinde sürtünmeye bağlı olarak değişim

Göründüğü gibi sürtünme değeri sıfır için kayma gerilmeleri kayan elemanın gerisinde ($x/a = -1$) ve önünde ($x/a = 1$) aynı değerlere sahipler. Fakat sürtünme katsayısının artmasıyla birlikte $\max \tau_{xy}$ gerilmesi değerleri $+x/a$ bölgесine doğru kaymaktadır.

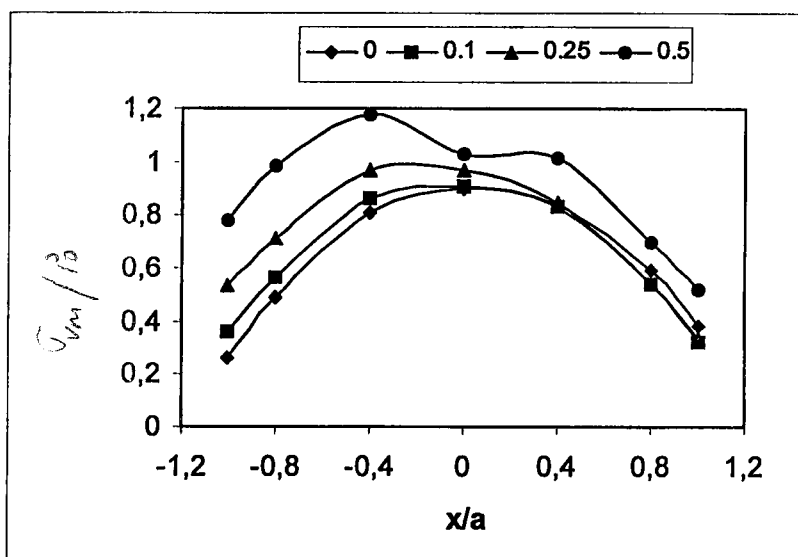
1. Von-Mises akma kriterine göre gerilme analizi

Kayma işlemi sırasında meydana gelen gerilmeler Von-mises akma kriterine göre araştırılmış ve yüzeyde meydana gelen gerilme eğrilerinin sürtünme değerindeki değişmeye göre dağılımı şekil 4.13 te verilmiştir.



Şekil 4.13 Farklı sürtünme değerleri için Von-mises eşgerilme eğrilerinin dağılımı
 (a) $\mu = 0$, (b) $\mu = 0.1$, (c) $\mu = 0.25$, (d) $\mu = 0.5$

Göründüğü üzere sürtünme değeri büyündükçe gerilme eğrileri kayma yönünün tersine yönlenmekteler. Oluşan gerilme değerleri özellikle 0.5 sürtünme değeri için oldukça büyümekte ve uygulanan max basınç değerinin 1.2 katına kadar çıkmaktadır.

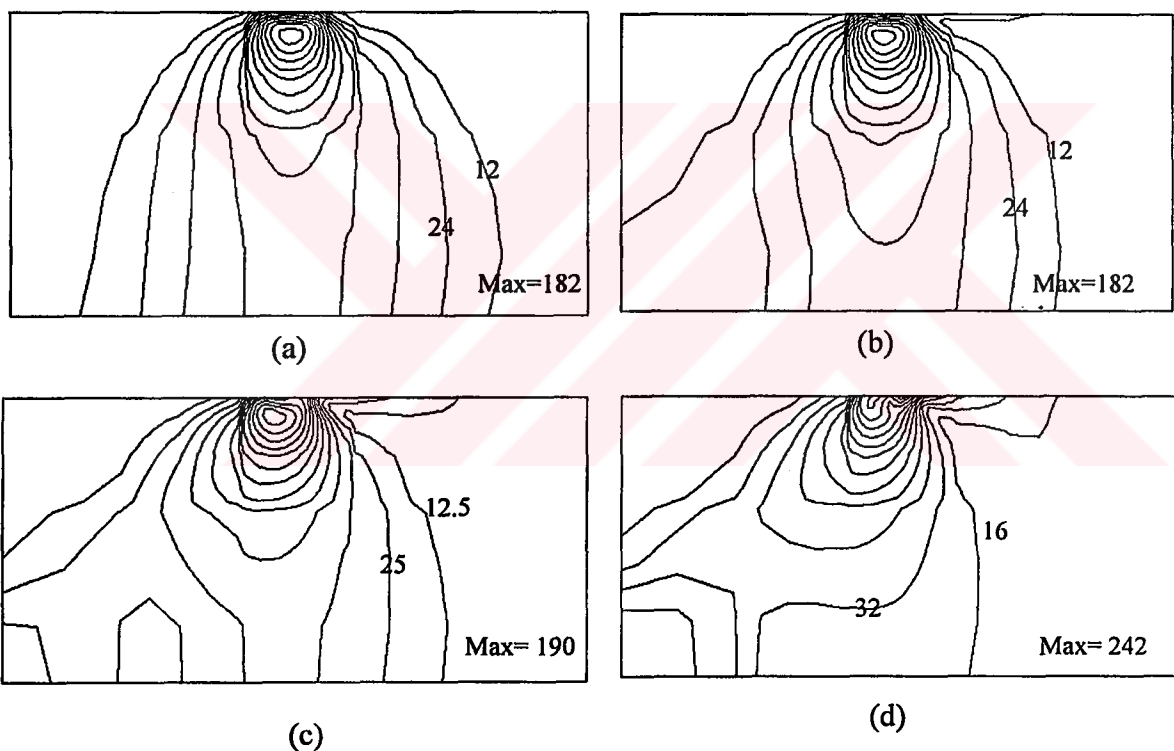


Şekil 4.14 Temas noktasının merkezinde Von-mises gerilmelerinin sürtünme değerine bağlı olarak değişimi

Şekil 4.14 da temas noktasının merkezinde Von-mises gerilme değerlerinin sürtünme değerine bağlı olarak değişim grafiği verilmiştir. Max gerilme değerleri 0.25 sürtünme değerine kadar temas noktasının merkezinde ($x/a = 0$) meydana gelirken 0.5 sürtünme değeri için max gerilme değeri kayan elemanın gerisinde ($x/a = -1$) meydana gelmektedir.

2 Tresca (Max kayma gerilmesi) kriterine göre gerilme analizi

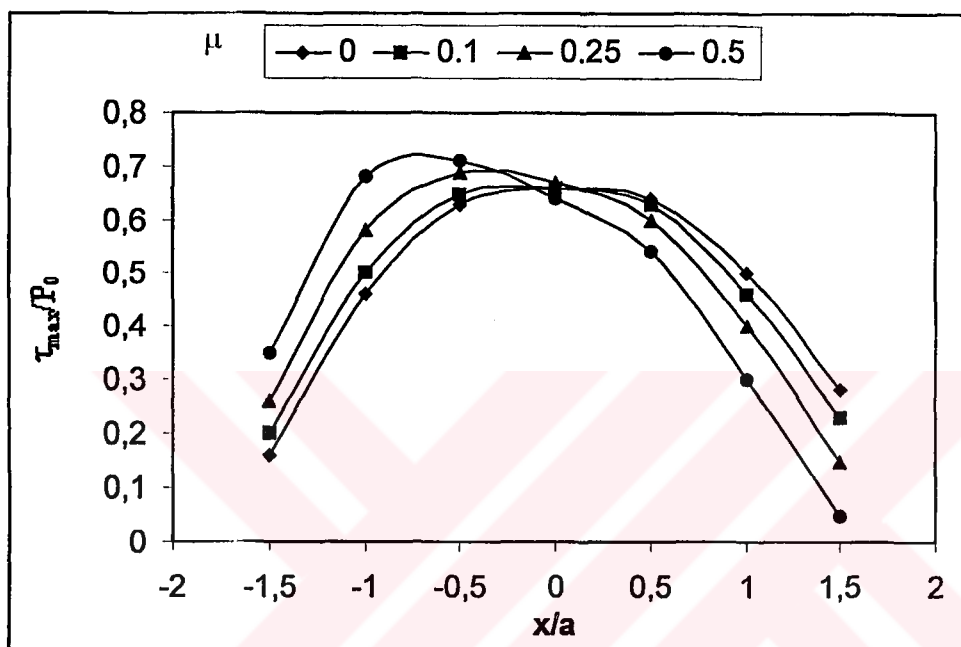
Kayma işlemi sırasında meydana gelen max kayma gerilmesi Tresca kayma gerilmesi kriterine göre araştırılmıştır. Yüzeyde ve yüzeyin altında meydana gelen gerilme eğrilerinin dağılımı farklı sürtünme değerleri için şekil 4.15 te verilmiştir.



Şekil 4.15 Farklı sürtünme katsayıları için Tresca max kayma gerilme eğrilerinin dağılımı (a) $\mu = 0$, (b) $\mu = 0.1$, (c) $\mu = 0.25$, (d) $\mu = 0.5$

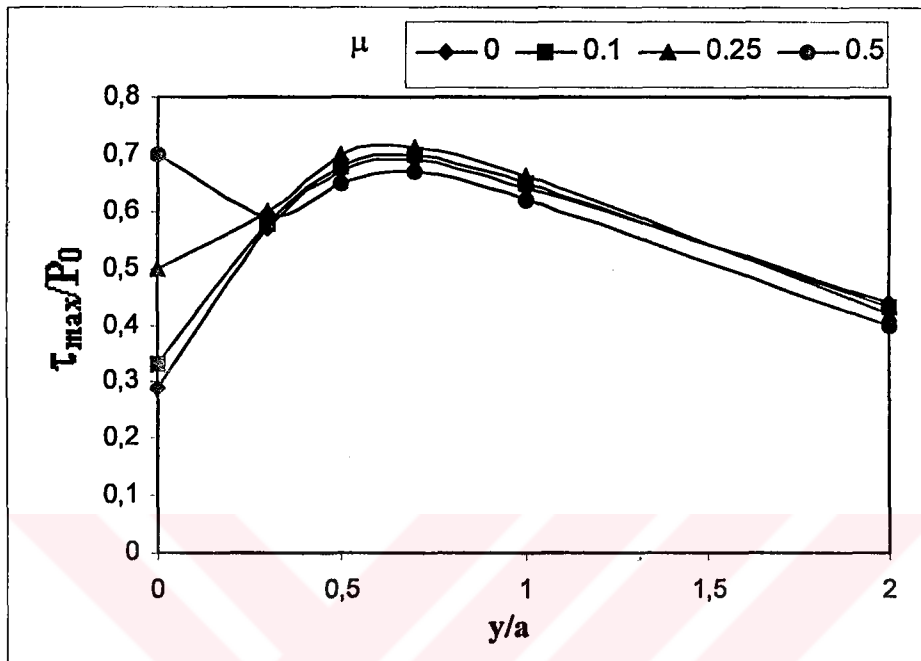
Yapılan gerilme analizinin sonunda max kayma gerilme değeri yüzeyden $0.78a$ kadar bir derinlikte meydana gelmektedir ve sürtünme katsayısının artmasıyla birlikte artmaktadır. Şekilde verilen gerilme dağılımında a , b , c ve d sürtünme durumları için her bir çizgi sırasıyla $12, 12, 12.5$ ve 16N/mm^2 ye karşılık gelmektedir.

Ayrıca şekil 4.16 da temas noktasının merkezindeki ($x/a = 0$) max kayma gerilmelerinin sürtünme değerlerine bağlı olarak değişimi verilmiştir.



Şekil 4.16 Temas noktasının merkezinde meydana gelen max kayma gerilmelerinin sürtünme katsayısına bağlı olarak değişimi

Hertz teorisine göre kayma sırasında meydana gelen max kayma gerilmesi sürtünmcsiz yüzeyler için: yüzeyden $0.78a$ derinliğinde meydana gelmektedir. Fakat bu hipotez sadece sürtünmesiz yüzeyler için geçerli olduğundan, sürtünmeli yüzeylerde bu değer farklılık gösterir. Şekil 4.17 max kayma gerilmelerinin $0.78a$ derinliğinde meydana geldiği doğrulanmaktadır. Fakat yüzeydeki sürtünme değeri artmasıyla max kayma gerilme değerleri yüzeye daha yakın mesafelerde meydana gelmektedir. Hatta 0.5 sürtünme değeri için yüzeyde meydana gelen gerilme değeri yüzeyde max değere ulaşırken $0.78a$ derinliğinde bu değer minimum olduğu görülmektedir.



Şekil 4.17 τ_{\max} kayma gerilmelerinin derinliğe bağlı olarak değişimi

C) J İNTEGRALİ SONUÇLARI

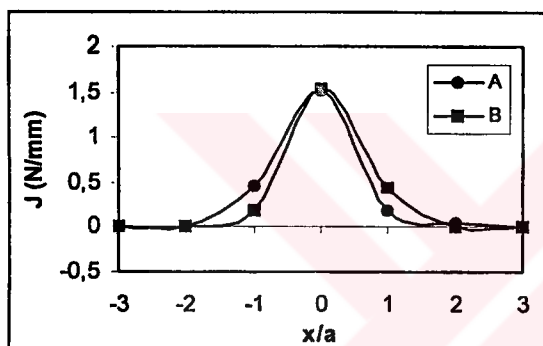
Bu çalışmada J integralinin hesabı üç farklı değişkene bağlı olarak yapılmıştır. Bu değişkenler yüzeye uygulanan kuvvetin çatlağa göre konumu, yüzeydeki sürtünme katsayısı ve farklı uzunluktaki çatlak boyalarıdır.

1. Yükün Konumuna ve Sürtünme Katsayısına Göre J İntegrali Sonuçları

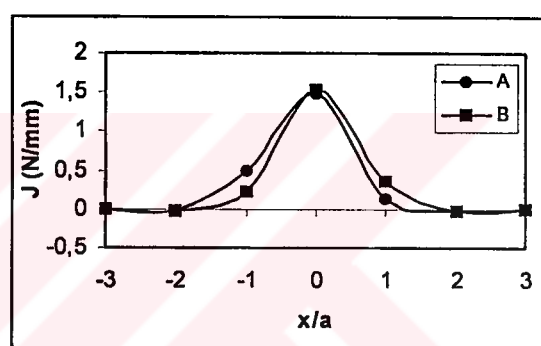
Uygulanan yükün konumu çatlağa göre belirlenmiş olup çatlakla yükün merkezi arasındaki mesafe ile temas uzunluğu oranlanarak boyutsuzlaştırılmıştır. Buna göre yedi farklı yük konumu için çözüm yapılmıştır. Şekil 4.18, 4.19, 4.20 ve 4.21 de farklı çatlak

boyları için J değerinin sürtünme katsayısına bağlı olarak yükün konumuna göre değişimi verilmiştir. Grafikte A, çatlağın sol ucunu gösterirken, B ise çatlağı sağ ucunu temsil etmektedir.

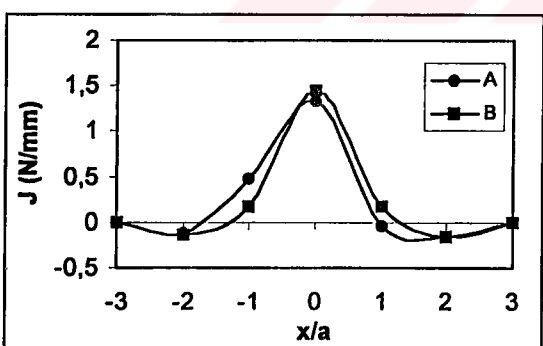
Yüzeyler sürtünmesiz kabul edildiğinde uygulanan yük çatlağa yaklaşığı zaman çatlağın her iki ucu için J değeri pozitif ve aynı değeri almaktadır. Fakat yüzey sürtünmeli olduğu zaman yüzeye etkiyen teğetsel yüklerin etkisiyle çatlağın B ucunun almış olduğu J değeri A ucuna nazaran daha büyütür. Bu da çatlağın B ucunun A ucuna nazaran daha fazla açılmaya zorlandığının göstergesidir.



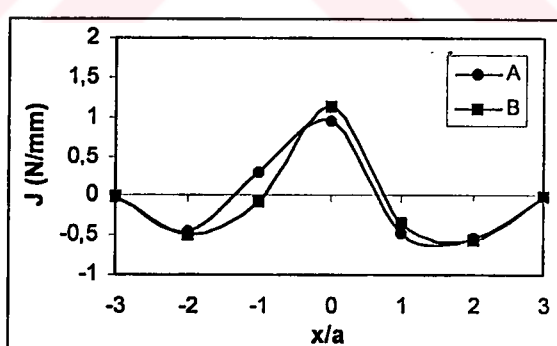
(a)



(b)

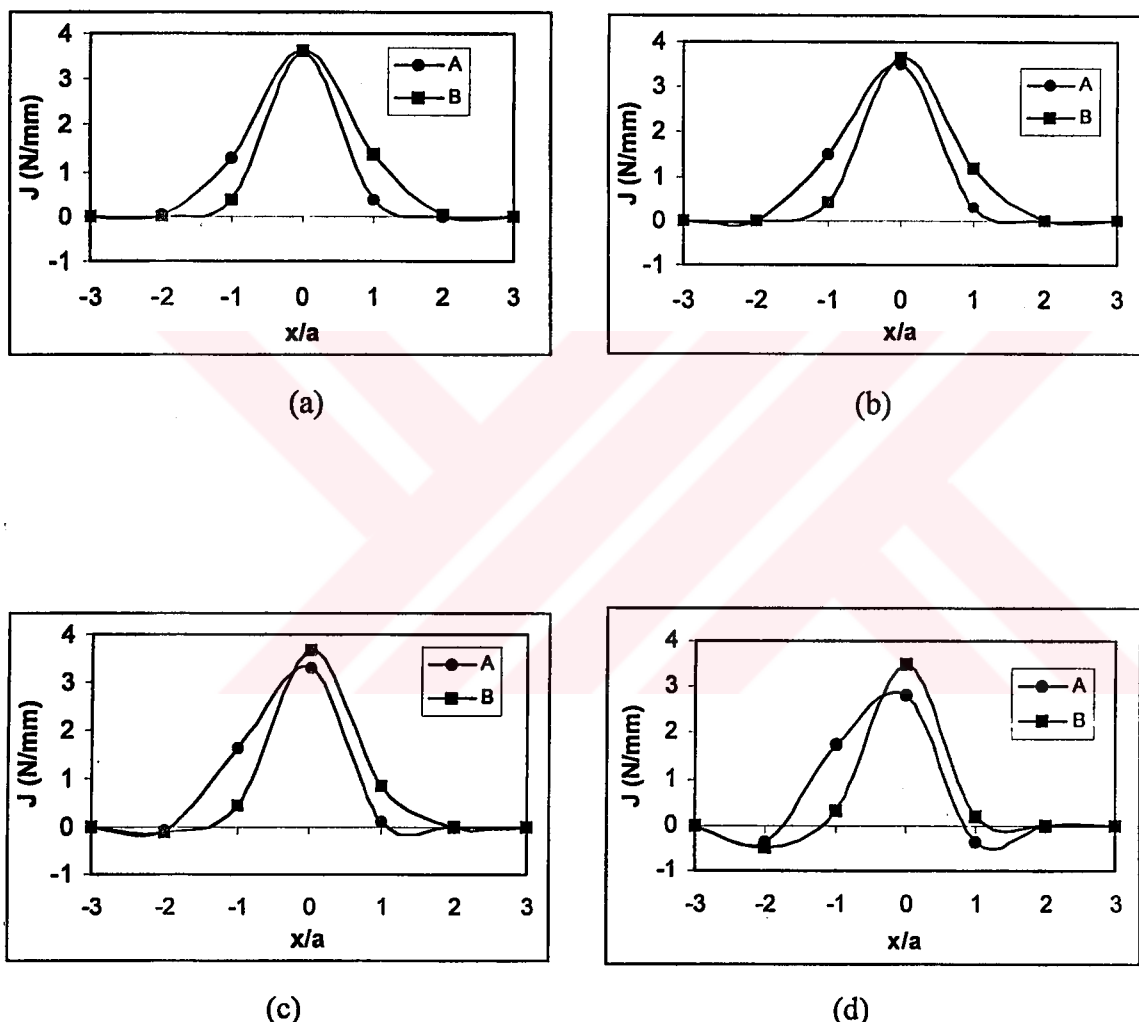


(a)

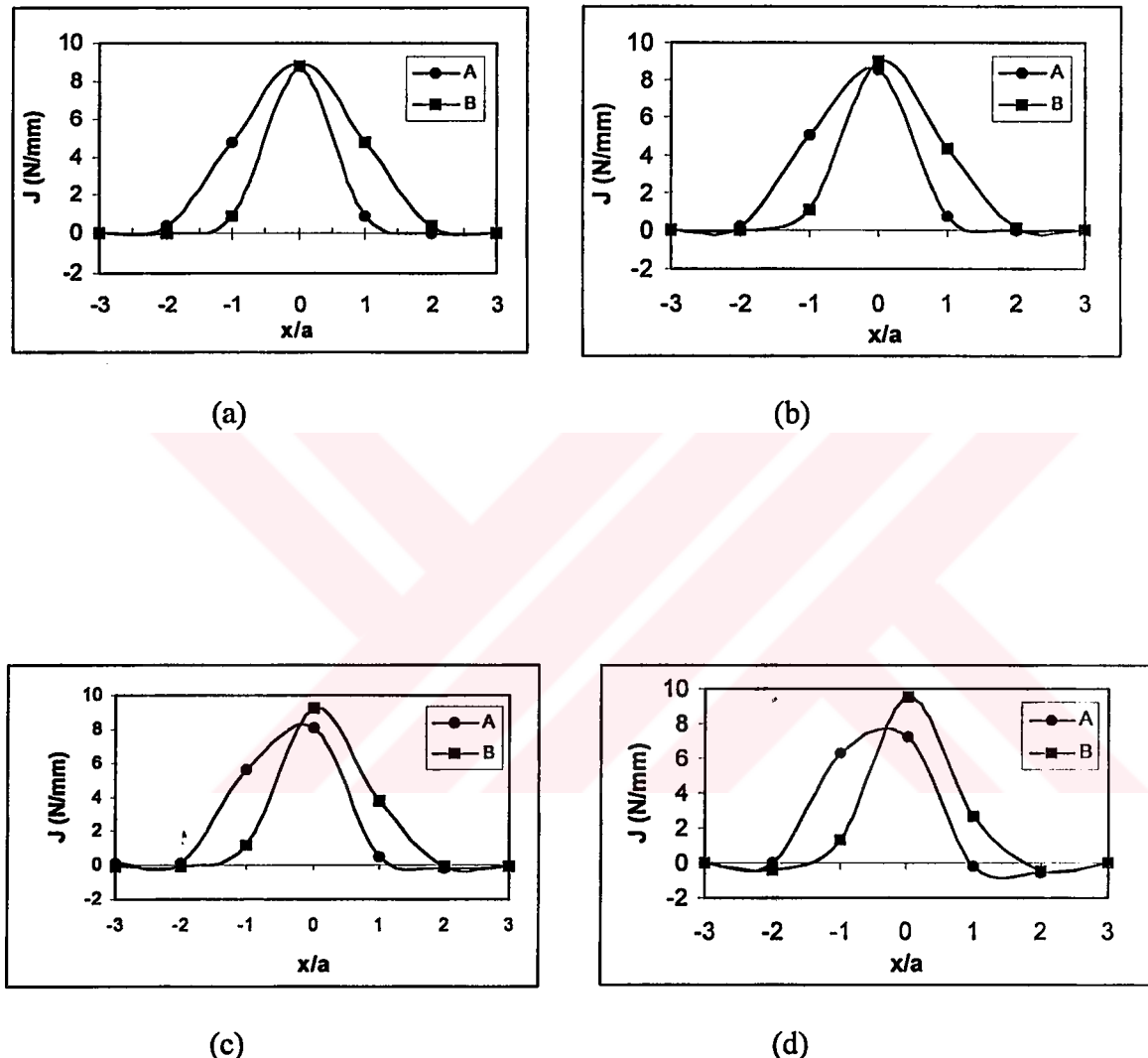


(b)

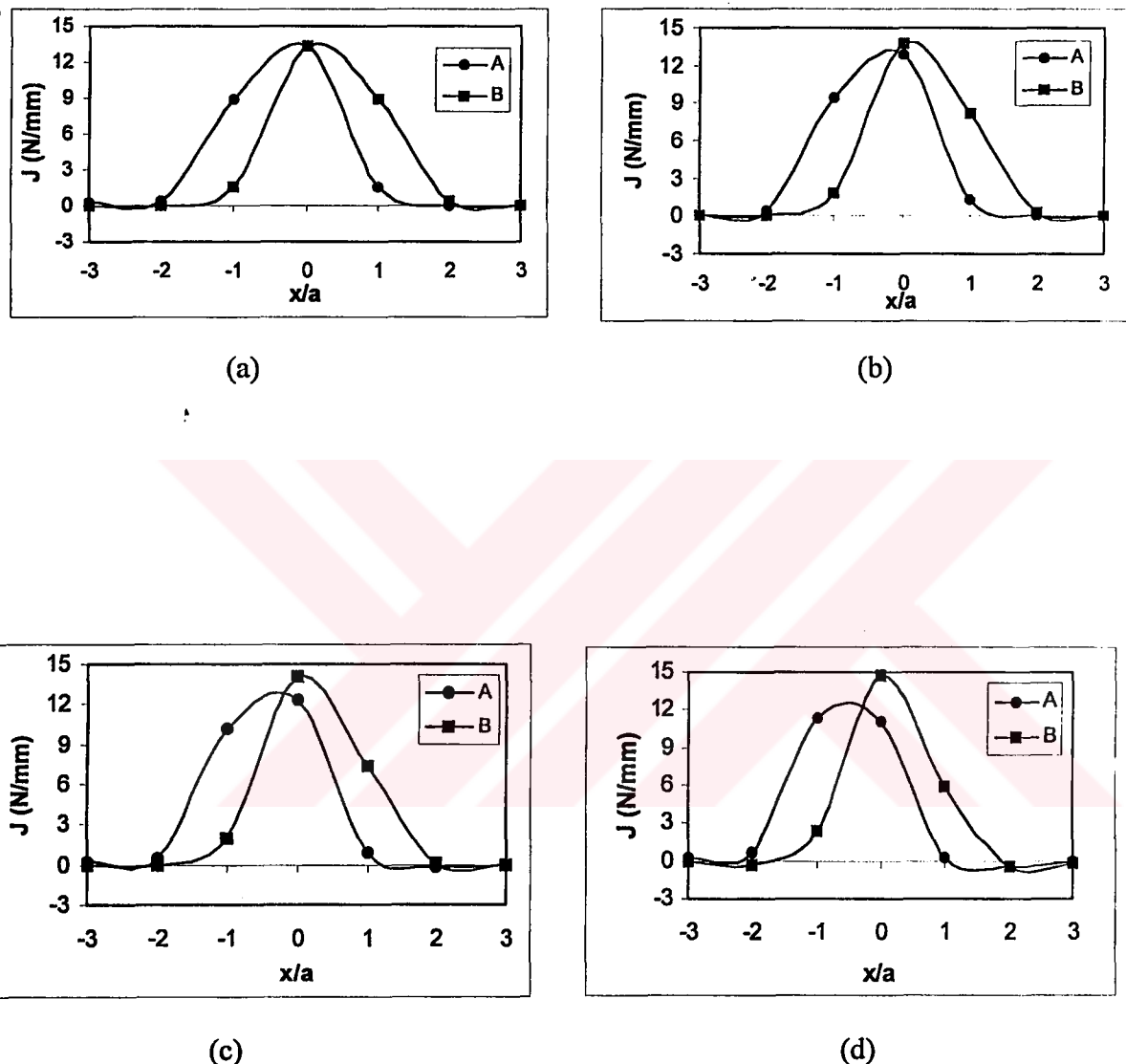
Şekil 4.18 Çatlak boyu $L/a = 0.5$ için J integralinin yükün konumuna bağlı olarak değişimi a) $\mu = 0$, b) $\mu = 0.1$, c) $\mu = 0.25$, d) $\mu = 0.5$



Şekil 4.19 Çatlak boyu $L/a = 1$ için J integralinin yükün konumuna bağlı olarak değişimi a) $\mu = 0$, b) $\mu = 0.1$, c) $\mu = 0.25$, d) $\mu = 0.5$

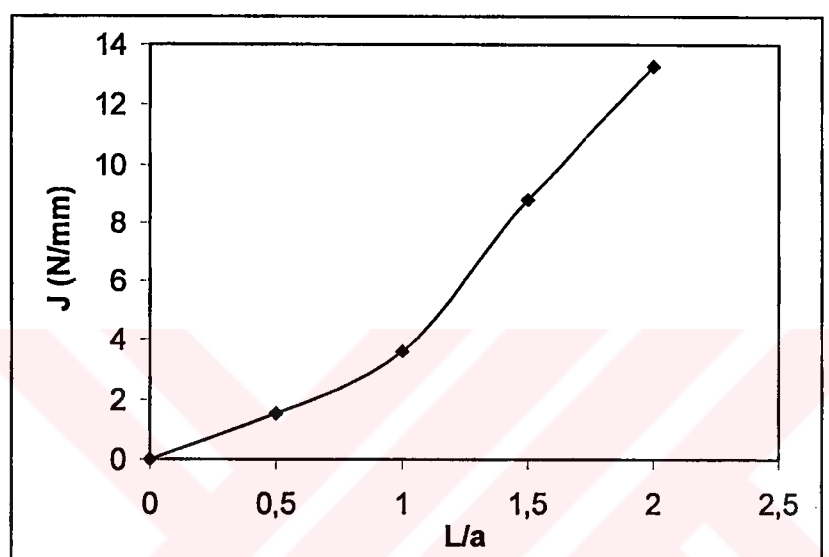


Şekil 4.20 Çatlak boyu $L/a = 1.5$ için J integralinin yükün konumuna bağlı olarak değişimi a) $\mu = 0$, b) $\mu = 0.1$, c) $\mu = 0.25$, d) $\mu = 0.5$



Şekil 4.21 Çatı boyu $L/a = 2$ için J integralinin yükün konumuna bağlı olarak değişimi a) $\mu = 0$, b) $\mu = 0.1$, c) $\mu = 0.25$, d) $\mu = 0.5$

Şekil 4.18, 4.19, 4.20 ve 4.21 de de görülebileceği gibi çatlak boyunun artmasıyla birlikte J integral değeri de pozitif değer alarak büyümektedir. Çatlak boyu $L/a = 0.5$ ve sürtünme değeri 0.5 için yük çatlaşının A ucuna yaklaşırken $x/a = -1$ konumundan itibaren J integral değeri positif değer almaktır ve çatlak büyümeye eğilimi göstermektedir. Fakat çatlak boyu $L/a = 2$ için aynı sürtünme değerinde aynı yük konumunda J integral değeri zaten pozitif değer almıştır ve oldukça da büyüktür. Şekil 4.22 te çatlak boyunun artmasıyla birlikte J integralindeki değişimi gösteren grafik verilmiştir.



Şekil 4.22 J integral değerinin çatlak boyuna bağlı olarak değişimi

D) K_I ve K_{II} HESABI SONUÇLARI

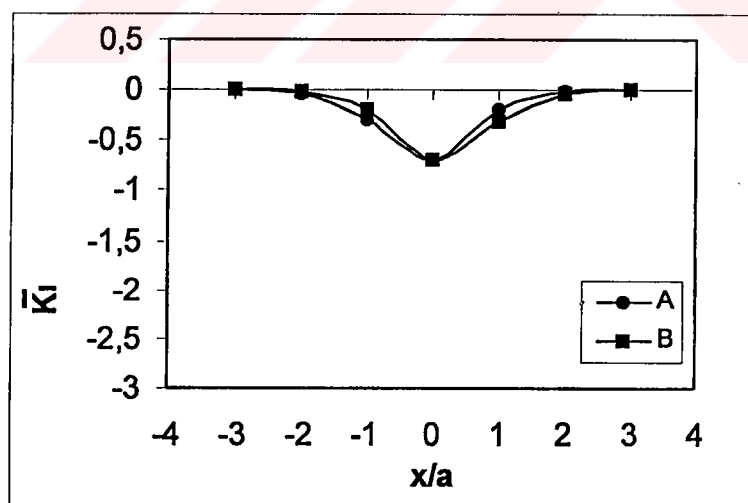
Açılma modu olan K_I ve kayma modu olan K_{II} gerilme yiğilme faktörleri, yüzeye uygulanan yükün konumuna, sürtünme katsayısına ve çatlak boyuna bağlı olarak denklem 3.69 ve 3.70 de verilen eşitliler yardımıyla elde edilmiştir.

Elde edilen K_I gerilme yiğilme faktörü çatlağın yüzeyden derinliğine ve yüzeye uygulanan max basınçla bağlı olarak,

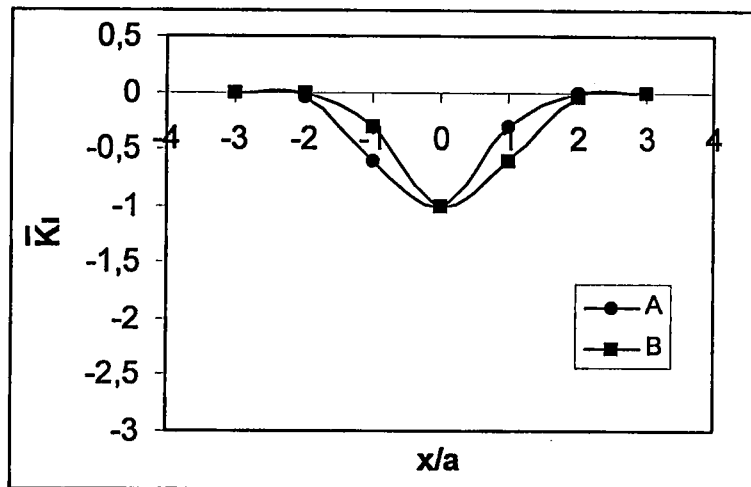
$$\bar{K}_I = \frac{K_I}{P_0 t^{1/2}} \quad 4.1$$

şeklinde boyutsuzlaştırılmıştır. P_0 yüzeye uygulanan max basınç değeri, t ise çatlak konumunun yüzeyden itibaren derinliği.

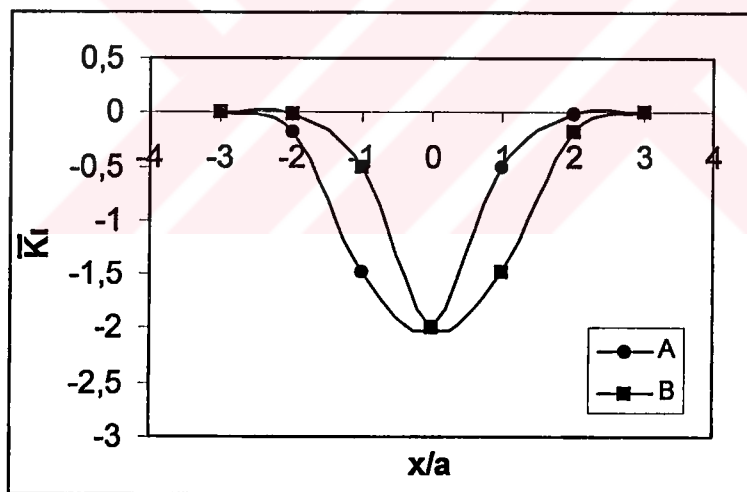
Şekil 4.23-4.26 de açılma modu olan K_I gerilme yiğilme faktörünün farklı yük konumlarında farklı çatlak boyları için değişimi verilmiştir.



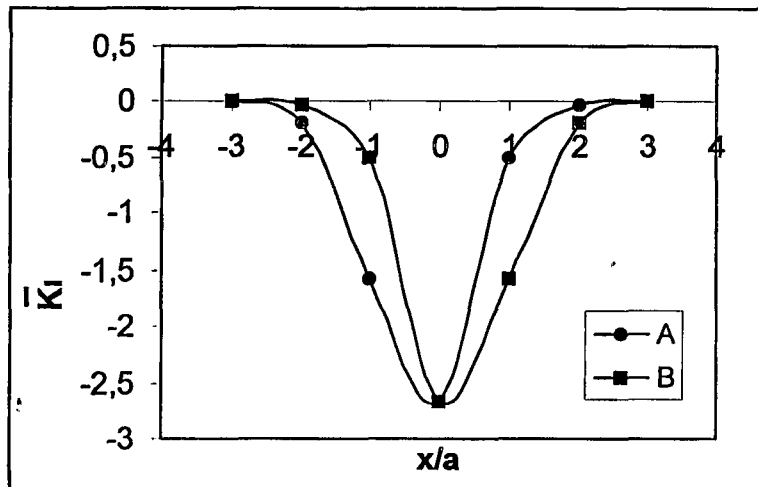
Şekil 4.23 Çatlak boyu $L/a = 0.5$ ve $\mu = 0$ için K_I değerinin yükün konumuna bağlı olarak değişimi



Şekil 4.24 Çatı boyu $L/a = 1$ ve $\mu = 0$ için K_I değerinin yükün konumuna bağlı olarak değişimi



Şekil 4.25 Çatı boyu $L/a = 1.5$ ve $\mu = 0$ için K_I değerinin yükün konumuna bağlı olarak değişimi



Şekil 4.26 Çatlak boyu $L/a = 2$ ve $\mu = 0$ için K_I değerinin yükün konumuna bağlı olarak değişimi

Çatlak eğer bu çalışmada olduğu gibi yüzey altında yer alıyorsa açılma modu olarak kabul edilen K_I gerilme yığılma faktörü yüzey altı çatlaklarının yayılması açısından çokta önemli değildir. Çünkü yüzeye uygulanan normal yük, çatlağın açılması yerine kapanması yönünde etki edecektir.

Bası bölgesinde bulunan bir çatlak açılma modu K_I 'in etkisiyle yayılmayacaktır. Bunun temel nedeni K_I değerinin negatif olmasıdır. Bu çalışmada K_I için yapılan analiz de bu ifadeyi doğrulamaktadır.

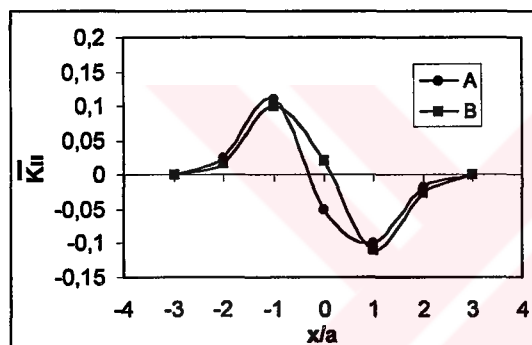
Yapılan analiz sonucunda çatlağın A ve B uçlarında meydana gelen $\max K_I$ gerilme yığılma faktörü $\mu = 0$ için aynı değeri almaktadır. Ayrıca sürtünme katsayısının değişmesi A ve B uçlarında meydana gelen K_I gerilme yığılma faktörü değerinde önemli oranda bir değişme meydana getirmemektedir.

Elde edilen verilerin ışığında yüzey altı çatlağının yayılmasında en önemli unsur olarak kayma modu olan K_{II} gerilme yığılma faktöründür. Özellikle yüzeye etkiyen teğetsel yüklerin büyük olması çatlak yayılımını hızlandırmaktadır.

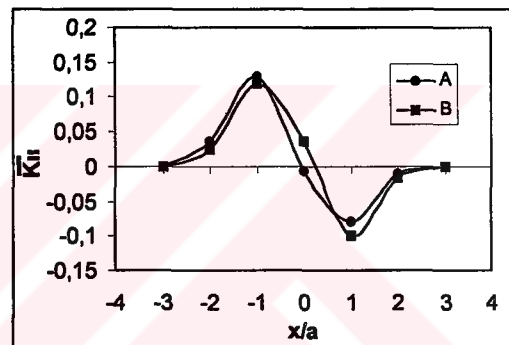
K_I gerilme yığılma faktöründe olduğu gibi K_{II} de yüzeye etkiyen maksimum basıncın ve çatlağın yüzeyden itibaren olan derinliğine bağlı olarak,

$$\bar{K}_{II} = \frac{K_{II}}{P_0 t^{1/2}} \quad (4.2)$$

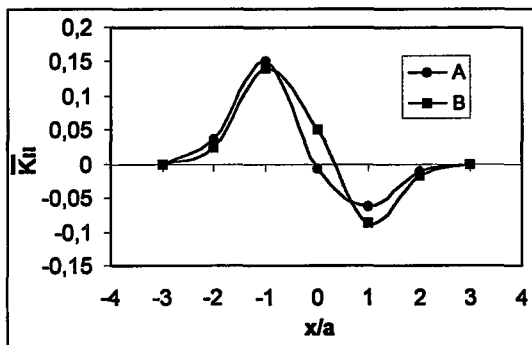
şeklinde boyutsuzlaştırılmıştır. Şekil 4.28 de K_{II} gerilme yığılma faktörünün $L/a = 0.5$ çatlık boyu için farklı yük konumlarına ve sürtünme katsayısına bağlı olarak değişimi verilmiştir.



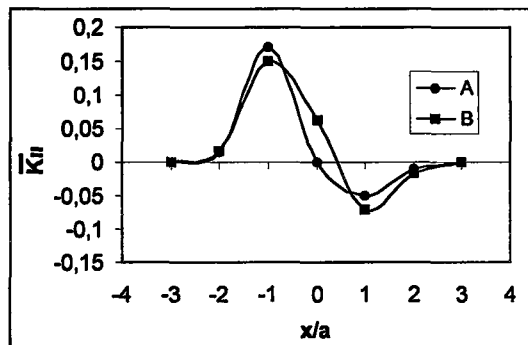
(a)



(b)



(c)



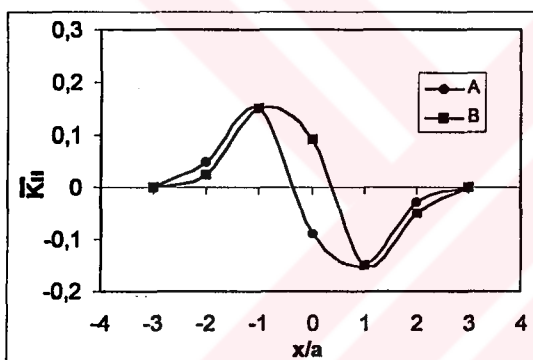
(d)

Şekil 4.28 $L/a = 0.5$ çatlık boyu için K_{II} gerilme yığılma faktörünün yükün konumuna ve sürtünmeye bağlı olarak değişimi a) $\mu = 0$, b) $\mu = 0.1$, c) $\mu = 0.25$, d) $\mu = 0.5$

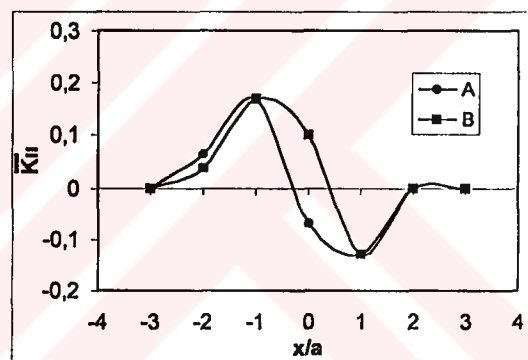
Şekil 4.27 de verilen grafiklere bağlı olarak yüzeydeki sürtünme katsayısının artmasıyla birlikte K_{II} gerilme yığılma faktörü de artmaktadır. Ayrıca yük çatlağa yaklaştığında kayan cismin önündeki bölge bası gerilmeleri ile karşı karşıya kaldığından K_{II} gerilme yığılma faktörü pozitif değer almaktadır. Bunun neticesi olarak çatlak yüzeye paralel olarak büyümeye eğilimi göstermektedir.

$x/a = +1$ bölgesinde K_{II} gerilme yığılma faktörü uygulanan normal ve teğetsel yüklerden dolayı negatif değer almaktadır. Çatlak, kayan cismin gerisinde kaldığı için teğetsel ve normal yüklerden dolayı çatlak çeki gerilmelerine maruz kalmaktadır. Böylelikle çatlak yüzeye doğru büyümeye eğilimi göstermektedir.

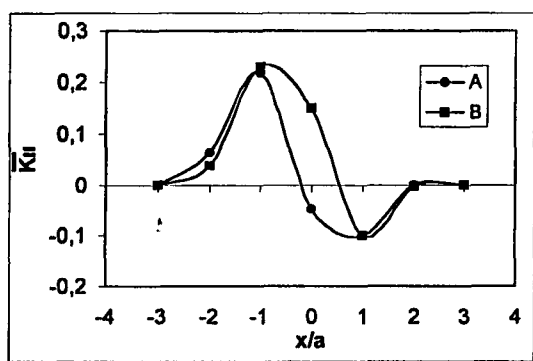
Şekil 4.28-4.30 de K_{II} gerilme yığılma faktörünün $L/a = 1, 1.5, 2$ çatlak boyları için farklı yük konumlarına ve sürtünme değerine bağlı olarak değişimi verilmiştir.



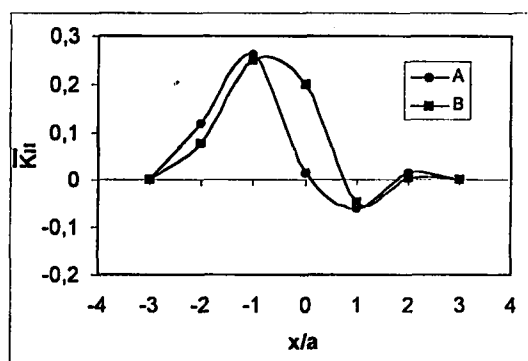
(a)



(b)

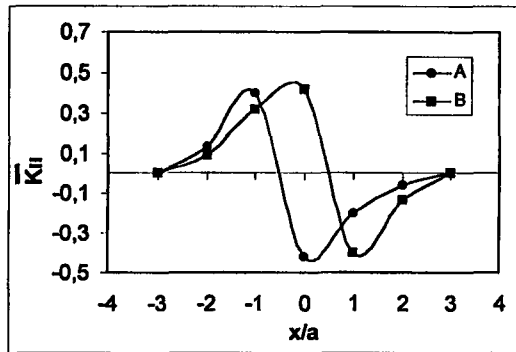


(a)

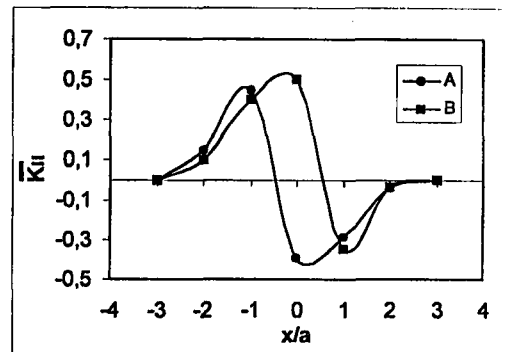


(b)

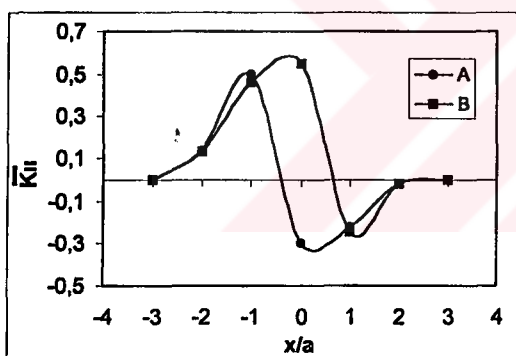
Şekil 4.28 $L/a = 1$ çatlak boyu için K_{II} gerilme yığılma faktörünün yükün konumuna ve sürtünmeye bağlı olarak değişimi a) $\mu = 0$, b) $\mu = 0.1$, c) $\mu = 0.25$, d) $\mu = 0.5$



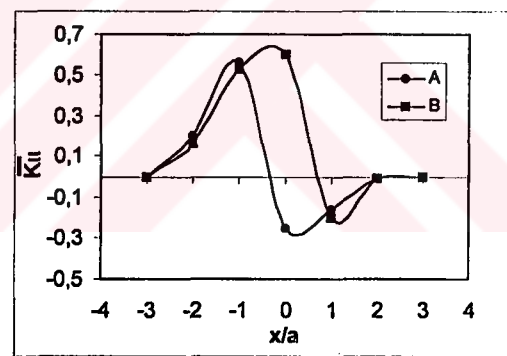
(a)



(b)

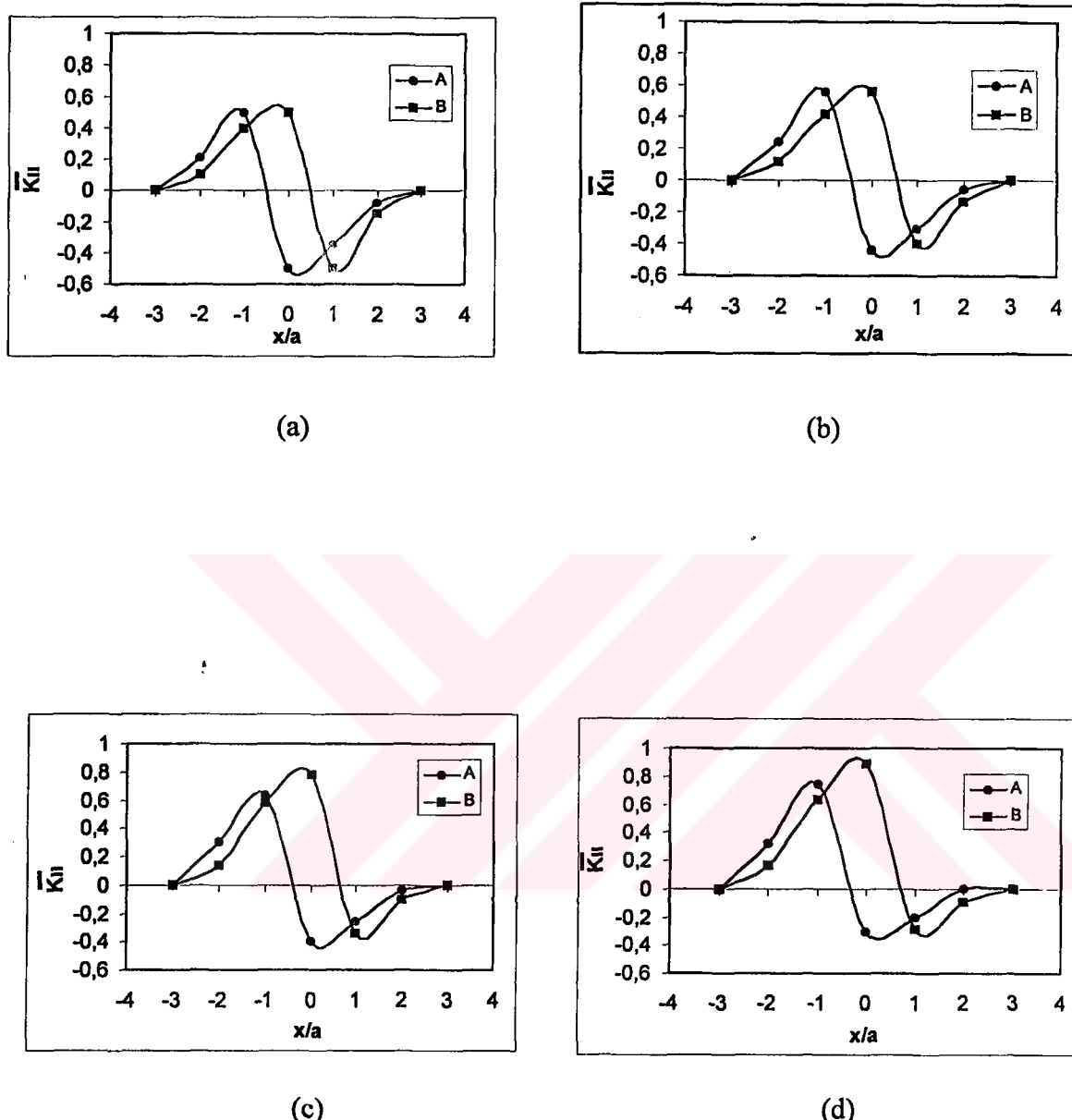


(c)



(d)

Şekil 4.29 $L/a = 1.5$ çatı boyu için K_{II} gerilme yiğilma faktörünün yükün konumuna ve sürtünmeye bağlı olarak değişimi a) $\mu = 0$, b) $\mu = 0.1$, c) $\mu = 0.25$, d) $\mu = 0.5$



Şekil 4.30 $L/a = 2$ çatı boyu için K_{II} gerilme yığılma faktörünün yükün konumuna ve sürtünmeye bağlı olarak değişimi a) $\mu = 0$, b) $\mu = 0.1$, c) $\mu = 0.25$, d) $\mu = 0.5$

SONUÇ ve DEĞERLENDİRME

Bu çalışmada tabakalanma aşınmasının temelini teşkil eden temas gerilmeleri, yüzey altı çatlak oluşumu ve çatlak yayılımı konuları ele alınmıştır. Yüzeydeki temas dolayısıyla meydana gelen normal ve teğetsel yüklerin bir sonucu olarak, yüzey altındaki çatlağın yayılmasını analiz için J integrali, açılma modu olan K_I ve kayma modu olan K_{II} gerilme yiğilma faktörleri sonlu elemanlar yöntemi ile hesaplanmıştır.

Yapılan temas gerilmeleri analizinde, σ_x ve σ_y gerilmeleri temas yüzeyinde max değeri alırken, τ_{max} kayma gerilmeleri yüzeyden 0.78a derinliğinde meydana gelmektedir. Bu derinlik sürtünmesiz yüzeyler için geçerli olup, sürtünmeli yüzeylerde bu değer azalmakta ve max kayma gerilme değerleri yüzeye daha yakın yerlerde meydana gelmektedir. Sürtünmesiz yüzeylerde max σ_x gerilmeleri temas noktası merkezinde ($x/a = 0$) meydana gelmektedir. Yüzeydeki sürtünme katsayısı artırıldığında max σ_x gerilmeleri temas noktası merkezinin sağına kaymakta yani bir anlamda plaka üzerindek kayan cismin önünde kalmaktadır. σ_y gerilmeleri yüzeydeki sürtünme katsayısının değişmesiyle σ_x kadar büyük ölçüde bir değişim göstermemektedir.

Von-mises akma kriterine göre yapılan gerilme analizinde; sürtünme değeri büyündükçe gerilme eğrileri kayma yönünün tersine yönlenmektedir. Oluşan gerilme değerleri özellikle 0.5 sürtünme değeri için oldukça büyümekte ve uygulanan max basınç değerinin 1.2 katına kadar çıkmaktadır. Max gerilme değerleri 0.25 sürtünme değerine kadar temas noktasının merkezinde ($x/a = 0$) meydana gelirken 0.5 sürtünme değeri için max gerilme değeri kayan elemanın gerisinde ($x/a = -1$) meydana gelmektedir.

J integrali hesabında farklı sürtünme değerleri, farklı yük konumları ve farklı çatlak boyları için çözüm yapılmıştır. Elde edilen sonuçlara göre yüzeyler sürtünmesiz kabul edildiğinde uygulanan yük çatlağa yaklaştığı zaman çatlağın her iki ucu için J değeri pozitif ve aynı değeri almaktadır. Fakat yüzey sürtünmeli olduğu zaman yüzeye etkiyen teğetsel yüklerin etkisiyle çatlağın B ucunun almış olduğu J değeri A ucuna nazaran

daha büyüktür. Bu da çatlağın B ucunun A ucuna nazaran daha fazla açılmasına zorlandığını göstermektedir.

Yine J integrali için elde edilen verilerden; J integrali sürtünme değerinin değişmesiyle önemli oranda bir değişim göstermemektedir. Buna karşılık olarak çatlak boyunun artışıyla birlikte J integralinin almış olduğu değerler de artmaktadır.

K_I ve K_{II} gerilme yığılma faktörlerinin hesabı teğetsel ve normal yükün etkisiyle çatlak yüzeyinde meydana gelen deplasman değerlerinden faydalananarak gerçekleştirılmıştır. Açılma modu olan K_I gerilme yığılma faktörü, kayma modu olan K_{II} gerilme yığılma faktörüne nazaran oldukça büyük değerler almaktadır. Açılma modu olan K_I gerilme yığılma faktörü çatlağın yayılımında oldukça az bir öneme sahip olduğu ortaya konulmuştur. Çünkü yüzey altı çatlak problemlerinde normal yüklerin etkisiyle K_I negatif değer almaktadır. Fakat bu durum yanal çatlaklı problemler için geçerlilik arzetmemektedir. Yüzeye uygulanan yük çatlağa yaklaştığında meydana gelen bası gerilmeleri sebebiyle çatlağın A ve B ucu pozitif değer almaktadır. Yük $x/a = +1$ için yapılan analizde K_{II} değeri negatif değer almaktır ve yüzeye doğru bir büyümeye eğilimi göstermektedir.

K_{II} gerilme yığılma faktörü çatlayın hangi yöne doğru yayılacağını tespit etmeye kullanılır. K_{II} gerilme yığılma faktörünün sıfır eşit olması durumunda, çatlak kendi ekseni doğrultusunda yayılma eğilimi göstermektedir. Sıfırdan büyük olması durumunda ($K_{II} > 0$) çatlak, yüzeyden uzaklaşarak derinlere doğru yayılmaktadır.

Sonuç olarak yapılan analizler göstermiştir ki; yüzey altında bası bölgesinde bulunan bir çatlak kayma modu olan K_{II} gerilme yığılma faktörünün etkisiyle yayılmaktadır. Bu yayılma işlemi genellikle yüzeye paralel olarak gerçekleşmektedir. Çeki bölgesinde bulunan bir çatlak ise açılma modu olan K_I gerilme yığılma faktörünün etkisiyle yayılma eğilimi göstermektedir.

K A Y N A K L A R

AHN, H. S., ROYLANCE, B. J., "Stress Behaviour of Surface-Coated Materials in Concentrated Sliding Contact", *Surface and Coating Technology*, 41, (1990) s. 1-15

AKSOY, Tevfik., *Kırılma Mekanığı*, Dokuz Eylül Üniversitesi, Müh. Mim. Fakültesi Makine Mühendisliği, s. 48 , İzmir(1984)

BAILEY, D. M., SAYLES, R. S., "Effect of Roughness and Sliding Friction on Contact Stresses", *Journal of Tribology*, 113, 729-738 (October 1991)

CHAU-CHO Y., KEER, L. M. STEELE, R. K., "Three-Dimensional Residual Stress Effects on the Fatigue Crack Initiation in Rail", *Journal of Tribology*, 119, 660-666 (1997)

CHENG, W., CHENG, H.S., MURA, T., KEER, L. M., "Micromechanics Modelling of Crack Initiation Under Contact Fatigue", *ASME Paper*, 93-Trib, 1-7(1993)

DALLY, J. M., CHEN, Y. M., JAHANMIR, S., "Analysis of Subsurface Crack Propagation and Implications for Wear of Elastically Deforming Materials", *Wear* 141, 95-114(1990)

DJABELLA, H., ARNELL, R. D., "Finite Element Analysis of Contact Stress in Elastic Double Layer System Under Normal Load", *Thin Solid Films*, 223(1) 98-108(1993)

DUBOURG, M. C., GODET, M., VILLECHAISE, B., "Analysis of Multiple Fatigue Cracks-PartII:Results", *Journal of Tribology*, 114, 462-468 (July 1992)

ELSHARKAWY, A. A., HAMROCK B. J., "Subsurface Stresses in Micro-EHL Line Contact", *Journal of Tribology*, 113, 645-655 (July 1989)

ERDOĞAN, F., SIH, G. C., "On the Crack Extension in Plates Under Plane Loading and Transverse Shear", *Journal Basic Eng.*, 85D(1963) 519-525

FLEMING, J. R., SUH, N. P., "Mechanics of Crack Propagation in Delamination Wear", *Wear*, 44(1) 39-56(1977)

HAM, G., RUBIN, C. A., HAHN, G. T., "Elasto-Plastic Finite Element Analysis of Repeated, Two Dimensional Rollin-Sliding Contacts", *Journal of Tribology*, 110, 44-49 (January 1988)

HEARN, E. J., *Mechanics of Materials*, Pergamon Press, s. 873, England(1985)

HUTCHINGS, I. M., *Triboloji*, Great Britain (1992), ss. 340

JAHANMIR, N., SUH, N. P., "Mechanics of subsurface void nucleation in delamination wear", *Wear*, 44(1) 17-38(1977)

JOHNSON, K. L., *Contact Mechanics*, Cambridge University Press, ss. 420 London, 1985

LEE, K. S., JINN, J. T., EARMME, Y. Y., "Finite Element Analysis of a Subsurface Crack on the Interface of a Coated Material Under a Moving Compressive Load", *Wear*, 155(1) 117-136(1992)

MARSHEK, K. M., CHEN, H. H., "Discretization Pressure-Wear Theory for Bodies in Sliding Contact", *Journal of Tribology*, 111, 95-100 (1989)

NATH, B., *Mühendisler için Sonlu Elemanlar Metodunun Temelleri*, İngilizceden çeviren Durmuş Günay, Sakarya(1993)

SALEHIZADEH, H., SAKA, N., "Crack Propagation in Rolling Line Contact", *Journal of Tribology*, 114, 690-697 (October 1992)

SUH, N. P., "An Overview of The Delamination Theory of Wear", *Wear*, 44(1) 1-16(1973)

SUH, N. P., "The Delamination Theory of Wear", *Wear*, 25(2) 111-124(1973)

TAŞGETİREN, Süleyman., "Stresses Around a Subsurface Crack Like Hole Under Moving Normal Load", *A.K.Ü Fen Bilimleri Dergisi*, 1(2), 119-130(1999)

TAŞGETİREN, Süleyman., "Thermomechanical Analysis of Bimaterials With an Interfacial Crack" Ph. D. Thesis, Dokuz Eylül Üniversitesi, İzmir(1997)

TOPÇU, Muzaffer., TAŞGETİREN, Süleyman., "Mühendisler için Sonlu Elemanlar Metodu", PAÜ Mühendislik Fakültesi, Denizli(1998), ss. 230